

การถ่ายทอดค่าความถูกต้องแห่งเทียบมาตรฐาน โดยใช้  
เครื่องดงบถัดอินเตอร์เฟอริมิเตอร์

TRACEABILITY OF STANDARD GAUGE BLOCK USING  
GAUGE BLOCK INTERFEROMETER

ยาอวลูญ ลูมรูน  
YAOWALUX LOUMRUEN

วิทยานิพนธ์ฉบับนี้เป็นส่วนหนึ่งของการศึกษาตามหลักสูตรปริญญาวิทยาศาสตรมหาบัณฑิต

สาขาวิชา ฟิสิกส์ประยุกต์

บัณฑิตวิทยาลัย

สถาบันเทคโนโลยีพระจอมเกล้าเจ้าคุณทหารลาดกระบัง

พ.ศ. 2545

ISBN 974-648-647-8

การถ่ายถอดค่าความถูกต้องแห่งเทียบมาตรฐาน โดยใช้  
เครื่องเกจบล็อกอินเตอร์เฟอโรมิเตอร์

TRACEABILITY OF STANDARD GAUGE BLOCK USING  
GAUGE BLOCK INTERFEROMETER

เยาวลักษณ์ ล้อมริน

YAOWALUX LOUMRUEN

วิทยานิพนธ์นี้เป็นส่วนหนึ่งของการศึกษาตามหลักสูตรปริญญาวิทยาศาสตรมหาบัณฑิต

สาขาวิชาฟิสิกส์ประยุกต์

บัณฑิตวิทยาลัย

สถาบันเทคโนโลยีพระจอมเกล้าเจ้าคุณทหารลาดกระบัง

พ.ศ. 2545

ISBN 974-648-847-3

เลขหมู่.....  
เลขทะเบียน..... 49646  
วัน, เดือน, ปี 25 ก.พ. 2547

**TRACEABILITY OF STANDARD GAUGE BLOCK USING  
GAUGE BLOCK INTERFEROMETER**

**YAOWALUX LOUMRUEN**

**A THESIS SUBMITTED IN PARTIAL FULFILLMENT  
OF THE REQUIREMENTS FOR THE DEGREE OF  
MASTER OF SCIENCE IN APPLIED PHYSICS  
SCHOOL OF GRADUATE STUDIES  
KING MONGKUT'S INSTITUTE OF TECHNOLOGY LADKRABANG**

**2002**

**ISBN 974-648-847-3**

**COPYRIGHT 2002**

**SCHOOL OF GRADUATE STUDIES**

**KING MONGKUT'S INSTITUTE OF TECHNOLOGY LADKRABANG**

หัวข้อวิทยานิพนธ์	การถ่ายทอดค่าความถูกต้องแห่งเทียบมาตรฐาน โดยใช้เครื่อง
	เกจบล็อกอินเตอร์เฟอริมิเตอร์
นักศึกษา	นางสาวเขาวลัทธิ ส้อมริน
รหัสประจำตัว	38064006
ปริญญา	วิทยาศาสตร์มหาบัณฑิต
สาขาวิชา	ฟิสิกส์ประยุกต์
พ.ศ.	2545
อาจารย์ผู้ควบคุมวิทยานิพนธ์	ผู้ช่วยศาสตราจารย์ ดร. วราวุฒิ เถาลัดดา
อาจารย์ผู้ควบคุมวิทยานิพนธ์ร่วม	นายสมโภชน์ บุญสนิท

### บทคัดย่อ

วิทยานิพนธ์นี้เป็นการศึกษาการถ่ายทอดความถูกต้องให้กับแห่งเทียบมาตรฐาน โดยใช้เทคนิคการแทรกสอดทางแสงของไมเคลสันที่มีความถูกต้องแม่นยำสูงด้วยเครื่องเกจบล็อกอินเตอร์เฟอริมิเตอร์ที่ใช้แหล่งกำเนิดความยาวคลื่นแสงเลเซอร์ฮีเลียม-นีออนเท่ากับ 632.990844 nm และประเมินค่าความยาวของแห่งเทียบมาตรฐานจากสัดส่วนของฟริงจ์ที่เกิดจากการแทรกสอดบนผิวหน้าของแห่งเทียบมาตรฐานเปรียบเทียบกับฟริงจ์ที่ปรากฏบนเบสเพลตชนิดโลหะผิวเรียบที่ประกบกับแห่งเทียบมาตรฐาน ผลการศึกษานี้แสดงถึงขีดความสามารถของการถ่ายทอดค่าความถูกต้องของแห่งเทียบมาตรฐานระดับ K ขนาด 5, 15, 25, 50 และ 75 mm ด้วยค่าความไม่แน่นอนเท่ากับ  $\pm 0.014 \mu\text{m}$  และ  $\pm 0.028 \mu\text{m}$  ที่ระดับความเชื่อมั่นทั้ง 68% และ 95% โดยลำดับ

<b>Thesis Title</b>	Traceability of Standard Gauge Block using Gauge Block Interferometer
<b>Student</b>	Miss Yaowalux Loumruen
<b>Student ID.</b>	386064006
<b>Degree</b>	Master of Science
<b>Programme</b>	Applied Physics
<b>Year</b>	2002
<b>Thesis Advisor</b>	Assistance Professor Dr.Warawoot Thowladda
<b>Thesis Co-Advisor</b>	Mr.Sompote Boonsanit

### **ABSTRACT**

A Michelson interferometry method for determining the length of Gauge Blocks was studied. This method is based on measuring a fringe fraction of the interference fringes on a gauge block measuring face and its wringing platen. The reference standard of measurement is the wavelength of a He-Ne Laser 632.990844 nm which is traceable to the international standard of metre. The study demonstrates that the measurement capability for gauge block calibration, grade K sizes 5, 15, 25, 50 and 75 mm, can be achieved with measurement uncertainty of  $\pm 0.014 \mu\text{m}$  and  $\pm 0.028 \mu\text{m}$  at confidence level at 68% and 95% respectively.

## กิตติกรรมประกาศ

วิทยานิพนธ์เล่มนี้สำเร็จลุล่วงได้อย่างดี ด้วยคำแนะนำและคำปรึกษาทางวิชาการรวมทั้งได้เสนอแนะแนวทางในการทดลองและการจัดทำวิทยานิพนธ์จาก ผศ.ดร.วราวุฒิ เถาถัดดา ซึ่งเป็นอาจารย์ผู้ควบคุมวิทยานิพนธ์ และคุณสมโภชน์ บุญสนิท ซึ่งเป็นอาจารย์ผู้ควบคุมวิทยานิพนธ์ร่วม ผู้วิจัยรู้สึกซาบซึ้งในความอนุเคราะห์จากท่านและขอกราบขอบพระคุณเป็นอย่างสูง

ขอขอบพระคุณอาจารย์ภาควิชาฟิสิกส์ประยุกต์ทุกท่านที่ประสิทธิ์ประสาทวิชาความรู้สาขาต่างๆ

ขอระลึกถึงและขอบพระคุณ คุณยาย บิดา มารดา น้าๆ ที่ให้การอุปการะและพี่น้องทุกคน เป็นกำลังให้กับข้าพเจ้าเสมอมา

ขอขอบคุณพี่ๆ เพื่อนๆ และน้องๆ กลุ่มสอบเทียบเครื่องมือวัด วิเคราะห์ ทดสอบ กรมวิทยาศาสตร์บริการที่ทำให้กำลังใจพร้อมทั้งให้ความช่วยเหลือทั้งด้านวิชาการและคำแนะนำปรึกษา

และขอขอบคุณพี่ๆ เพื่อนๆ และน้องๆ ที่เรียนด้วยกันที่สถาบันเทคโนโลยีพระจอมเกล้าเจ้าคุณทหารลาดกระบังเป็นกำลังใจให้กับข้าพเจ้าตลอดเวลา

คุณค่าและประโยชน์อันพึงมีจากวิทยานิพนธ์ ผู้วิจัยขอบอบแต่ประเทศชาติ

เยาวลักษณ์ ล้อมริน

# สารบัญ

	หน้า
บทคัดย่อภาษาไทย.....	I
บทคัดย่อภาษาอังกฤษ.....	II
กิตติกรรมประกาศ.....	III
สารบัญ.....	IV
สารบัญตาราง.....	VII
สารบัญรูป.....	VIII
บทที่ 1 บทนำ.....	1
1.1 ความสำคัญและที่มาของปัญหาที่ทำการวิจัย.....	1
1.2 ความมุ่งหมายและวัตถุประสงค์ของการวิจัย.....	3
1.3 ทฤษฎีและแนวความคิดที่ใช้ในการวิจัย.....	4
1.4 ขอบเขตของการทำวิจัย.....	5
1.5 วิธีการดำเนินการทำวิจัย.....	5
1.6 ระยะเวลาดำเนินการทำวิจัย.....	6
1.7 ประโยชน์ที่คาดว่าจะได้รับ.....	6
บทที่ 2 หลักการและทฤษฎีที่เกี่ยวข้อง.....	7
2.1 นิยามความยาวหนึ่งเมตร.....	7
2.2 สมบัติเฉพาะของแสงเลเซอร์.....	8
2.3 เลเซอร์อินเตอร์เฟอเมตรี.....	10
2.3.1 หลักการแทรกสอดทางแสงของไมเคลสัน.....	10
2.4 แท่งเทียบมาตรฐาน.....	12
2.5 การถ่ายทอดค่าความถูกต้องแท่งเทียบมาตรฐาน.....	13
2.5.1 การถ่ายทอดค่าความถูกต้องด้วยเครื่องเก็บลิ้น.....	
อินเตอร์เฟอเมตรีหลายความยาวคลื่น.....	13
2.5.2 การถ่ายทอดค่าความถูกต้องด้วยเครื่องเก็บลิ้น.....	
อินเตอร์เฟอเมตรีความยาวคลื่นเดียว.....	19
2.5.3 การวิเคราะห์เศษส่วนฟริงจ์.....	22
2.5.4 การสแกนฟริงจ์.....	24
2.5.5 ผลกระทบจากสภาวะแวดล้อม.....	28

## สารบัญ(ต่อ)

	หน้า
บทที่ 3 โครงสร้างเครื่องเกจบล็อกอินเตอร์พร้อมิเตอร์และอุปกรณ์.....	32
3.1 ระบบทางแสงของเครื่องเกจบล็อกอินเตอร์พร้อมิเตอร์.....	33
3.1.1 ชุดกำเนิดแสงเลเซอร์.....	35
3.1.2 ชุดมองภาพทางช่องมอง.....	35
3.1.3 แผงควบคุมแทนวางแท่งเทียบมาตรฐาน.....	36
3.2 ระบบควบคุมอิเล็กทรอนิกส์ของเครื่องวัดอินเตอร์พร้อมิเตอร์.....	37
3.2.1 ชุดคอมพิวเตอร์.....	38
3.2.2 ผู้ควบคุมอิเล็กทรอนิกส์.....	39
บทที่ 4 การทดลองและผลการทดลอง.....	42
4.1 การทดลอง.....	42
4.1.1 การจัดเตรียมแท่งเทียบมาตรฐาน.....	42
4.1.2 การทดลองวัดแท่งเทียบมาตรฐานที่สัมประสิทธิ์การขยายตัว.....	
$1.08 \times 10^{-5}/^{\circ}\text{C}$ .....	43
4.1.3 การทดลองวัดแท่งเทียบมาตรฐานที่สัมประสิทธิ์การขยายตัว.....	
$1.15 \times 10^{-5}/^{\circ}\text{C}$ .....	50
4.1.4 ผลการเปรียบเทียบค่าสัมประสิทธิ์การขยายตัวของแท่งเทียบมาตรฐาน.....	
ระหว่าง $1.08 \times 10^{-5}/^{\circ}\text{C}$ กับ $1.15 \times 10^{-5}/^{\circ}\text{C}$ .....	56
4.2 ประเมินค่าความไม่แน่นอนของการวัด.....	57
4.2.1 ค่าความไม่แน่นอนมาตรฐานของความยาวคลื่นแสง.....	
เลเซอร์ฮีเลียม-นีออน.....	59
4.2.2 ค่าความไม่แน่นอนมาตรฐานของการวิเคราะห์เศษส่วนฟริงจ์.....	59
4.2.3 ค่าดัชนีหักเหของอากาศ.....	59
4.2.4 ความไม่แน่นอนของอุณหภูมิแท่งเทียบมาตรฐานขณะทำการวัด.....	62
4.2.5 ความไม่แน่นอนของสัมประสิทธิ์การขยายตัวของแท่งเทียบมาตรฐาน.....	62
4.2.6 ความไม่แน่นอนของการแก้พินโฮล.....	62
4.2.7 ค่าความไม่แน่นอนเนื่องจากแนวลำแสง.....	63
4.2.8 ค่าแก้การเปลี่ยนเฟส.....	63
4.2.9 ค่าแก้การประกบแท่งเทียบมาตรฐาน.....	63

## สารบัญ(ต่อ)

	หน้า
บทที่ 5 สรุปผลการทดลองและข้อเสนอแนะ.....	65
5.1 สรุปผลการทดลอง.....	65
5.2 ข้อเสนอแนะ.....	67
เอกสารอ้างอิง.....	68
ภาคผนวก ก .....	69
ภาคผนวก ข .....	70
ภาคผนวก ค .....	82
ภาคผนวก ง .....	83
ประวัติผู้เขียน.....	85

# สารบัญตาราง

ตารางที่	หน้า
2.1 ชนิดของเลเซอร์.....	9
2.2 ผลการคำนวณค่าเฉลี่ยความผิดพลาดจากเครื่องพิตเตอร์ เอ็นพีแอล อินเตอร์ฟีรอมิเตอร์...	18
2.3 ช่วงเวลาที่วางแท่งเทียบมาตรฐานเพื่ออุณหภูมิคงที่.....	29
2.4 สัมประสิทธิ์การขยายตัวของวัสดุที่อุณหภูมิ 20 °C.....	30
4.1 ค่า pre-measurement แท่งเทียบมาตรฐาน.....	43
4.2 ผลการถ่ายทอดค่าความถูกต้องแท่งเทียบมาตรฐานขนาด 5 mm.....	44
4.3 ผลการถ่ายทอดค่าความถูกต้องแท่งเทียบมาตรฐานขนาด 15 mm.....	45
4.4 ผลการถ่ายทอดค่าความถูกต้องแท่งเทียบมาตรฐานขนาด 25 mm.....	46
4.5 ผลการถ่ายทอดค่าความถูกต้องแท่งเทียบมาตรฐานขนาด 50 mm.....	47
4.6 ผลการถ่ายทอดค่าความถูกต้องแท่งเทียบมาตรฐานขนาด 75 mm.....	48
4.7 ผลการคำนวณค่าเฉลี่ยค่าผิดพลาดที่จุดกึ่งกลางและค่าความเบี่ยงเบนมาตรฐาน..... ของแท่งเทียบมาตรฐาน.....	48
4.8 ผลการถ่ายทอดค่าความถูกต้องแท่งเทียบมาตรฐานขนาด 5 mm.....	50
4.9 ผลการถ่ายทอดค่าความถูกต้องแท่งเทียบมาตรฐานขนาด 15 mm.....	51
4.10 ผลการถ่ายทอดค่าความถูกต้องแท่งเทียบมาตรฐานขนาด 25 mm.....	52
4.11 ผลการถ่ายทอดค่าความถูกต้องแท่งเทียบมาตรฐานขนาด 50 mm.....	53
4.12 ผลการถ่ายทอดค่าความถูกต้องแท่งเทียบมาตรฐานขนาด 75 mm.....	54
4.13 ผลการคำนวณค่าเฉลี่ยค่าผิดพลาดที่จุดกึ่งกลางและค่าความเบี่ยงเบนมาตรฐาน..... ของแท่งเทียบมาตรฐาน.....	54
4.14 ผลต่างระหว่างค่าเฉลี่ยค่าผิดพลาดที่จุดกึ่งกลางเฉลี่ยที่สัมประสิทธิ์การขยายตัว..... $1.08 \times 10^{-5}/^{\circ}\text{C}$ กับ สัมประสิทธิ์การขยายตัว $1.15 \times 10^{-5}/^{\circ}\text{C}$ .....	56
4.15 ค่าความไม่แน่นอน.....	64
5.1 Error Normalization Ratio.....	66
5.2 เปรียบเทียบค่าความไม่แน่นอนขยาย ( $k = 2$ )..... ของแท่งเทียบมาตรฐานขนาด 15 mm ระหว่างนานาประเทศ.....	66
ข ผลการถ่ายทอดค่าความถูกต้องแท่งเทียบมาตรฐานจำนวน 112 ชิ้นของสถาบันมาตร..... วิทยาแห่งชาติ(ประเทศไทย)เทียบกับสถาบันมาตรวิทยาแห่งชาติ(ประเทศเยอรมัน).....	70
ค Students' T-distribution.....	82
ง หน้าต่างกำหนดเงื่อนไขค่าชดเชยพารามิเตอร์ต่างๆ ก่อนการวัด.....	83



## สารบัญรูป(ต่อ)

รูปที่	หน้า
3.6	แผนผังควบคุมแท่นวางแท่งเทียบมาตรฐานของ..... 36
	เครื่องเกจบล็อกอินเตอร์พีรอมิเตอร์.....
3.7	แผนผังระบบควบคุมและประมวลผลของเครื่องเกจบล็อกอินเตอร์พีรอมิเตอร์..... 37
3.8	ชุดควบคุมและประมวลผลของเครื่องเกจบล็อกอินเตอร์พีรอมิเตอร์..... 39
3.9	ชุดควบคุมอิเล็กทรอนิกส์ของเครื่องเกจบล็อกอินเตอร์พีรอมิเตอร์..... 39
3.10	เครื่องดิจิทัลอุณหภูมิ..... 40
3.11	ชุดสวิทช์ตรวจจับอุณหภูมิ..... 41
3.12	ตัวตรวจจับอุณหภูมิของแท่งเทียบมาตรฐาน..... 41
4.1	ผลการวัดค่าความคลาดเคลื่อนที่จุดกึ่งกลางของแท่งเทียบมาตรฐาน.....
	ขนาด 5, 15, 25, 50 และ 75 mm ที่สัมประสิทธิ์การขยายตัว $1.08 \times 10^{-5}/^{\circ}\text{C}$ ..... 49
4.2	ผลการวัดค่าความคลาดเคลื่อนที่จุดกึ่งกลางของแท่งเทียบมาตรฐาน.....
	ขนาด 5, 15, 25, 50 และ 75 mm ที่สัมประสิทธิ์การขยายตัว $1.15 \times 10^{-5}/^{\circ}\text{C}$ ..... 55
4.3	แผนภาพแสดงการเปรียบเทียบผลต่างระหว่างสัมประสิทธิ์การขยายตัว.....
	แท่งเทียบมาตรฐาน $1.08 \times 10^{-5}/^{\circ}\text{C}$ กับสัมประสิทธิ์การขยายตัวแท่งเทียบ.....
	มาตรฐาน $1.15 \times 10^{-5}/^{\circ}\text{C}$ ..... 57

# บทที่ 1

## บทนำ

### 1.1 ความสำคัญและที่มาของปัญหาที่ทำการวิจัย

ปัจจัยสำคัญประการหนึ่งของความก้าวหน้าทางวิทยาศาสตร์และเทคโนโลยีคือความสามารถด้านการวัด เพราะการวัดเป็นเครื่องมือของมนุษย์ในการไขความลับของธรรมชาติ ยิ่งมนุษย์สามารถพัฒนาให้เครื่องมือวัดมีความถูกต้องได้เท่าใด มนุษย์ก็ยิ่งมีศักยภาพในการศึกษาธรรมชาติได้เท่านั้น อย่างไรก็ตามความสามารถก้าวหน้าทางเทคโนโลยีของแต่ละประเทศมีความแตกต่างกัน ประเทศไทยได้รับการจัดอันดับความสามารถทางเทคโนโลยีในระดับต่ำมากคือ ลำดับที่ 49 จาก 49 ประเทศ(ข้อมูลปี พ.ศ. 2544) การศึกษาเทคโนโลยีสมัยใหม่ในระดับนำไปประยุกต์ใช้กับวิทยาศาสตร์และอุตสาหกรรมจึงเป็นสิ่งจำเป็น

การสร้างเสริมศักยภาพด้านวิทยาศาสตร์ของการวัดหรือมาตรวิทยาถือเป็นความจำเป็นเร่งด่วน ประเทศไทยยังขาดความพร้อมในเทคโนโลยีด้านนี้ กล่าวคือหน่วยงานด้านมาตรวิทยาที่ทำหน้าที่ดูแลและเก็บรักษามาตรฐานแห่งชาติของหน่วยการวัดปริมาณพื้นฐานมีไม่ครบถ้วน และเทคโนโลยีการถ่ายทอดค่าความถูกต้องจากมาตรฐานดังกล่าวไปสู่เครื่องมือวัดยังไม่ได้รับความเชื่อถือในระดับสากล ดังนั้นประเทศไทยจำเป็นต้องพัฒนาเทคโนโลยีด้านมาตรฐานขั้นปฐมภูมิ และการถ่ายทอดค่าความถูกต้องไปยังมาตรฐานขั้นทุติยภูมิและมาตรฐานใช้งาน เพื่อแสดงศักยภาพและเป็นพื้นฐานการพัฒนาวิทยาศาสตร์ของประเทศ

วิทยาศาสตร์ทางการวัดความยาวถือว่าเป็นศาสตร์ที่ได้รับการพัฒนาอย่างมากและเป็นศาสตร์ที่ประยุกต์ใช้ทฤษฎีทางฟิสิกส์อย่างมีประสิทธิภาพ โดยเฉพาะการนำเอาความรู้ด้านเลเซอร์ฟิสิกส์มาประยุกต์ใช้ใน ค.ศ.1960 ทำให้วิทยาศาสตร์การวัดพัฒนาจากระดับความถูกต้องที่  $10^{-6}$  เมตร มาสู่ที่ระดับ  $10^{-8}$  เมตร ปัจจุบันประเทศไทยได้จัดให้มีมาตรฐานแห่งชาติด้านการวัดความยาว แต่ยังไม่สามารถแสดงขีดความสามารถในการถ่ายทอดค่าความถูกต้องของมาตรฐานดังกล่าวให้เป็นที่ยอมรับของนานาชาติได้ การศึกษาและวิจัยเพื่อเป็นการวัดระดับความสามารถของมาตรวิทยาด้านการวัดความยาว โดยถ่ายทอดค่าความถูกต้องของมาตรฐานนี้ไปยังแท่งเทียบมาตรฐาน ซึ่งเป็นมาตรฐานขั้นทุติยภูมิ

แท่งเทียบมาตรฐาน (Standard Gauge Block) เป็นมาตรฐานความยาวชนิดหนึ่งที่นิยมใช้อย่างแพร่หลายในวงการอุตสาหกรรม เนื่องจากแท่งเทียบมาตรฐานมีความถูกต้องสูง สามารถสอบเทียบเครื่องมือได้หลายชนิด เช่น ยูนิเวอร์แซลเมเชอร์ริงแมชีน (Universal Measuring

Machine), ไมโครมิเตอร์ (Micrometer), เวอร์เนียคาลิปเปอร์ (Vernier Caliper), ไฮท์มาสเตอร์ (Height Master), ปลั๊กเกจ (Plug Gauge) เป็นต้น

การสอบเทียบแท่งเทียบมาตรฐานทั่วไป มี 2 วิธี

1. วิธีการวัดแบบเปรียบเทียบ (Comparison Measurement Method) เป็นการวัดเปรียบเทียบแท่งเทียบมาตรฐานด้วยเครื่องวัดเปรียบเทียบแท่งเทียบมาตรฐาน โดยเปรียบเทียบแท่งเทียบมาตรฐานที่มีความถูกต้องสูงกว่าเช่นระดับ 0 กับแท่งเทียบมาตรฐานที่มีความถูกต้องต่ำกว่าเช่น 1 และ 2

2. วิธีการวัดแบบสัมบูรณ์ (Absolute Measurement Method) เป็นวิธีการวัดแท่งเทียบมาตรฐานโดยใช้เทคนิคการวัดของอินเตอร์เฟอริมิเตอร์ และใช้ความยาวคลื่นแสงของแสงสีเดียว เช่นแสงเลเซอร์ หรือแคดเมียม เป็นมาตรฐานอ้างอิง

การวัดแบบสัมบูรณ์จะให้ความถูกต้องมากกว่าวิธีการวัดแบบเปรียบเทียบเพราะต้องใช้เทคนิคการวิเคราะห์เศษส่วนของรีฟลักซ์ทางแสงช่วงครึ่งความยาวคลื่นแสง วิธีการวัดนี้จำเป็นต้องใช้ผู้ที่มีความรู้ประสบการณ์ ทักษะ และความชำนาญสูงจึงจะได้ผลการวัดที่ถูกต้องสำหรับสถาบันมาตรวิทยาแห่งชาติ ของประเทศไทยการถ่ายทอดค่าความถูกต้องแท่งเทียบมาตรฐานโดยใช้เครื่องเกจบล็อกอินเตอร์เฟอริมิเตอร์ (Gauge Block Interferometer : GBI) ซึ่งเป็นการวัดแบบสัมบูรณ์

ปัจจุบันประเทศไทยเรายังขาดแคลนผู้ที่มีความรู้ประสบการณ์ ทักษะ และความชำนาญสูงในการถ่ายทอดค่าความถูกต้องแท่งเทียบมาตรฐาน โดยใช้เครื่องเกจบล็อกอินเตอร์เฟอริมิเตอร์ ทัดเทียมระดับสากล จึงเป็นที่มาของการศึกษาวิจัยเพื่อเป็นการพัฒนาขีดความสามารถด้านมาตรวิทยาของประเทศ ซึ่งได้ทำการศึกษา วิจัยเรื่องการถ่ายทอดค่าความถูกต้องแท่งเทียบมาตรฐานโดยใช้เครื่องเกจบล็อกอินเตอร์เฟอริมิเตอร์ โดยโครงสร้างและหลักการทำงานของเครื่องเกจบล็อกอินเตอร์เฟอริมิเตอร์ ซึ่งถือว่าเป็นมาตรฐานขั้นทุติยภูมิของการวัดด้านความยาว โดยใช้ทฤษฎีการแทรกสอดทางแสงไมเคิลสันอินเตอร์เฟอริมิเตอร์ (Michelson Interferometer) ใช้แหล่งกำเนิดแสงที่มีความยาวคลื่นแสงเลเซอร์ฮีเลียม-นีออน 632.990844 nm เป็นมาตรฐานอ้างอิงในการถ่ายทอดค่าความถูกต้อง เพื่อยืนยันผลการสอบเทียบเที่ยงตรงในระดับที่ยอมรับของนานาชาติ

ห้องปฏิบัติการความยาวมาตรฐานสถาบันมาตรวิทยาแห่งชาติของประเทศไทย และห้องปฏิบัติการความยาวระดับทุติยภูมิ ปัจจุบันยังคงต้องส่งแท่งเทียบมาตรฐานระดับ K ไปสอบเทียบยังห้องปฏิบัติการความยาวมาตรฐานแห่งชาติอื่นๆ เช่น NIMJ (National Institute Metrology of Japan), PTB (Physikalisch-Technische Bundesanstalt, Germany), NIST (National Institute Science and Technology, USA), NML (National Metrology Laboratory, Australia) และ NIM (National Institute Metrology, China) เป็นต้น ซึ่งห้องปฏิบัติการดังกล่าวได้พัฒนาการถ่ายทอดค่าความถูกต้องแท่งเทียบมาตรฐานด้วยเครื่องเกจบล็อกอินเตอร์เฟอริมิเตอร์ด้วยความยาวคลื่นแสงสี

เดี่ยวหรือเลเซอร์แบบหลายความยาวคลื่น(633nm, 544nm และ 780nm) ซึ่งจะได้รับใบรับรองค่าความถูกต้องและค่าความไม่แน่นอนของแห่งเทียบมาตรฐานที่ส่งไปสอบเทียบ

จากปัญหาและอุปสรรคดังกล่าวจึงเป็นที่มาของการศึกษาวิจัยนี้ โดยทำการวัดแห่งเทียบมาตรฐานด้วยเครื่องเกบล็อตอินเตอร์เฟอริมิเตอร์ที่มีความยาวคลื่นเดี่ยว

## 1.2 ความมุ่งหมายและวัตถุประสงค์ของการวิจัย

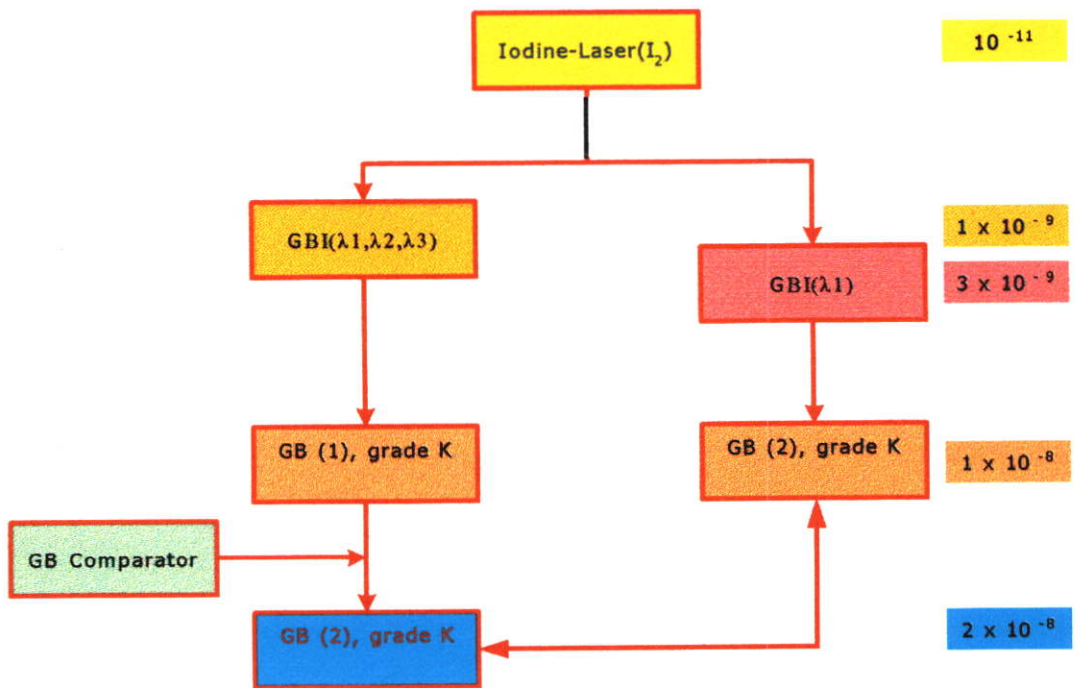
- 1.2.1 ศึกษาโครงสร้างและหลักการทำงานของเครื่องเกบล็อตอินเตอร์เฟอริมิเตอร์
- 1.2.2 เพื่อศึกษาวิธีการถ่ายทอดค่าความถูกต้อง โดยใช้ความยาวคลื่นแสงเลเซอร์ฮีเลียม - นีออน 632.990844 nm เป็นมาตรฐานอ้างอิง โดยใช้หลักการไมเคิลสันอินเตอร์เฟอริมิเตอร์ถ่ายทอดค่าความถูกต้องมาตรฐานชั้นทุติยภูมิมายังแห่งเทียบมาตรฐานระดับ K ที่มีค่าการยอมรับได้ตามขนาดของแห่งเทียบมาตรฐาน ให้เป็นไปตามมาตรฐาน ISO 3650:1998 (ภาคผนวก ก)[1]
- 1.2.3 ศึกษาวิจัยเพื่อหาแนวทางการแก้ไขปัญหา และอุปสรรคในภาคปฏิบัติการ การถ่ายทอดค่าความถูกต้องจากเครื่องเกบล็อตอินเตอร์เฟอริมิเตอร์ไปยังแห่งเทียบมาตรฐาน
- 1.2.4 ใช้ทฤษฎีทางฟิสิกส์ประเมินค่าความไม่แน่นอนในการถ่ายทอดค่าความถูกต้องเทียบแห่งเทียบมาตรฐาน
- 1.2.5 ประเมินความสามารถของมาตรวิทยาทางด้านความยาว โดยการเปรียบเทียบกับต่างประเทศ

## 1.3 ทฤษฎีและแนวความคิดที่ใช้ในการวิจัย

หัวใจสำคัญของวิทยานิพนธ์นี้คือการศึกษาการถ่ายทอดค่าความถูกต้องของแห่งเทียบมาตรฐานโดยใช้ทฤษฎีการแทรกสอดทางแสงของไมเคิลสัน[2] ซึ่งเป็นทฤษฎีที่นำไปประยุกต์ใช้กับเครื่องเกบล็อตอินเตอร์เฟอริมิเตอร์ มีแสงเลเซอร์ฮีเลียม-นีออนเป็นแหล่งกำเนิดความยาวคลื่นแสงอ้างอิงมาตรฐาน( $\lambda = 632.990844$  nm) เมื่อแสงจากแหล่งกำเนิดผ่านระบบทางแสงด้วยหลักการแทรกสอดทางแสงของไมเคิลสัน ทำให้เกิดริ้วของการแทรกสอดหรือฟริ้งจ์(fringe) ขึ้นที่เบสเพลตที่ใช้เป็นผิวอ้างอิงกับผิวของแห่งเทียบมาตรฐาน ค่าความแตกต่างของฟริ้งจ์ระหว่างผิวทั้งสองแสดงได้ในรูปของเศษส่วนฟริ้งจ์มีค่าของครึ่งความยาวคลื่น ( $\lambda/2$ ) สามารถนำเศษส่วนฟริ้งจ์ไปคำนวณหาค่าความถูกต้องของแห่งเทียบมาตรฐานได้

ในการสอบเทียบแท่งเทียบมาตรฐานวิธีวัดแบบเปรียบเทียบ เป็นการถ่ายทอดค่าความถูกต้องจากแท่งเทียบมาตรฐานที่มีระดับความถูกต้องสูงสุด(ระดับ K หรือ Calibration Gauge) แท่งเทียบมาตรฐานที่มีค่าความถูกต้องต่ำกว่า (ระดับ 0) นั่นคือระดับ K เป็นมาตรฐานที่ใช้สำหรับสอบเทียบให้กับระดับ 0 และระดับ 0 เป็นมาตรฐานที่ใช้สำหรับห้องปฏิบัติการระดับทุติยภูมิและเป็นมาตรฐานสอบเทียบให้กับระดับ 1 และ 2 ซึ่งเป็นมาตรฐานใช้งานในโรงงานอุตสาหกรรม เนื่องจากเครื่องมือวัดเปรียบเทียบแท่งเทียบมาตรฐานมีค่าความไม่แน่นอน  $\pm 0.03 \mu\text{m}$  มีความจำแนกขีด [มอก. 235/2531]  $0.01 \mu\text{m}$  พบว่าเครื่องมือนี้มีความสามารถแบ่งแยกความแตกต่างของแท่งเทียบมาตรฐานในระดับความถูกต้องระดับ 0,1 และ 2 เท่านั้น ส่วนแท่งเทียบมาตรฐานที่มีความถูกต้องระดับ K ที่มีระดับความถูกต้องสูงกว่าระดับ 0 พบว่าต้องใช้การวัดแบบสัมบูรณ์จึงจะทำให้แท่งเทียบมาตรฐานระดับ K มีค่าความถูกต้องสูงกว่าระดับ 0 เมื่อพิจารณาเปรียบเทียบค่าความถูกต้องแท่งเทียบมาตรฐานระดับ K กับเครื่องมือวัดแท่งเทียบมาตรฐานแบบเชิงกล (Mechanical Comparator) พบว่าค่าความคลาดเคลื่อนของเครื่องมือวัดนี้เป็นไปตามข้อแนะนำของ ISO 10012 นั่นคือ อัตราส่วนค่าความถูกต้องของเครื่องมือวัดเทียบกับแท่งเทียบมาตรฐานต้องเท่ากับ 1:10

จากเหตุผลข้างต้นจึงไม่สามารถวัดแท่งเทียบมาตรฐานระดับ K ด้วยวิธีเปรียบเทียบไม่ได้ ดังนั้นจึงจำเป็นต้องใช้วิธีการวัดแบบสัมบูรณ์เท่านั้น จึงจะทำให้ค่าที่ถูกต้องของแท่งเทียบมาตรฐานระดับ K เป็นไปตามข้อกำหนดของ ISO 10012 /1992(E)



รูปที่ 1.1 ลำดับการถ่ายทอดค่าความถูกต้องแท่งเทียบมาตรฐาน

จากแผนภาพในรูปที่ 1.1 แสดงให้เห็นแนวทางการถ่ายทอดค่าความถูกต้องแก่เทียบมาตรฐานทั้งระบบ เริ่มต้นด้วยเงื่อนไขที่ว่านำแท่งเทียบมาตรฐานระดับ K ที่มีอยู่ 2 ชุด โดยแท่งเทียบมาตรฐาน 1 ใน 2 ชุด จะถูกส่งไปสอบเทียบยังสถาบัน PTB ด้วยเครื่องเกจบล็อกอินเตอร์เฟรอมิเตอร์แบบ 3 ความยาวคลื่น (633 nm, 544nm และ 780 nm) เพื่อทราบค่าความถูกต้องและค่าความไม่แน่นอนที่แท้จริงก่อน(ที่นัยสำคัญ  $1 \times 10^{-9}$ ) จากนั้นนำผลที่ได้จากใบรับรองมาถ่ายทอดค่าความถูกต้องให้กับแท่งเทียบมาตรฐานระดับ K อีกชุดหนึ่งที่ยังไม่ทราบค่าความถูกต้องและค่าความไม่แน่นอน ด้วยวิธีเปรียบเทียบเพื่อทราบค่าความถูกต้องโดยประมาณ(ที่นัยสำคัญ  $1 \times 10^{-8}$ )ก่อน จากนั้นจึงใช้วิธีการวัดแบบสัมบูรณ์ด้วยเครื่องเกจบล็อกอินเตอร์เฟรอมิเตอร์แบบความยาวคลื่นแสงเดียว (633 nm) เพื่อให้ได้ค่าความถูกต้อง(ที่นัยสำคัญ  $1 \times 10^{-9}$ ) และค่าความไม่แน่นอนที่แท้จริงอีกครั้งหนึ่ง

ดังนั้นในการศึกษาวิจัยนี้เป็นการถ่ายทอดค่าความถูกต้องแก่เทียบมาตรฐานในระดับทุติยภูมิจำเป็นต้องทราบค่าความถูกต้องของแท่งเทียบมาตรฐานในระดับ K อย่างละเอียดหรือที่นัยสำคัญ  $1 \times 10^{-9}$  เพื่อให้ผลการถ่ายทอดค่าความถูกต้องของแท่งเทียบมาตรฐานเป็นไปตามมาตรฐาน ISO 3650:1998

#### 1.4 ขอบเขตของการวิจัย

ศึกษาหลักการทำงานของเครื่องเกจบล็อกอินเตอร์เฟรอมิเตอร์ และทำการทดลองถ่ายทอดค่าความถูกต้องให้กับแท่งเทียบมาตรฐาน โดยใช้หลักการแทรกสอดทางแสงของไมเคลสันอินเตอร์เฟรอมิเตอร์ ซึ่งใช้ความยาวคลื่นแสงเลเซอร์ฮีเลียม-นีออนเป็นมาตรฐานในการถ่ายทอดค่าความถูกต้องให้กับแท่งเทียบมาตรฐานขนาด 5, 15, 25, 50 และ 75 mm ภายใต้สภาวะแวดล้อมอุณหภูมิ ( $20 \pm 0.5$ )°C ความชื้นสัมพัทธ์ ( $50 \pm 15$ )%RH ความดันบรรยากาศ ( $1013 \pm 50$ ) hPa และประมวลผลโดยชุดประมวลผล พร้อมทั้งมีการชดเชยค่าพารามิเตอร์ต่างๆ ที่มีผลต่อการวัดเพื่อลดความผิดพลาด

ข้อมูลที่ได้จากการศึกษาวิจัยจะเป็นข้อมูลสำหรับการแก้ไขปัญหาและอุปสรรคในการสอบเทียบให้กับแท่งเทียบมาตรฐาน เพื่อยืนยันผลการสอบเทียบในระดับที่ยอมรับของนานาชาติ

#### 1.5 วิธีการดำเนินการวิจัย

**ขั้นตอนที่ 1** ศึกษาโครงสร้างและหลักการทำงานของเครื่องเกจบล็อกอินเตอร์เฟรอมิเตอร์

ขั้นตอนที่ 2	วางแผนการทดลองและหาค่า pre-measurement ของแท่งเทียบมาตรฐาน
ขั้นตอนที่ 3	ทดลองประกบแท่งเทียบมาตรฐานเข้ากับเบสเพลต เพื่อนำไปทำการวัด โดยใช้เครื่องเกจบล็อกอินเตอร์ฟิโรมิเตอร์
ขั้นตอนที่ 4	ทดลองการวัดซ้ำ (Repeatability) ของแท่งเทียบมาตรฐานขนาด 5, 15, 25, 50, 75 mm
ขั้นตอนที่ 5	วิเคราะห์ผลการทดลอง
ขั้นตอนที่ 6	ประเมินค่าความไม่แน่นอนของการวัด
ขั้นตอนที่ 7	สรุปและวิจารณ์ผลการทดลอง

## 1.6 ระยะเวลาดำเนินการวิจัย

เดือน	1	2	3	4	5	6	7	8
ขั้นตอนที่ 1								
ขั้นตอนที่ 2								
ขั้นตอนที่ 3								
ขั้นตอนที่ 4								
ขั้นตอนที่ 5								
ขั้นตอนที่ 6								
ขั้นตอนที่ 7								

## 1.7 ประโยชน์ที่คาดว่าจะได้รับ

ผลจากการศึกษาวิจัยนี้ จะเป็นแนวทางในการพัฒนาขีดความสามารถรวมทั้งเพิ่มทักษะ ความชำนาญ และความเชี่ยวชาญให้กับบุคลากรในงานมาตรฐานวัดความยาวมาตรฐาน โดยเครื่องเกจบล็อกอินเตอร์ฟิโรมิเตอร์นี้สามารถลดค่าความไม่แน่นอนลงและเพิ่มค่าความถูกต้องมากขึ้น นอกจากนี้เทคนิคการวัดด้วยเครื่องดังกล่าวยังสามารถแก้ไขปัญหาและลดอุปสรรคเนื่องจากสถานะแวดล้อมขณะทำการถ่ายทอดค่าความถูกต้องให้กับแท่งเทียบมาตรฐาน อีกทั้งยังช่วยลดต้นทุนในการสอบกลับแท่งเทียบมาตรฐานไปยังต่างประเทศ ซึ่งสอดคล้องกับแนวทางในการพัฒนาเศรษฐกิจและสังคมของประเทศไทยในปัจจุบัน และเป็นตัวบ่งชี้ระดับความสามารถของห้องปฏิบัติการมาตรฐานวัดความยาวและมิติเมื่อเปรียบเทียบกับผลการวัดระหว่างห้องปฏิบัติการในระดับนานาชาติ (Interlaboratory Comparison) ได้อีกด้วย

## บทที่ 2

# หลักการและทฤษฎีที่เกี่ยวข้อง

ในปัจจุบันได้มีนำเทคนิคของอินเตอร์เฟอริมิเตอร์มาประยุกต์ใช้ในงานมาตรวิทยาทางด้านความยาวและมิติ เพื่อให้ผลการวัดมีความถูกต้องสูงขึ้น โดยใช้แสงเลเซอร์เป็นมาตรฐานอ้างอิงในการถ่ายทอดค่าความถูกต้อง ตามนิยามความยาว 1 เมตร ซึ่งการถ่ายทอดค่าความถูกต้องแบ่งตามระดับความละเอียดของเครื่องมือวัด ตั้งแต่มาตรฐานขั้นปฐมภูมิถ่ายทอดมายังมาตรฐานขั้นทุติยภูมิ และขั้นทุติยภูมิถ่ายทอดลงไปยังมาตรฐานใช้งาน

งานวิจัยนี้จะกล่าวถึงวิธีการถ่ายทอดค่าความถูกต้องขั้นทุติยภูมิ โดยใช้เครื่องเก็บล็อกอินเตอร์เฟอริมิเตอร์ ซึ่งจะกล่าวต่อไป

### 2.1 นิยามความยาวหนึ่งเมตร (Definition of the metre)

มาตรวิทยาเป็นศาสตร์เกี่ยวข้องกับการวัดปริมาณรากฐานแขนงต่างๆ เช่น มวล ความยาว แรง ความดัน ไฟฟ้า ความถี่ อุณหภูมิ เสียงและวัสดุอ้างอิง เพื่อรักษาความเป็นมาตรฐานและการถ่ายทอดค่าความถูกต้องไปยังระดับต่างๆ

หน่วยความยาวมาตรฐาน คือ เมตร ซึ่งเป็นระบบหน่วยระหว่างประเทศ (ระบบเอสไอ) กำหนดโดยที่คณะกรรมการระหว่างประเทศว่าด้วยการชั่ง ตวง วัด (Committee International des Poids et Mesures: CIPM) มาตรฐานความยาวระหว่างประเทศสิ่งแรกคือ แท่ง (Bar) ของโลหะผสมระหว่างแพลตตินัมกับอิริเดียม เรียกว่า เมตรมาตรฐาน (Standard Meter) ได้เก็บรักษาไว้ที่สำนักงานมาตรฐาน ชั่ง ตวง วัด ระหว่างประเทศ (Bureau International of Poids et Mesures: BIPM) ที่กรุงปารีส ประเทศฝรั่งเศส ปี ค.ศ. 1889 เป็นมาตรฐานความยาว ซึ่งมีความยาว 1 เมตร เป็นแท่งโลหะลักษณะเป็นรูปตัวเอ็กซ์ (X)

ต่อมาเมื่อมีเหตุผลหลายประการที่คัดค้านการใช้แท่งโลหะเป็นมาตรฐานขั้นปฐมภูมิความยาว เนื่องจากอาจถูกทำลายด้วยไฟหรือสงคราม เป็นภาพจำลองที่ไม่ถูกต้องและไม่เป็นที่ยอมรับ ที่สำคัญที่สุดความถูกต้องที่จำเป็นในการเปรียบเทียบความยาวระหว่างกัน ซึ่งวัดด้วยไมโครมิเตอร์นั้น ไม่สามารถใช้ได้กับวิทยาศาสตร์และเทคโนโลยีสมัยใหม่ ในปี ค.ศ. 1894 ฮิปโปไลต์ หลุยส์ ฟิโซ (Hippolyte Louis Fizeau) ได้แนะนำว่าควรใช้ความยาวคลื่นแสงเป็นมาตรฐานความยาว ผลที่ได้มีความถูกต้องและมีเสถียรดีที่สุดจนกระทั่ง BIPM ยอมรับและนำไปใช้ และได้พิสูจน์แล้วว่าความยาวคลื่นของการแผ่รังสีแสงสีแดงของยูเรนียมบนพื้นฐานของหน่วยความยาวระหว่างประเทศได้ดี ซึ่งต่อมาแฟ็บรี (Fabry) และ เปโรต์ (Perot) ชาวฝรั่งเศสก็ได้ค้นพบงานอย่างเดียวกัน

ในปี ค.ศ. 1960 จึงได้นิยาม เมตร เป็นความยาวที่ 1650763.73 เท่าของความยาวคลื่นแสงในสุญญากาศของการแผ่รังสีที่สมนัยกับการเปลี่ยนแปลงระหว่างระดับชั้นพลังงาน  $2p_{10}$  กับ  $5d_5$  ของอะตอมคริปตอน-86 (605.780 210 nm)

ในการประชุมของ CIPM ครั้งที่ 12 ปี ค.ศ. 1964 ได้แนะนำให้ใช้สเปกตรัมระดับพลังงานอื่นของ คริปตอน-86, เมอร์คิวรี-198 และแคดเมียม-114 เป็นมาตรฐานขั้นทุติยภูมิทางด้านความยาว

ต่อมาได้มีการแนะนำว่ามาตรฐานทั้งหมดรวมถึงความยาว มวล และอุณหภูมิ ควรจะได้นิยามใหม่ โดยเชื่อมโยงให้มีมาตรฐานที่ถูกต้องที่สุด นั่นคือเวลา ซึ่งมีความถูกต้องถึง  $10^{13}$  ดังนั้นในการประชุมของ CIPM ครั้งที่ 17 ในปี ค.ศ. 1983 จึงได้กำหนดความยาวมาตรฐานระหว่างประเทศขึ้นใหม่ว่า 1 เมตรคือ ระยะทางที่แสงเดินทางไปได้ในสุญญากาศในระหว่างช่วงเวลา  $1/299,792,458$  วินาที ซึ่งหมายความว่าความเร็วของแสง ( $c$ ) ในสุญญากาศขณะนั้น คงตัวเท่ากับ  $299,792,458$  เมตรต่อวินาที

## 2.2 สมบัติเฉพาะของแสงเลเซอร์

แสงเป็นคลื่นแม่เหล็กไฟฟ้า ซึ่งเดินทางผ่านสุญญากาศและวัตถุโปร่งแสง มีความเร็วที่เดินทางในสุญญากาศเท่ากับ  $299,792,458$  m/s

ความหมายของที่ทำให้นิยาม 1 เมตรเป็นจริงมีอยู่ 2 ประการ คือ

- 1) ระยะทางที่คลื่นแม่เหล็กไฟฟ้าเดินทางในสุญญากาศเป็นเวลา 1 วินาที คาบเวลา(T) ที่วัดได้จาก 1 คาบเวลา มีค่าเท่ากับ  $1=ct$  ซึ่งมีความสัมพันธ์กับความเร็วที่แสงเดินทางในสุญญากาศ  $c = 299,792,458$  m/s
- 2) ความยาวคลื่นในสุญญากาศ ( $\lambda$ ) ในระนาบของคลื่นแม่เหล็กไฟฟ้า ความยาวคลื่นสามารถคำนวณได้จากความถี่ซึ่งเป็นค่าที่สามารถวัดได้โดยใช้ความสัมพันธ์ดังต่อไปนี้

$$c = f\lambda \quad (2.1)$$

เมื่อ  $c$  = ความเร็วแสง  
 $f$  = ความถี่  
 $\lambda$  = ความยาวคลื่นในสุญญากาศ

สมบัติเฉพาะของเลเซอร์ชนิดต่างๆ ที่ใช้ทำชุดอินเตอร์เฟอโรมิเตอร์ มีดังตารางที่ 2.1

ตารางที่ 2.1 ชนิดของเลเซอร์

ชนิดของเลเซอร์	ความยาวคลื่น, $\mu\text{m}$	เอาต์พุต
ฮีเลียม-นีออน (He-Ne Laser)	3.39, 1.15, 0.63, 0.61, 0.54	0.5-25 mW
อาร์กอนไอออน ( $\text{Ar}^+$ Laser)	0.51, 0.49	0.5 – 2-3W
ไดโอด ( $\text{GaAlAs}$ Laser)	$\sim 0.87, \sim 0.75, \sim 0.67$	$\sim 5 - 10\text{mW}$
คาย(Dye Laser)	$\sim 1.08 - \sim 0.41$	$\sim 10-100\text{ mW}$
คาร์บอนไดออกไซด์ ( $\text{CO}_2$ Laser)	$\sim 10.6, \sim 9.0$	2-3W – 2-3kW
รูบี้หรือทับทิม (Ruby Laser)	0.69	0.6-10 J
เอ็นดี-เย็ก (Nd-YAG Laser)	1.06	0.1 – 0.15 J

เลเซอร์ฮีเลียม-นีออน เป็นที่นิยมใช้ในการทำชุดอินเตอร์เฟอโรมิเตอร์อย่างกว้างขวางเพราะลำแสงที่ออกมาสามารถมองเห็นได้ ย่านที่นิยมมากที่สุดคือช่วงความยาวคลื่น 633 nm

เลเซอร์อาร์กอนไอออน เป็นเลเซอร์ที่ให้เอาต์พุตที่มีกำลังสูง สามารถทำงานในช่วงความยาวคลื่นแสงที่มองเห็น

เลเซอร์ไดโอดใช้สารกึ่งตัวนำ เป็นโครงสร้างรวมสามารถทำงานได้อย่างต่อเนื่องในช่วงความยาวคลื่นใกล้อินฟราเรดและแสงสีแดง สามารถปรับความยาวคลื่นได้หลายย่านโดยการปรับกระแสให้เหมาะสมกับความยาวคลื่นที่ต้องการ

เลเซอร์คาย สามารถทำงานในช่วงความยาวคลื่นในย่านที่มองเห็นคือความยาวคลื่น 1.08 ถึง 0.41  $\mu\text{m}$  ซึ่งถ้าต้องการใช้จะต้องเลือกเลเซอร์คายที่ความยาวคลื่นให้เหมาะสม

เลเซอร์คาร์บอนไดออกไซด์ สามารถทำงานในช่วงความยาวคลื่นได้สองย่านในช่วงของแสงอินฟราเรด เพราะว่าความยาวคลื่นแสงยาวและเป็นประโยชน์มากในการนำเอามาใช้วัฏระยะทางไกล

เลเซอร์รูบี้หรือทับทิมและเลเซอร์เอ็นดี-เย็กเป็นพัลส์แคบๆ ของแสงที่ใช้วัด ( $< 20\text{ ns}$ ) ให้กำลังออกสูงมาก

## 2.3 เลเซอร์อินเตอร์เฟอเมตรี (Laser Interferometry)

ปี ค.ศ. 1675 โรเมอร์ (Romer) นักดาราศาสตร์ชาวเดนมาร์ก ได้ทำการวัดความเร็วแสงครั้งแรกโดยการศึกษาปรากฏการณ์ของการเกิดจันทรคราสที่เกิดจากดาวพฤหัสบดีส่วนการวัดความเร็วแสงโดยใช้เครื่องมือบนพื้นโลกนั้นมักอาศัยหลักการมอดูเลตคลื่นแสง แล้ววัดหาระยะทางที่คลื่นแสงนั้นเดินทางไปในระยะเวลาที่ทราบค่า นักวิทยาศาสตร์ได้พยายามวัดหาค่าความเร็วแสงนี้โดยอาศัยหลักการและวิธีดังกล่าว ต่อมาในปี ค.ศ. 1927 อัลเบิร์ต. เอ. ไมเคิลสัน (Albert A. Michelson) หรือรู้จักกันในชื่อว่าไมเคิลสัน นักวิทยาศาสตร์ชาวอเมริกาได้วัดความเร็วแสงที่เดินทางเป็นระยะทาง 35 กิโลเมตร ได้ค่าความเร็วแสงเป็น  $299,796 \pm 4$  km/s และปีต่อมาเบิร์กกรานด์ (Bergstrand) ได้วัดค่าความเร็วแสงเป็น  $299,792.458$  km/s เป็นต้น

จากการพัฒนาเลเซอร์ฮีเลียม-นีออนที่มีเสถียรภาพดี ซึ่งเป็น Iodine - stabilized He-Ne Laser จึงทำให้การวัดหาค่าความถี่สัมบูรณ์ได้อย่างแน่นอน ที่ค่าความไม่แน่นอนเท่ากับ  $2.5 \times 10^{-11}$  ตามข้อกำหนดของ CIPM จึงทำให้หาค่าความเร็วแสงที่วัดได้มีความถูกต้องขึ้น การพัฒนาเลเซอร์ไม่เพียงแต่ช่วยให้เราสามารถกำหนดนิยามเท่านั้น แต่ยังมีส่วนพัฒนาโดยตรงต่อเทคนิคการวัดขนาดและสัดส่วนของวัตถุได้แม่นยำ โดยใช้เทคนิคอินเตอร์เฟอเมตรี เลเซอร์ที่ใช้ได้แก่ เลเซอร์ฮีเลียม-นีออน

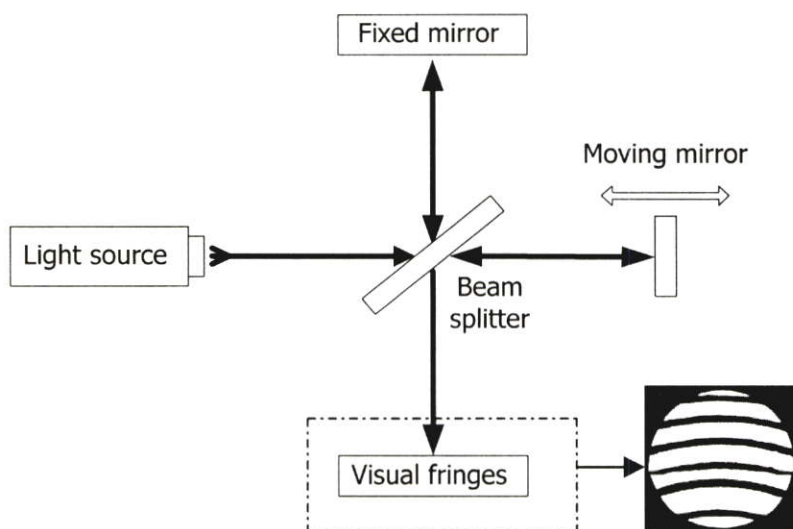
ปัจจุบันมีการนำเทคนิคของอินเตอร์เฟอเมตรีมาประยุกต์ในงานมาตรฐานทางด้านความยาวและมิติ เช่น ที่ Dimensional Metrology Section สถาบัน NPL (National Physical Laboratory) ประเทศอังกฤษ ใช้เครื่องเอ็นพีแอล ทีซ่า ออโตเมตริก เกจบล็อกอินเตอร์เฟอเมตรี (NPL - TESA Automatic Gauge Block Interferometer) ตามหลักการของโทมัสแมนส์-กรีน อินเตอร์เฟอเมตรี (Twyman - Green Interferometer), ที่ Precision Engineering Division Dimensional Metrology Group สถาบัน NIST ประเทศอเมริกา ใช้เครื่องเกจบล็อกอินเตอร์เฟอเมตรี โดยใช้หลักการของครอสเตอร์อินเตอร์เฟอเมตรี (Kosters Interferometer) เป็นต้น

### 2.3.1 หลักการแทรกสอดทางแสงของไมเคิลสัน (Michelson's Interferometry principle)

ในปี ค.ศ. 1887 ไมเคิลสัน เป็นผู้ประดิษฐ์อินเตอร์เฟอเมตรีครั้งแรก สำหรับใช้วัดปริมาณของอีเธอร์ ต่อมาไมเคิลสันใช้เทคนิคนี้ตรวจจับโครงสร้างอะตอมของโซเดียม การทดลองทั้งสองนับว่าเป็นการบุกเบิกศึกษาทางด้านควอนตัมฟิสิกส์ครั้งยิ่งใหญ่ ไมเคิลสันเป็นคนแรกที่แสดงให้เห็นว่าการวัดความยาวโดยการใช้อินเตอร์เฟอเมตรีจากแถบสเปกตรัมแสงสีแดงของแคดเมียม

และได้ถูกพัฒนาให้มีความถูกต้องและเป็นที่ยอมรับของการวัดความยาวมาตรฐาน หลังจากนั้นได้มีการค้นคว้าเพิ่มเติมเพื่อหาเส้นสเปคตรัมที่เหมาะสมมากขึ้น

สำหรับเครื่องเกจบล็อกอินเตอร์เฟอโรมิเตอร์ในงานวิจัยนี้ใช้หลักการแทรกสอดทางแสงของไมเคิลสันดังรูปที่ 2.1 แหล่งกำเนิดแสง (Light Source) จะถูกส่งมายังผลึกแยกลำแสง (Beam Splitter) แบบ 50% ทำการแยกลำแสงออกเป็น 2 ส่วน แต่ละส่วนจะมีความเข้มแสงลดลงครึ่งหนึ่ง ลำแสงส่วนที่หนึ่งเป็นลำแสงอ้างอิงจะไปสะท้อนยังกระจกที่ยึดติดอยู่กับที่ (Fixed mirror) ลำแสงส่วนที่สองจะไปยังสะท้อนกระจกที่เคลื่อนที่ได้ (Moving mirror) ลำแสงที่สะท้อนกลับจากกระจกที่ยึดติดอยู่กับที่และ กระจกที่เคลื่อนที่ได้มายังผลึกแยกลำแสงอีกครั้งหนึ่ง เปรียบเสมือนว่ามีแหล่ง

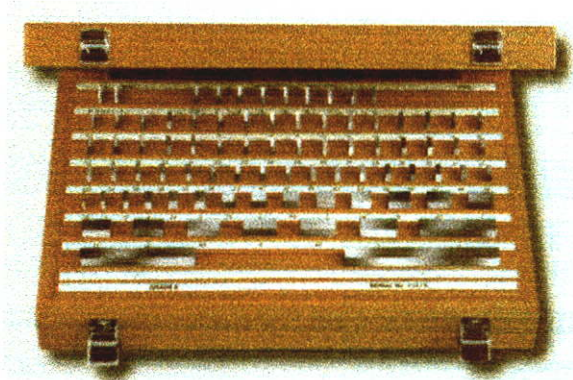


รูปที่ 2.1 หลักการแทรกสอดทางแสงของไมเคิลสัน

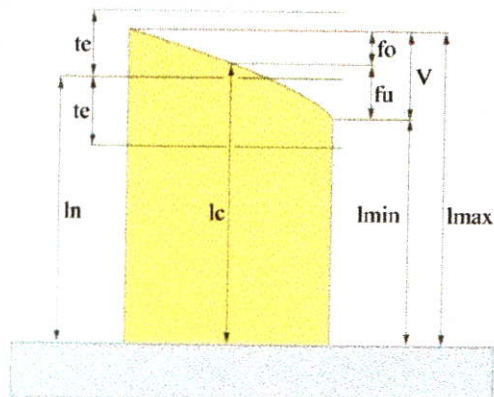
กำเนิดแสงสองแหล่งที่มาพร้อมกัน ทำให้เกิดฟริ่งจ์ของการแทรกสอดขึ้นที่ฉากรับแสง (Visual fringes) ระยะห่างระหว่างฟริ่งจ์มีค่าเท่ากับ  $\frac{\lambda}{2}$  เมื่อทำการเลื่อนกระจกที่เคลื่อนที่ได้ เข้า-ออกจะพบว่าฟริ่งจ์ที่ฉากรับมีการเปลี่ยนแปลงเท่ากับ  $\frac{\lambda}{2}$  โดยหลักการนี้ทำให้สามารถคำนวณหาระยะระหว่างกระจกทั้งสองได้

## 2.4 แท่งเทียบมาตรฐาน

แท่งเทียบมาตรฐานที่ใช้ในปัจจุบันแสดงดังรูปที่ 2.2 เป็นมาตรฐานความยาวอ้างอิง ประกอบด้วยผิวหน้าสัมผัสทั้งสองด้านเรียบและขนานกัน เนื่องจากผิวหน้า (Measuring face) มีความสำคัญมากสำหรับการประกบ (Wring) ของแท่งเทียบมาตรฐานเข้าด้วยกัน ซึ่งบอกขนาดความยาวได้จากส่วนปลายด้านหนึ่งถึงปลายอีกด้านหนึ่ง มีรูปทรงเป็นสี่เหลี่ยมจัตุรัส และสี่เหลี่ยมผืนผ้า ขนาดกว้าง 9 mm ยาว 30 mm (ขนาดต่ำกว่า 10 mm) ถึง 35 mm (ขนาดตั้งแต่ 10 mm ขึ้นไป) ทำจากวัสดุที่แข็งแรง ทนทานต่อการเสียดสีและสึกหรอ ไม่เป็นสนิมง่าย ผิวหน้าสัมผัสทั้งสองด้านเรียบและขนานกัน สามารถนำมาประกบเข้าด้วยกันได้ ความยาวของแท่งเทียบมาตรฐานจะแปรผันโดยตรงกับอุณหภูมิที่เปลี่ยนไปโดยอุณหภูมิที่ใช้อ้างอิงคือ 20°C วัสดุที่ใช้ทำแท่งเทียบมาตรฐานได้แก่ เหล็ก, เซรามิก, ทังสเตนคาร์ไบด์และโครเมียมคาร์ไบด์ เป็นต้น ความยาวหรือความหนาของแท่งเทียบมาตรฐานที่จุดใดๆ คือระยะที่ดึงจากระหว่างจุดนั้นๆ กับจุดบนผิวหน้าสัมผัสที่แท่งเทียบมาตรฐานประกบอยู่ ดังรูปที่ 2.3, ความเรียบของแท่งเทียบมาตรฐานและการแบ่งระดับชั้นของแท่งเทียบมาตรฐานตาม ISO 3650 - 1998 แสดงดังตารางในภาคผนวก ก



รูปที่ 2.2 แท่งเทียบมาตรฐานชนิดเหล็ก



รูปที่ 2.3 ลักษณะ โครงสร้างของแท่งเทียบมาตรฐาน

- 2.4.1 ความยาวของแท่งเทียบมาตรฐาน (Length of Gauge Block :  $l_n$ ) ความยาวของแท่งเทียบมาตรฐานที่จุดใดๆ บนผิวหน้า คือระยะที่ตั้งฉากระหว่างจุดนั้นๆ กับพื้นที่แท่งเทียบนั้นประกบอยู่ ดังรูปที่ 2.3
- 2.4.2 ความยาวที่จุดกึ่งกลางของแท่งเทียบมาตรฐาน (Central Length :  $l_c$ ) คือความยาวของแท่งเทียบมาตรฐาน ณ จุดกึ่งกลางของผิวหน้าการวัด ดังรูปที่ 2.3
- 2.4.3 ส่วนเบี่ยงเบนจากความเรียบ (Deviation from Flatness :  $t_e$ ) คือระยะทางที่น้อยที่สุดระหว่างผิวหน้าที่ขนานกัน ดังรูปที่ 2.3
- 2.4.4 ความแปรปรวนแปรในความยาว (Variation in Length :  $v$ ) คือ ผลต่างของความยาวของแท่งเทียบมาตรฐานระหว่างค่าสูงสุดกับค่าต่ำสุด ที่ทุกๆ จุดบนพื้นผิวหน้าของแท่งเทียบมาตรฐาน ดังรูปที่ 2.3
- 2.4.5 ระดับของแท่งเทียบมาตรฐาน (Grade of Gauge Block) แท่งเทียบมาตรฐานแบ่งระดับความถูกต้องออกเป็น 4 ระดับตามความคลาดเคลื่อนที่ยอมรับได้ตามตารางในภาคผนวก ก ดังนี้
- 1) ระดับ K เป็นระดับที่มีค่าความถูกต้องสูงที่สุด
  - 2) ระดับ 0 เป็นระดับที่มีค่าความถูกต้องน้อยกว่าระดับ K
  - 3) ระดับ 1 เป็นระดับใช้งานที่มีค่าความถูกต้องอยู่ในช่วง  $0.2 \mu\text{m}$
  - 4) ระดับ 2 เป็นระดับใช้งานที่มีค่าความถูกต้องอยู่ในช่วง  $0.2 \mu\text{m}$

## 2.5 การถ่ายทอดค่าความถูกต้องแท่งเทียบมาตรฐาน

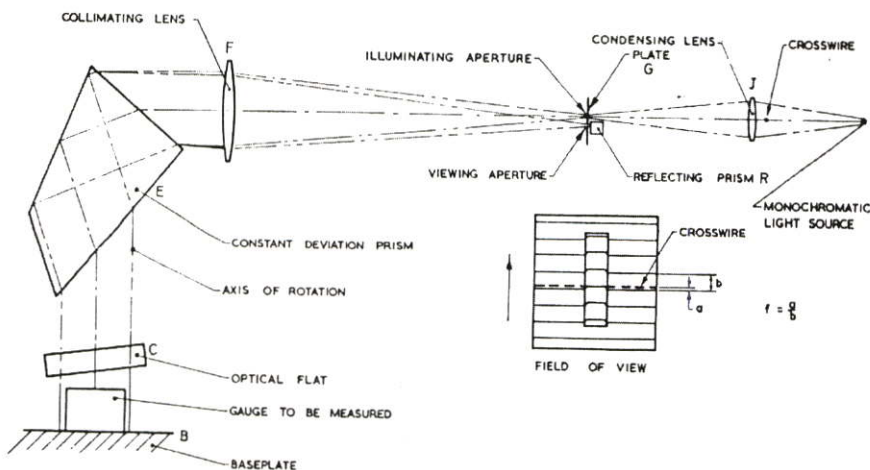
การถ่ายทอดค่าความถูกต้องแท่งเทียบมาตรฐานมีวิธีการทำได้ 2 วิธีดังได้กล่าวมาแล้ว ในที่นี้จะกล่าวถึงการถ่ายทอดค่าความถูกต้องจากเครื่องเกบสล็อกอินเตอร์เฟอริมิเตอร์ ซึ่งเป็นวิธีการวัดแบบสัมบูรณ์ คือ

### 2.5.1 การถ่ายทอดค่าความถูกต้องด้วยเครื่องเกบสล็อกอินเตอร์เฟอริมิเตอร์หลายความยาวคลื่น

พิจารณาจากตัวอย่าง การวัดแท่งเทียบมาตรฐานด้วยเครื่องพิตเตอร์ เอ็นพีแอล อินเตอร์เฟอริมิเตอร์[4] (The Pitter - NPL Interferometer) ดังรูปที่ 2.4 แสดงการวัดขนาดแท่งเทียบมาตรฐานโดยใช้แสงจากหลอดแคดเมียมที่ทำให้เป็นแหล่งกำเนิดแสงแบบจุดและเพิ่มความเข้มแสงโดยการรวมแสงด้วยเลนส์รวมแสง (J) ที่อยู่บนแผ่นเจาะรู (Pin-hole plate: G) ก็จะได้จุดกำเนิดแสงตกอยู่

บนคอลลิเมเตอร์เลนส์ (F) ทำให้แสงที่ผ่านออกมาจากคอลลิเมเตอร์เลนส์เป็นลำแสงขนาน โดยขนาดของลำแสงนั้นครอบคลุมถึงขนาดของแท่งเทียบมาตรฐานและเบสเพลตที่ต้องการจะวัด เมื่อได้ลำแสงขนานก็ส่งผ่านตรงไปยังปริซึม (E) ทำให้ลำแสงขนานหักเหเกิดเป็นแสงสีต่างๆ ตามช่วงความยาวคลื่นของแสง เมื่อต้องการจะเลือกช่วงความยาวคลื่นใดก็ปรับมุมเอียงของการสะท้อนแสงที่ผิวของปริซึมสัมพันธ์กับเบสเพลตที่ประกบติดกับแท่งเทียบมาตรฐานลำแสงสะท้อนกลับทำมุม  $90^\circ$  ไปยังกระจกเอียง (Proof-plane : C) โดยผิวด้านล่างของแผ่นออปติคัลแฟลต (Optical flat) (C) จะถูกทำแบบกึ่งแสงผ่านได้และกึ่งแสงผ่านไม่ได้ เคลือบด้วยสารอลูมิเนียม ซึ่งลำแสงที่ผ่านไปได้กับลำแสงสะท้อนมีเศษส่วนเท่ากัน ส่วนหนึ่งของลำแสงที่สะท้อนกลับขึ้นไป และอีกส่วนหนึ่งผ่านแผ่นกระจกเอียงไปสะท้อนที่ผิวหน้าของแท่งเทียบมาตรฐานและผิวของเบสเพลตซึ่งใช้เป็นพื้นผิวอ้างอิง แสงสะท้อนกลับของผิวทั้งสองผ่านระบบทางแสง แต่เนื่องจากแนวแกนแสงทั้งสองเบี่ยงเบนไปเล็กน้อย เนื่องจากความเอียงของกระจกเอียง (C) ดังนั้นจะถูกแก้ด้วยกระจกปริซึม (R) ทำให้ลำแสงสะท้อนกลับทำมุม  $90^\circ$  เข้าสู่ช่องมองภาพ

ภาพการแทรกสอดหรือฟริ้งจ์แสดงในรูปที่ 2.5 เกิดขึ้นเนื่องจากการสะท้อนที่พื้นผิวอ้างอิงของเบสเพลตและถูกซ้อนทับด้วยภาพฟริ้งจ์จากการสะท้อนผิวของแท่งเทียบมาตรฐาน โดยทั่วไปภาพเศษส่วนฟริ้งจ์ที่เกิดขึ้นนั้นจะบอกให้ทราบถึงระยะขจัดของแท่งเทียบมาตรฐาน ซึ่งระยะขจัดจะแปรตามความยาวคลื่นแสง เพราะฉะนั้นความยาวคลื่นของแสงจะถูกแยกออกด้วยกระจกปริซึมระยะขจัดที่วัดได้เป็นเศษส่วนของ  $b$  และ  $a$  ในรูปของเศษส่วนฟริ้งจ์  $f = b/a$  ก็พอเพียงที่จะคำนวณเศษส่วนฟริ้งจ์ได้ แต่เครื่องหมายครอสไวร์ (Crosswire) จะช่วยให้การตรวจวัดฟริ้งจ์ง่ายขึ้น โดยเคลื่อนผ่านระบบทางแสงในส่วนช่องมองภาพ ภาพฟริ้งจ์ที่ปรากฏสามารถคำนวณค่า  $f$  ได้จากทั้งสี่ช่วงความยาวคลื่นของแสง สีแดง สีเขียว สีฟ้า สีม่วง ด้วยแหล่งกำเนิดแสงจากหลอดแคโทดเมียมจะถูกแยกออกโดยการหมุนปริซึมอย่างเหมาะสม



รูปที่ 2.4 หลักการทำงานของเครื่อง พิเตอร์ เอ็นพีแอล อินเตอร์ฟีรอมิเตอร์

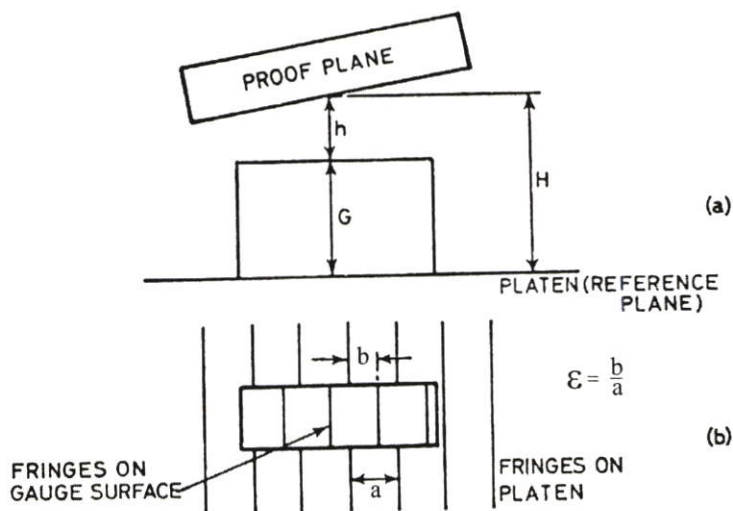
## วิธีการวัด (Method of Measurement)

โดยทั่วไปการวัดแท่งเทียบมาตรฐานด้วยอินเตอร์เฟอริเตอร์จำเป็นต้องมีการควบคุมสภาวะอากาศให้ได้ตามมาตรฐานอ้างอิงได้แก่ อุณหภูมิ 20 °C ความดันบรรยากาศ 760 มม.ปรอท ความชื้นไอน้ำ 7 มม.ปรอท และมีปริมาณของคาร์บอนไดออกไซด์ 0.03% ถ้าสภาวะอากาศเปลี่ยนแปลงไปจากนี้ต้องมีการแก้ไขสภาวะอากาศเพื่อชดเชยค่าให้ได้ใกล้เคียงค่าสภาวะอากาศมาตรฐานอ้างอิง

### ตัวอย่างเช่น

พิจารณาการวัดแท่งเทียบมาตรฐาน ขนาด 3 mm โดยใช้สามความยาวคลื่นดังนี้

แสงสีแดง	0.643 850 37 $\mu\text{m}$ หรือ 1 mm	จะได้ค่า 3106.311 80 เท่าของครึ่งความยาวคลื่น
แสงเขียว	0.508 584 83 $\mu\text{m}$ หรือ 1 mm	จะได้ค่า 3932.480 64 เท่าของครึ่งความยาวคลื่น
แสงเหนือม่วง	0.467 817 43 $\mu\text{m}$ หรือ 1 mm	จะได้ค่า 4275.172 05 เท่าของครึ่งความยาวคลื่น



รูปที่ 2.5 (a) ระยะขจัดระหว่างแท่งเทียบมาตรฐานและเบสเพลต (b) การวัดเศษส่วนฟริ่ง

รูปที่ 2.5(a) แสดงแผนผังการทำงานของเครื่องการวัดเกจบล็อกอินเตอร์เฟอริเตอร์ด้วยวิธีของพิเตอร์ เอ็นพีแอล เบสเพลต แท่งเทียบมาตรฐานและลิ้มกระจก ส่วนรูปที่ 2.5 (b) แสดงความสัมพันธ์เศษส่วนฟริ่งเท่ากับ 0.65 สำหรับแสงสีแดง เมื่อมองผ่านช่องมองภาพของเครื่องมือ สำหรับความยาวคลื่นต่างๆ ที่เลือกใช้ก็จะมีค่าเศษส่วนฟริ่งที่ได้จากการตรวจวัดแตกต่างกัน

ความสูงของแท่งเทียบมาตรฐาน ( $G$ ) จะเท่ากับจำนวนเท่าของครึ่งหนึ่งของความยาวคลื่นแสง( $n$ ) รวมเศษส่วน  $b/a$  ของครึ่งหนึ่งของความยาวคลื่นแสงของแหล่งกำเนิดที่ใช้ นั่นคือ

$$G = H - h = n \cdot \frac{\lambda}{2} + \frac{b}{a} \cdot \frac{\lambda}{2} \quad (2.2)$$

เราจะได้เศษส่วนฟริ่งจต่างๆ  $b_1/a_1$ ,  $b_2/a_2$  และ  $b_3/a_3$  ของแต่ละช่วงความยาวคลื่นให้มีค่าเป็น  $f_1$ ,  $f_2$  และ  $f_3$  โดยลำดับ ความสูงของแท่งเทียบมาตรฐานที่ประกบกับแผ่นเบสเพลตที่หาได้จากแต่ละค่าความยาวคลื่น มีค่าดังนี้

$$G = \frac{\lambda_1}{2}(n_1 + f_1); \quad G = \frac{\lambda_2}{2}(n_2 + f_2); \quad G = \frac{\lambda_3}{2}(n_3 + f_3) \quad (2.3)$$

เมื่อ  $f$  เป็นค่าที่ได้จาก  $b/a$  และเป็นค่าที่ไม่จำเป็นที่ได้จากการคำนวณโดยใช้ค่าระบุนของแท่งเทียบมาตรฐานสำหรับค่าของความยาวคลื่นทั้งสามความยาวคลื่นแสง เพราะฉะนั้นค่าระบุนเป็น

$$\begin{aligned} G_N &= \frac{\lambda_1}{2}(N_1 + \mathcal{E}_1) \\ G_N &= \frac{\lambda_2}{2}(N_2 + \mathcal{E}_2) \\ G_N &= \frac{\lambda_3}{2}(N_3 + \mathcal{E}_3) \end{aligned} \quad (2.4)$$

เมื่อ

- $G_N$  = ค่าความยาวแท่งเทียบมาตรฐานที่ระบุน
- $N$  = เลขจำนวนเต็มของครึ่งความยาวคลื่นในค่าความยาวแท่งเทียบมาตรฐานระบุน
- $\mathcal{E}$  = เศษส่วนฟริ่งจสำหรับความยาวคลื่นใดๆ ที่ได้จากการคำนวณความยาวแท่งเทียบมาตรฐาน  $G_N$

$$G - G_N = \frac{\lambda}{2} [(n - N) + (f - \mathcal{E})] \quad (2.5)$$

สมมติให้ค่าเศษส่วนพริงจที่วัดได้ (f) เป็น  $f_1 = 0.23$ ;  $f_2 = 0.33$  และ  $f_3 = 0.71$  และค่าที่คำนวณได้ของ  $\epsilon$  เป็น  $\epsilon_1 = 0.94$ ;  $\epsilon_2 = 0.44$ ;  $\epsilon_3 = 0.52$  สำหรับทั้งสามความยาวคลื่นสีแดง สีเขียว และสีม่วงโดยลำดับ แทนค่าลงใน(2.5) จะได้

$$\begin{aligned} G - G_N &= \frac{0.643}{2} [(n_1 - N_1) + (0.23 - 0.94)] \mu\text{m} \\ &= \frac{0.508}{2} [(n_2 - N_2) + (0.33 - 0.44)] \mu\text{m} \\ &= \frac{0.467}{2} [(n_3 - N_3) + (0.71 - 0.52)] \mu\text{m} \end{aligned} \quad (2.6)$$

$$\begin{aligned} \therefore G - G_N &= \frac{0.643}{2} [(n_1 - N_1) + (0.29)] \mu\text{m} \text{ note : } (1 - 0.71) = 0.29 \\ &= \frac{0.508}{2} [(n_2 - N_2) + (0.89)] \mu\text{m} \text{ note : } (1 - 0.11) = 0.89 \\ &= \frac{0.467}{2} [(n_3 - N_3) + (0.19)] \mu\text{m} \end{aligned} \quad (2.7)$$

ค่า  $(n_1 - N_1)$ ,  $(n_2 - N_2)$  และ  $(n_3 - N_3)$  เป็นค่าที่ยังไม่ทราบค่า แต่ทราบว่าต้องเป็นจำนวนเต็ม และมีค่าน้อยๆ เมื่อใช้วิธีทดสอบค่า (trial and error) พบว่า

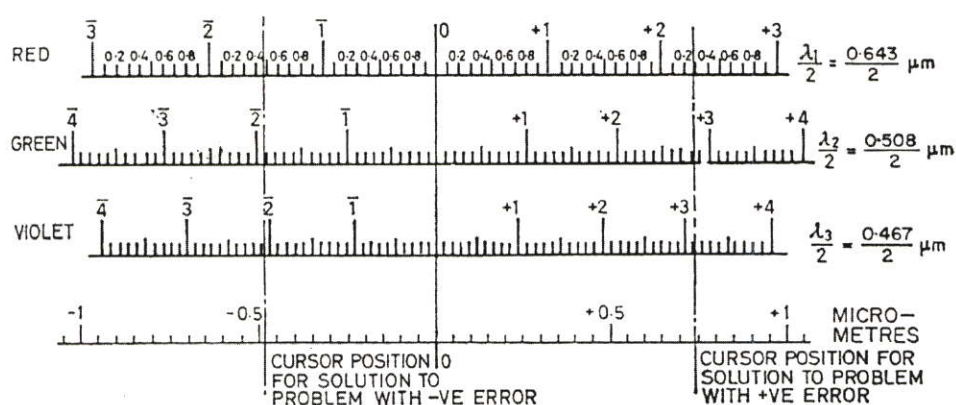
$$\begin{aligned} (n_1 - N_1) &= 2 \\ (n_2 - N_2) &= 2 \\ (n_3 - N_3) &= 3 \end{aligned} \quad (2.8)$$

เมื่อแทนค่าเหล่านี้ลงในสมการ (2.7) พบว่าได้ผลใกล้เคียงกัน ผลการคำนวณตามขั้นตอนข้างต้น สำหรับ  $G_N = 3.0 \text{ mm}$  สามารถสรุปได้ดังตารางที่ 2.2

ตารางที่ 2.2 ผลการคำนวณค่าเฉลี่ยความผิดพลาดจากเครื่องพิตเตอร์ เอ็นพีแอล อินเตอร์เฟอริมิเตอร์

1	2	3	4	5	6	7
ความยาวคลื่น ( $\lambda$ ) $\mu\text{m}$	เศษส่วนฟริ่งจ์ (f) ที่วัดได้ $\mu\text{m}$	ค่า $\frac{\lambda}{2}$ ที่ขนาด 3.0 มม.	เศษส่วนฟริ่งจ์ จากการคำนวณ $\mu\text{m}$	คอลัมน์ 2 - คอลัมน์ 4 $\mu\text{m}$	เทียบ สเกล $\mu\text{m}$	ค่าเฉลี่ย ความ ผิดพลาด
0.643(สีแดง)	0.23	9318.9354	0.94	0.29	2.29	0.74 $\mu\text{m}$
0.508(สีเขียว)	0.33	11 796.44192	0.44	0.89	2.84	
0.467(สีม่วง)	0.71	12 825.5165	0.52	0.19	3.13	

ค่าที่แสดงในคอลัมน์ที่ 6 และ 7 ได้จากการเทียบสเกล เป็นวิธีที่ง่ายที่สุดในการได้มาซึ่งจำนวนค่าครึ่งความยาวคลื่นและเศษส่วนต่างๆ ทั้งหมด ซึ่งมีค่าความผิดพลาดของแท่งเทียบมาตรฐานรวมอยู่ด้วย เพราะฉะนั้นจะใช้บรรทัดคำนวณในรูปที่ 2.6 ที่ความยาวคลื่นสีแดง สีเขียว และสีม่วงเทียบสเกลที่จุดศูนย์ ค่าที่ได้จากตารางในคอลัมน์ที่ 5 เมื่อทำโดยใช้บรรทัดคำนวณจะได้ค่าดังแสดงในคอลัมน์ที่ 6 ที่สเกลด้านล่างของบรรทัดคำนวณมีขีดสเกลเท่ากับ 1 ไมโครเมตรและแนวเส้นทาบผ่านค่า 2.29, 2.84 และ 3.13 ที่สเกลความยาวคลื่นจะตัดเส้นสเกลที่ 0.74 ไมโครเมตร ซึ่งเป็นค่าความผิดพลาดของความสูงของแท่งเทียบมาตรฐาน



รูปที่ 2.6 สเกลของบรรทัดคำนวณครึ่งความยาวคลื่นที่ใช้กับเครื่องพิตเตอร์ อินเตอร์เฟอริมิเตอร์

ในทางปฏิบัติพบว่าค่าของ  $f$  ไม่สามารถอ่านได้ดีไปกว่า 0.05 ของช่องว่างฟริ่งจ์ รวมถึงเศษส่วนน้อยๆ ที่ไม่ตรงกันกับเศษส่วนฟริ่งจ์ในช่องที่ 6 เปรียบเทียบกับเศษส่วนฟริ่งจ์ในช่องที่ 5 เพราะว่าผลลัพธ์ค่าความผิดพลาดเชิงเส้นจากการตรวจวัดในลำดับนี้จะน้อยกว่า 0.02 ไมโครเมตร มากจึงสามารถยอมรับได้

สังเกตว่าหน่วยที่ครึ่งความยาวคลื่นที่ด้านลบของสเกลเป็น  $k$  นั่นคือจำนวนเต็มมีค่าเป็นลบแต่เศษส่วนฟริงจ์จะยังคงเป็นบวกเมื่อพิจารณาที่แนวเส้นเคอร์เซอร์แสดงไปทางซ้ายของจุดศูนย์ค่าระยะจัดตามลำดับดังนี้

$$\text{สีแดง } 2.48 = (-2 + 0.48) = -1.52 \text{ half wavelengths}$$

$$\text{สีเขียว } 2.09 = (-2 + 0.09) = -1.91 \text{ half wavelengths}$$

$$\text{สีม่วง } 3.92 = (-3 + 0.92) = -2.08 \text{ half wavelengths}$$

ดังนั้นค่าความผิดพลาดแห่งเทียบมาตรฐานเท่ากับค่าต่างๆข้างบนที่ได้คูณด้วยครึ่งความยาวคลื่นตามลำดับ

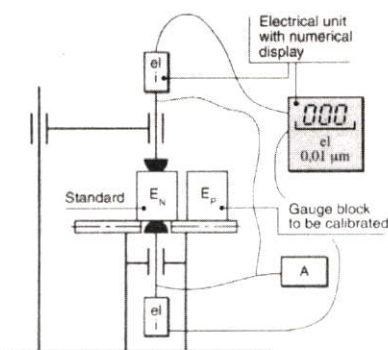
$$\therefore \text{Error} = \left\{ \begin{array}{l} -1.52 \times \frac{0.643}{2} \mu\text{m} = -0.488 \mu\text{m} \\ -1.91 \times \frac{0.508}{2} \mu\text{m} = -0.485 \mu\text{m} \\ -2.08 \times \frac{0.467}{2} \mu\text{m} = -0.486 \mu\text{m} \end{array} \right\} \quad (2.9)$$

$$\text{ดังนั้นค่าผิดพลาดเฉลี่ย} = -0.486 \mu\text{m}$$

### 2.5.2 การถ่ายทอดค่าความถูกต้องด้วยเครื่องเกจบล็อกอินเตอร์เฟอริมิเตอร์ ความยาวคลื่นเดียว

ในการการถ่ายทอดค่าความถูกต้องด้วยเครื่องเกจบล็อกอินเตอร์เฟอริมิเตอร์ความยาวคลื่นเดียว มีเทคนิคที่สำคัญคือจำเป็นต้องใส่ค่าความถูกต้องของแท่งเทียบมาตรฐานที่ต้องการวัดในระดับ  $0.01 \mu\text{m}$  ก่อน ด้วยวิธีการวัดแบบเปรียบเทียบ ซึ่งจะเรียกว่าค่า Pre-measurement หรืออาจใช้ผลการสอบเทียบครั้งก่อน โดยใช้เครื่องวัดเปรียบเทียบเทียบแท่งเทียบมาตรฐาน

เครื่องวัดเปรียบเทียบแท่งเทียบมาตรฐาน (Gauge Block Comparator) ลักษณะของเครื่องสอบเทียบมาตรฐานประกอบด้วย เฟรม แท่นวาง แท่งเทียบมาตรฐาน ทรานส์มิชเชอร์ สไลด์สบน และล่าง แอมพลิไฟล์



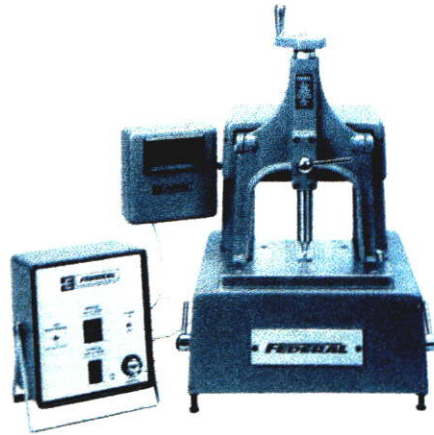
รูปที่ 2.7 โครงสร้างของเครื่องวัดเปรียบเทียบแท่งเทียบมาตรฐาน

หลักการสอบเทียบแท่งเทียบมาตรฐาน โดยใช้เครื่องวัดเปรียบเทียบแท่งเทียบมาตรฐาน ดังรูป 2.7 ต้องคำนึงถึงระดับชั้นของแท่งเทียบมาตรฐานเป็นสำคัญ หลักการนี้ใช้วิธีการเปรียบเทียบโดยใช้แท่งเทียบมาตรฐานระดับสูงกว่า (ระดับ K) มาเปรียบเทียบกับระดับชั้นที่ต่ำกว่า ตั้งแต่ 0, 1 และ 2 ตามลำดับ ค่าผลลัพธ์ที่ได้เป็นค่าแตกต่างระหว่างมาตรฐานกับตัวอย่างที่ต้องการทราบค่า จากการวัดด้วยเครื่องสอบเทียบแท่งเทียบมาตรฐาน ดังรูปที่ 2.8 สามารถคำนวณค่าผลต่างของความยาวของแท่งเทียบมาตรฐานที่อุณหภูมิใดๆ ได้จากสมการ

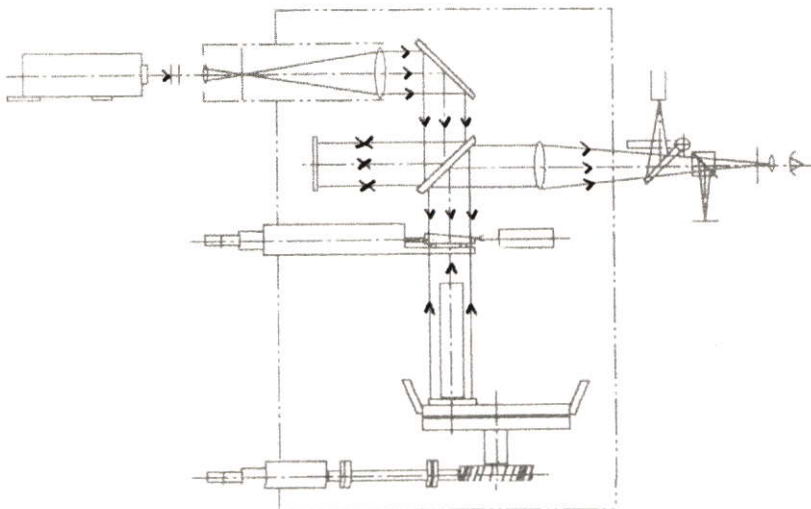
$$d\ell = L(1 + \alpha\Delta T) - L_0 \quad (2.10)$$

เมื่อ

- $d\ell$  = ผลต่างระหว่างค่าความยาวแท่งเทียบมาตรฐานที่อุณหภูมิใดๆ กับความยาวแท่งเทียบมาตรฐานที่อุณหภูมิ  $20^\circ\text{C}$
- $L_0$  = ความยาวแท่งเทียบมาตรฐานที่อุณหภูมิ  $20^\circ\text{C}$
- $\alpha$  = สัมประสิทธิ์การขยายตัวของวัสดุ
- $\Delta T$  = ผลต่างระหว่างอุณหภูมิใดๆ กับอุณหภูมิที่  $20^\circ\text{C}$
- $L$  = ความยาวแท่งเทียบมาตรฐานที่ระบุ



รูปที่ 2.8 เครื่องวัดปริมาตรเชิงเปรียบเทียบมาตรฐาน



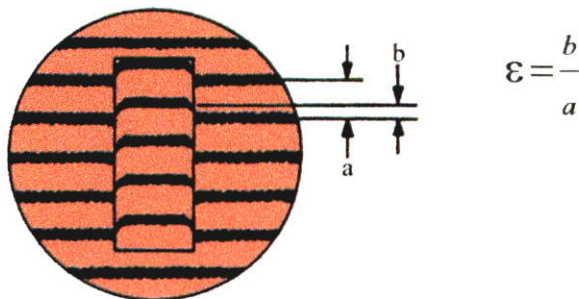
รูปที่ 2.9 รางเดินแสงของเครื่องเกจบล็อกอินเตอร์เฟอริมิเตอร์

เมื่อทราบค่า Pre-measurement แล้วนำค่าที่ได้มาเป็นค่าเปรียบเทียบในการหาค่าความถูกต้องที่ได้จากเครื่องเกจบล็อกอินเตอร์เฟอริมิเตอร์ โดยใช้หลักการแทรกสอดทางแสงของไมเคลิสัน ดังรูปที่ 2.9 มีแสงเลเซอร์ฮีเลียม-นีออนเป็นแหล่งกำเนิดที่มีความยาวคลื่น  $632.990844 \text{ nm}$  ลำแสงนี้จะถูกส่งผ่านแผ่นความยาวคลื่นเพื่อปรับแนวโพลาไรซ์ของแสงออกได้คอลลิเมเตอร์ทำหน้าที่ขยายลำแสงจากเส้นผ่านศูนย์กลาง  $1 \text{ mm}$  ให้มีขนาดใหญ่ขึ้นเป็น  $45 \text{ mm}$  ซึ่งมีขนาดลำแสงครอบคลุมทั่วผิวหน้าแท่งเทียบมาตรฐานที่ต้องการวัดลำแสงที่ผ่านเลนส์ออกได้คอลลิเมเตอร์จะถูกส่งผ่านไปยังกระจกสะท้อน โดยปรับให้ลำแสงสะท้อนผ่านผลึกแยกลำแสง ลำแสงจะถูกแยกออกเป็น 2 ส่วน แต่แต่ละส่วนจะมีความเข้มลดลง 50% ของลำแสงที่ส่งผ่านและความเข้มที่ถูกแยกออกที่มีความเข้มเท่ากัน ลำแสงส่วนที่ 1 สะท้อนไปยังกระจกที่ยึดอยู่กับที่ และลำแสงส่วนที่ 2 สะท้อนไปยังกระจก

เบสเฟลตที่ประกบกับแท่งเทียบมาตรฐานที่ต้องการวัด หลังจากนั้นลำแสงทั้ง 2 ส่วนจะสะท้อนกลับมายังหลักแยกลำแสงอีกครั้งเสมือนกับมีแหล่งกำเนิด 2 แหล่งมารวมกัน ทำให้เกิดฟริ่งจ์ซึ่งสังเกตได้จากช่องมองภาพ .

### 2.5.3 การวิเคราะห์เศษส่วนฟริ่งจ์ (The Fraction fringe method)

การวัดความยาวแท่งเทียบมาตรฐานต้องวิเคราะห์เศษส่วนฟริ่งจ์ที่ปรากฏอยู่บนเบสเฟลตรอบแท่งเทียบมาตรฐานกับบนผิวปลายอีกด้านหนึ่งของแท่งเทียบมาตรฐานรูปที่ 2.10 จากรูปจะเห็นว่ามีการเหลื่อมกันระหว่างฟริ่งจ์ที่ปรากฏบนเบสเฟลตกับฟริ่งจ์ที่ปรากฏบนแท่งเทียบมาตรฐาน และสามารถแสดงกราฟความสัมพันธ์ระหว่างความเข้มแสงที่ตกกระทบบนเบสเฟลตและแท่งเทียบมาตรฐานดังรูปที่ 2.11



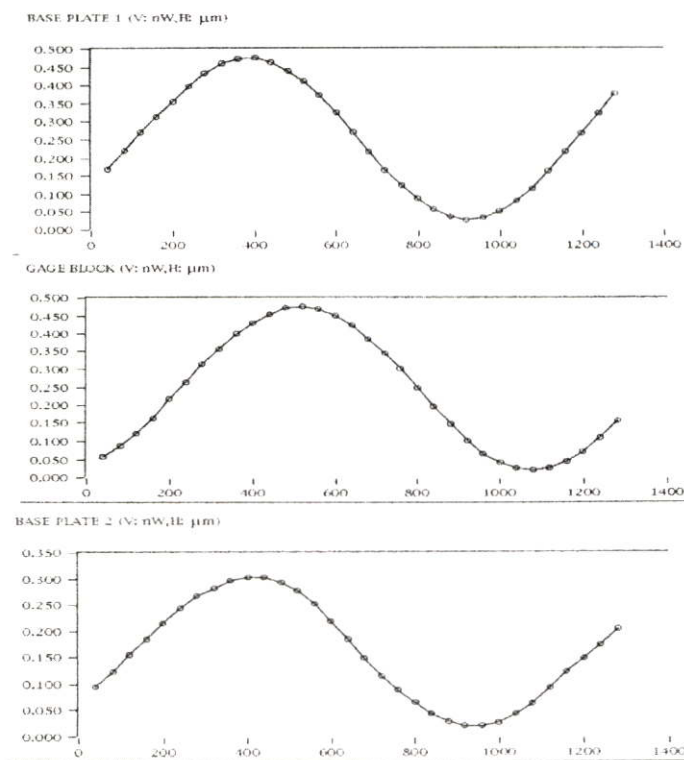
รูปที่ 2.10 การวัดเศษส่วนฟริ่งจ์บนเบสเฟลตและแท่งเทียบมาตรฐาน

ความยาวของแท่งเทียบมาตรฐานสามารถหาได้จากการคำนวณฟริ่งจ์ที่เกิดจากการแทรกสอดของแสงบนเบสเฟลตและแท่งเทียบมาตรฐานคูณกับครึ่งหนึ่งของความยาวคลื่นแสง ซึ่งจำนวนฟริ่งจ์ที่สมนัยกับความยาวแท่งเทียบมาตรฐานที่คำนวณได้จะมีค่าเป็นเลขทศนิยม ซึ่งไม่สามารถทราบความยาวที่แท้จริงได้ ดังนั้นในการวัดด้วยวิธีการแทรกสอดทางแสงจะเป็นการหาค่าเศษส่วนฟริ่งจ์บนเบสเฟลตกับฟริ่งจ์บนแท่งเทียบมาตรฐาน ในที่นี้เศษส่วนฟริ่งจ์มีค่า  $\frac{b}{a}$  ดังนั้นความยาวของแท่งเทียบมาตรฐานจะมีค่า

$$L = \frac{\lambda_v}{2n} \left( N + \frac{b}{a} \right) \quad (2.11)$$

เมื่อ

- $L$  = ความยาวแท่งเทียบมาตรฐานที่ระบุ  
 $n$  = ค่าดัชนีหักเหของอากาศ  
 $\lambda_v$  = ความยาวคลื่นแสงในสุญญากาศ =  $n\lambda$   
 $\lambda$  = ความยาวคลื่นแสงที่ใช้ในการวัด(ในอากาศ)  
 $N$  = จำนวนเต็มของฟริ่งจ์ที่สมนัยกับความยาวของแท่งเทียบมาตรฐาน  
 $b$  = ระยะห่างระหว่างแถบมืดบนเบสเพลตกับแถบมืดบนแท่งเทียบมาตรฐาน  
 $a$  = ระยะระหว่างแถบมืดบนเบสเพลต

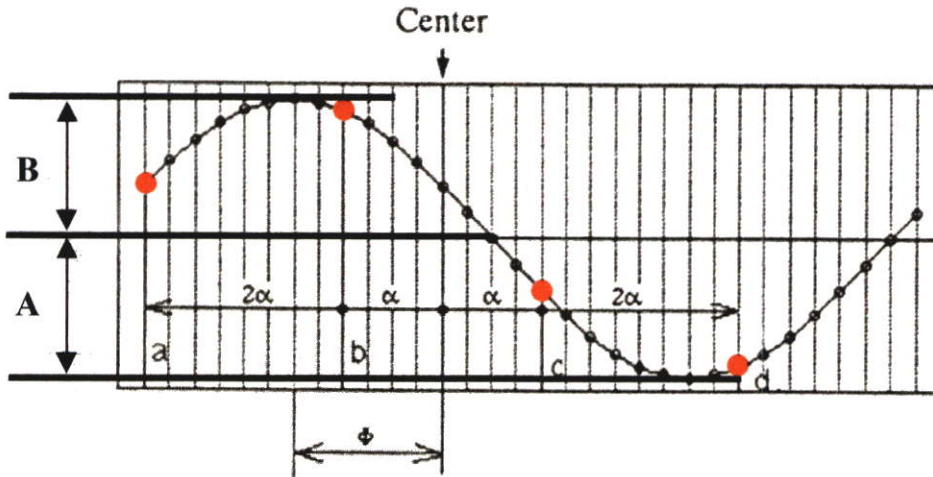


รูปที่ 2.11 กราฟความสัมพันธ์ระหว่างความเข้มแสงกับระยะการเคลื่อนที่ของลิ้มกระจก

จากกราฟความสัมพันธ์ในรูปที่ 2.11 เป็นการวัดระยะที่ลิ้มกระจกเคลื่อนที่ด้วยชุดวัดระยะลิเนียร์เกจ ประมาณ 1 mm ของการเคลื่อนที่ของลิ้มกระจก ซึ่งแบ่งจุดการสแกนฟริ่งจ์เป็นจำนวน 32 จุด มีระยะห่างในการสแกนฟริ่งจ์แต่ละจุดเท่ากับ 40  $\mu\text{m}$  ฉะนั้นระยะทางที่ลิ้มกระจกเคลื่อนที่เท่ากับ 1280  $\mu\text{m}$  ทั้งบนเบสเพลตและบนแท่งเทียบมาตรฐาน

### 2.5.4 การสแกนฟริ่ง (Fringe scanning)

การสแกนฟริ่งเป็นขั้นตอนหนึ่งในการวิเคราะห์เศษส่วนฟริ่งโดยการกำหนดจุดตรวจวัดความเข้มแสงบนแนวฟริ่ง



รูปที่ 2.12 แผนผังการสแกนฟริ่ง

หลักการสแกนฟริ่ง จากรูปที่ 2.12 ให้ A และ B เป็นแอมพลิจูดของคลื่น โดยมีตำแหน่ง a, b, c, d เป็นเฟสที่จุดต่างๆ ของคลื่น สามารถทราบค่าได้จากการตรวจวัดความเข้มแสงตลอดแนวฟริ่ง โดยกำหนดให้ระยะตั้งแต่จุด a จนถึงจุด b ตั้งแต่จุด b จนถึงจุด c และตั้งแต่จุด c จนถึงจุด d มีช่วงเฟสต่างเท่ากับ  $2\alpha$  โดยใช้จุดกึ่งกลางระหว่างจุด b และ c เป็นจุดกึ่งกลางในการสแกนฟริ่ง และค่ามุมเฟส ( $\phi$ ) เป็นระยะจากจุดกึ่งกลาง (Center) ถึงระยะจุดสูงสุดของยอดคลื่นในการสแกนฟริ่งไปจนถึงจุดตรวจวัดความเข้มแสงสูงสุดของรูปคลื่น ตามความสัมพันธ์ของสมการต่อไปนี้ [5].

$$\phi = \arctan \sqrt{\frac{np}{m^2}} \quad (2.12)$$

เมื่อ

$$m = -a+b+c-d = 8B \cos\phi \sin^2\alpha \cos\alpha \quad (2.13)$$

$$n = -a+3b-3c+d = 8B \sin\phi \sin^3\alpha \quad (2.14)$$

$$p = a+b-c-d = 8B \sin\phi \sin\alpha \cos^2\alpha \quad (2.15)$$

เมื่อ

$$a = A + B \cos(\phi - 3\alpha) \quad (2.16)$$

$$b = A + B \cos(\phi - \alpha) \quad (2.17)$$

$$c = A + B \cos(\phi + \alpha) \quad (2.18)$$

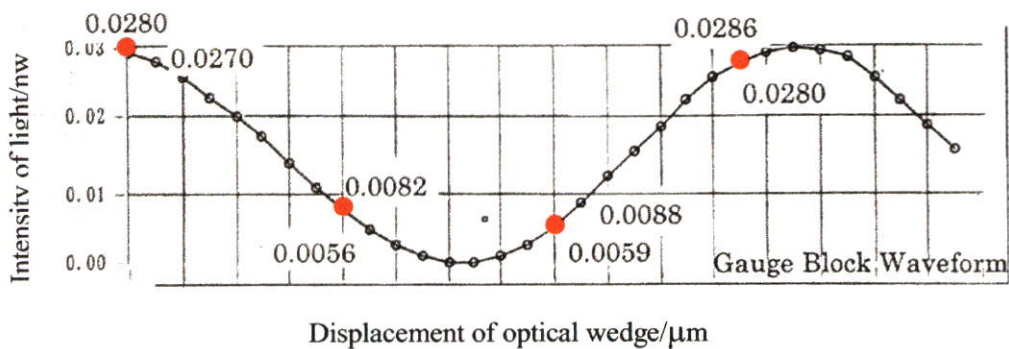
$$d = A - B \cos(\phi + 3\alpha) \quad (2.19)$$

เมื่อแทนค่าตัวแปร  $a, b, c$  และ  $d$  ลงใน สมการ (2.12)  $m, n,$  และ  $p$  จะได้ค่ามุมเฟสเท่ากับ  $\tan^2 \phi = np/m^2$

$$\varepsilon = \frac{\left( \frac{\phi_{bL} + \phi_{bR}}{2} - \phi_g \right)}{2\pi} \quad (2.20)$$

เมื่อ  $\phi_{bL}, \phi_{bR}$  และ  $\phi_g$  เป็นเฟสของฟรินจ์ที่ปรากฏบนเบสเพลตซ้ายขวาและบนแท่งเทียบมาตรฐาน สมการที่เป็นการคำนวณหาเศษส่วนฟรินจ์จากการผลต่างมุมเฟสระหว่างแท่งเทียบมาตรฐานกับเบสเพลตที่ระยะขจัด  $2\pi$  หรือประมาณ  $1 \lambda$

ตัวอย่างการคำนวณเศษส่วนฟรินจ์ เมื่อความเข้มแสงที่ตรวจวัดจากเครื่องวัดความเข้มแสงบนแท่งเทียบมาตรฐาน โดยที่ความเข้มแสงที่จุด  $a = 0.0280 \text{ nw}, b = 0.0082 \text{ nw}, c = 0.0059 \text{ nw}, d = 0.0280 \text{ nw}$



รูปที่ 2.13 กราฟความสัมพันธ์ระหว่างความเข้มแสงกับระยะขจัดลิ้มกระจกของแท่งเทียบมาตรฐาน

$$\begin{aligned} m &= -a+b+c-d & (2.21) \\ &= -0.0280+0.0082+0.0059-0.0280 \\ &= -0.0419 \end{aligned}$$

$$n = -a+3b-bc+d \quad (2.22)$$

$$= -0.0280 + (3 \times 0.0082) - (0.0082 \times 0.0059) + 0.0280$$

$$= 0.0069$$

$$P = a + b - c - d \quad (2.23)$$

$$= 0.0280 + 0.0082 - 0.0059 - 0.0280$$

$$= 0.0023$$

$$\phi_g = \arctan \sqrt{\frac{nP}{m^2}}$$

$$\therefore = \arctan \sqrt{\frac{(0.0069 \times 0.0023)}{0.0419^2}} \quad (2.24)$$

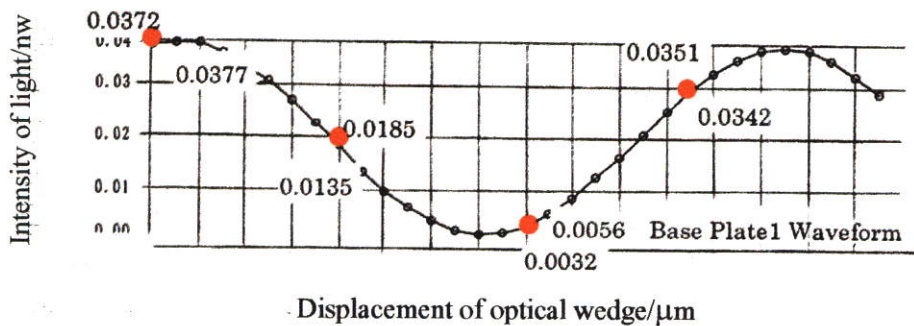
$$= 0.948 \text{ rad}$$

$$\phi_g = \frac{0.948 \text{ rad}}{\pi} \times 180 \quad (2.25)$$

$$= 5.43 \text{ deg}$$

ความเข้มแสงที่ตรวจวัดจากเครื่องวัดความเข้มแสงบนเบสเพลต 1 โดยที่ความเข้มแสงที่

จุด a = 0.0372 nw, b = 0.0185 nw, c = 0.0032 nw, d = 0.0342 nw



รูปที่ 2.14 กราฟความสัมพันธ์ระหว่างความเข้มแสงกับระยะทางของลิ้มกระจกของเบสเพลต 1

$$m = -a+b+c-d \quad (2.26)$$

$$= -0.0372+0.0185+0.0032-0.0342$$

$$= -0.0497$$

$$n = -a+3b-bc+d \quad (2.27)$$

$$\begin{aligned} &= -0.0372 + (3 \times 0.0185) - (0.0185 \times 0.0032) + 0.0342 \\ &= 0.0429 \end{aligned}$$

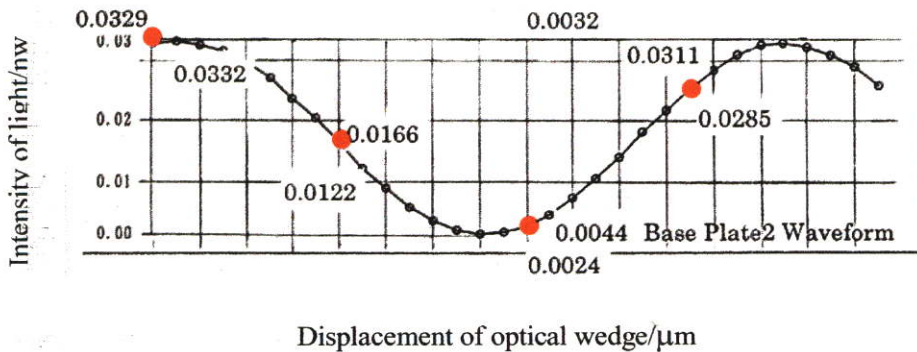
$$P = a + b - c - d \quad (2.28)$$

$$\begin{aligned} &= 0.0372 + 0.0185 - 0.0032 - 0.0342 \\ &= 0.0183 \end{aligned}$$

$$\begin{aligned} \phi_{bL} &= \arctan \sqrt{\frac{nP}{m^2}} \\ \therefore &= \arctan \sqrt{\frac{(0.0429 \times 0.0183)}{(-0.0497)^2}} \quad (2.29) \\ &= 0.51335 \text{ rad} \end{aligned}$$

$$\begin{aligned} \phi_{bL} &= \frac{0.51335 \text{ rad}}{\pi} \times 180 \quad (2.30) \\ &= 29.41 \text{ deg} \end{aligned}$$

ความเข้มแสงที่ตรวจวัดจากเครื่องวัดความเข้มแสงบนเบสเพลต 2 โดยที่ความเข้มแสงที่จุด a = 0.0329 nw, b = 0.0166 nw, c = 0.0024 nw, d = 0.0285 nw



รูปที่ 2.15 กราฟความสัมพันธ์ระหว่างความเข้มแสงกับระยะทางของลิ้มกระจกของเบสเพลต 2

$$m = -a+b+c-d \quad (2.31)$$

$$= -0.0329+0.0166+0.0024-0.0285$$

$$= -0.0424$$

$$\begin{aligned}
 n &= -a+3b-bc+d & (2.32) \\
 &= -0.0329+ (3 \times 0.0166) - (0.0166 \times 0.0024)+0.0285 \\
 &= 0.0382
 \end{aligned}$$

$$\begin{aligned}
 P &= a + b - c - d & (2.33) \\
 &= 0.0329+0.0166-0.0024- 0.0285 \\
 &= 0.0186
 \end{aligned}$$

$$\begin{aligned}
 \phi_{bR} &= \arctan \sqrt{\frac{nP}{m^2}} \\
 \therefore &= \arctan \sqrt{\frac{(0.0382 \times 0.0186)}{(-0.0424)^2}} & (2.34) \\
 &= 0.56123 \text{ rad}
 \end{aligned}$$

$$\begin{aligned}
 \phi_{bR} &= \frac{0.56123 \text{ rad}}{\pi} \times 180 & (2.35) \\
 &= 32.16 \text{ deg}
 \end{aligned}$$

ค่าเศษส่วนพริ้งจี้ที่คำนวณได้จากกราฟความสัมพันธ์ของความเข้มแสงกับความต่างเฟส จะได้

$$\begin{aligned}
 \frac{b}{a} &= \frac{\left( \frac{(29.41 + 32.16)}{2} - 5.43 \right)}{2\pi} & (2.36) \\
 &= 0.07 \mu\text{m}
 \end{aligned}$$

### 2.5.5 ผลกระทบจากสภาวะแวดล้อม (Environmental Effects)

เทคนิคการวัดนี้จะต้องมีการควบคุมสภาวะอากาศให้เหมาะสมที่อุณหภูมิ  $(20 \pm 0.5) ^\circ\text{C}$ , ความชื้นสัมพัทธ์  $(50 \pm 15)\%$  และความดันบรรยากาศ  $(1013 \pm 50) \text{ hPa}$  เป็นองค์ประกอบของค่าดัชนีหักเหของอากาศ ซึ่งมีผลต่อความยาวคลื่นแสง เพื่อเป็นการลดค่าความผิดพลาดของการถ่ายทอดค่าความถูกต้องแห่งเทียบมาตรฐานไปจากอุณหภูมิ  $20^\circ\text{C}$  และเป็นสาเหตุที่ทำให้ค่าความไม่แน่นอนของแห่งเทียบมาตรฐานสูงขึ้น อันเนื่องมาจากผลกระทบจากสภาวะอากาศแวดล้อม ดังนั้นจึงจำเป็นต้องมีการจัดเตรียมแห่งเทียบมาตรฐานและเครื่องเก็บล็อกอินเตอร์เฟรอมิเตอร์ให้อยู่ใน

สถานะที่ใกล้เคียงกับเงื่อนไขที่กำหนด ซึ่งช่วงเวลาที่เหมาะสมสำหรับการวางแท่งเทียบมาตรฐานเพื่ออุณหภูมิคงที่ (Thermal Equalization Time) หลังทำความสะอาดเรียบร้อยแล้วแสดงค่าดังตารางที่ 2.3 รวมทั้งควบคุมพื้นที่ใช้งานให้ปราศจากฝุ่นละออง

**ตารางที่ 2.3** ช่วงเวลาที่วางแท่งเทียบมาตรฐานเพื่ออุณหภูมิคงที่

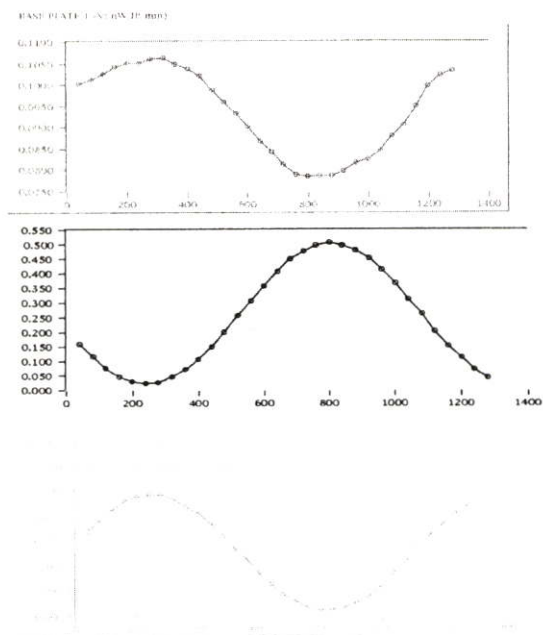
ขนาดของแท่งเทียบมาตรฐาน, mm	ช่วงเวลาเพื่อให้อุณหภูมิเท่ากัน, นาที
0.5 – 6.5	30
7.5 – 25	60
50 – 100	90

จากสมการที่ 2.37 ซึ่งเป็นสมการคำนวณค่าดัชนีหักเหอากาศ ที่มีผลกระทบของสถานะอากาศ สามารถหาค่าดัชนีหักเหอากาศได้โดยแทนค่าอุณหภูมิ ความชื้นสัมพัทธ์ และความดันบรรยากาศที่วัดได้ ดังนี้

$$\begin{aligned}
 (n-1) \times 10^8 = & \left[ 8342.54 + \frac{2406147}{130 - (\gamma / \mu\text{m}^{-1})^2} + \frac{15998}{38.9 - (\gamma / \mu\text{m}^{-1})^2} \right] \\
 & \times \left[ \frac{p / \text{Pa}}{96095.43} \right] \left[ \frac{1 + 10^{-8} (0.601 - 0.00972t / ^\circ\text{C}) (p / \text{Pa})}{1 + 0.0036610(t / ^\circ\text{C})} \right] \\
 & - R [8.753 + 0.036588(t / ^\circ\text{C})] [0.037345 - 0.000401(\gamma / \mu\text{m}^{-1})^2]
 \end{aligned} \tag{2.37}$$

เมื่อ

- $n$  = ดัชนีหักเห
- $\gamma$  = จำนวนคลื่นในสูญญากาศ
- $P$  = ความดันบรรยากาศ, Pa
- $t$  = อุณหภูมิ,  $^{\circ}\text{C}$
- $R$  = ความชื้นสัมพัทธ์, %RH



**รูปที่ 2.16** กราฟความสัมพันธ์ระหว่างความเข้มแสงกับระยะการเคลื่อนที่ของลิ่มกระจกที่มีผลกระทบจากการเปลี่ยนแปลงสถานะอากาศ

รูปที่ 2.16 แสดงให้เห็นถึงผลกระทบเนื่องจากอุณหภูมิ และความสะอาดซึ่งส่งผลทำให้ค่าดัชนีหักเหของอากาศเปลี่ยนไปและมีผลต่อความเข้มแสงคลื่น ทำให้รูปคลื่นชายน้อออกมาไม่ราบรื่นเป็นผลให้ค่าการวัดครั้งนั้นผิดพลาดไป

**ตารางที่ 2.4** สัมประสิทธิ์การขยายตัวของวัสดุที่อุณหภูมิ

Material	$\alpha \times 10^{-6}/^{\circ}\text{C}$
อินวา (นิกเกิล36%, ไโอออน64%)	1.2
อลูมิเนียม	23
เหล็ก	10 – 15
ทิตาเนียม	8.6
ทังสแตน	4.5

วัสดุที่ใช้ทำแท่งเทียบมาตรฐานจะมีสัมประสิทธิ์การขยายตัวค่าหนึ่ง ความยาวของแท่งเทียบมาตรฐานก็จะเปลี่ยนไปตามอุณหภูมิ ซึ่งการเปลี่ยนขนาดของวัสดุแต่ละชนิดมีการขยายตัวไม่เท่ากัน สำหรับแท่งเทียบมาตรฐานที่เป็นชนิดเหล็กมีค่าสัมประสิทธิ์การขยายตัวอยู่ในช่วง  $10 - 15 \times 10^{-6} / ^{\circ}\text{C}$  ซึ่งหากสถานะอากาศเปลี่ยนไปจาก  $20^{\circ}\text{C}$  ขนาดของแท่งเทียบการจะขยายตัวหรือหดตัว

ได้ ดังนั้นผลกระทบเนื่องจากการเปลี่ยนแปลงของอุณหภูมิสามารถคำนวณหาค่าความยาวของแท่งเทียบมาตรฐานที่อุณหภูมิ 20°C ได้จากสมการ

$$L_0 = \frac{\lambda_v}{2n} \left( N + \frac{b}{a} \right) (1 - \alpha(T - 20)) - (-dP) \quad (2.38)$$

เมื่อ

$$L_0 = \text{ความยาวแท่งเทียบมาตรฐานที่อุณหภูมิ } 20^\circ\text{C}$$

$$\frac{\lambda_v}{2n} \left( N + \frac{b}{a} \right) = \text{ความยาวของแท่งเทียบมาตรฐานที่อุณหภูมิ } T \text{ ใดๆ}$$

$$L_0 \alpha(T - 20) = \text{การขยายตัวของแท่งเทียบมาตรฐานอุณหภูมิ } T \text{ ใดๆ}$$

$$N = \text{ค่า pre-measurement หาด้วย } \frac{\lambda_v}{2n}$$

$$\frac{b}{a} = \text{ค่าเศษส่วนฟริงจ์ที่วัดได้จาก GBI}$$

-dP เป็นค่าความต่างเฟสของเบสเพลตที่ใช้เป็นวัสดุต่างชนิดกันกับแท่งเทียบมาตรฐาน เช่น แท่งเทียบมาตรฐานชนิดเหล็กประกบกับเบสเพลตชนิดแก้วจะมีค่าของความต่างเฟส เนื่องจากแสงที่ตกกระทบมายังเบสเพลตที่เป็นแก้วจะทะลุผ่านลงไปแล้วสะท้อนกลับขึ้นมา สำหรับงานวิจัยนี้เบสเพลตที่ใช้เป็นชนิดเหล็ก ซึ่งเป็นชนิดเดียวกับแท่งเทียบมาตรฐาน ฉะนั้นค่าความต่างเฟสเป็นศูนย์ จากสมการ 2.38 จะนำไปใช้ในการคำนวณหาค่าความถูกต้องและค่าความไม่แน่นอนของแท่งเทียบมาตรฐานจากเครื่องเกจบล็อกอินเตอร์ฟรอมิเตอร์ต่อไป

### บทที่ 3

## โครงสร้างเครื่องเอกซเรย์คอมพิวเตอร์ฟิโรมิเตอร์และอุปกรณ์

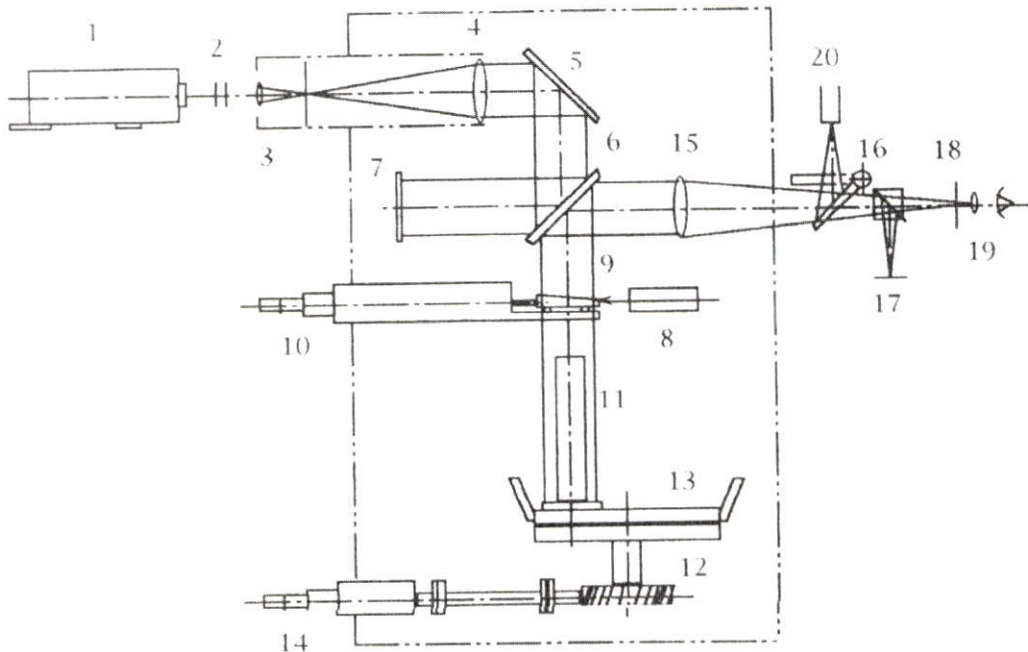
วิทยานิพนธ์นี้ใช้เครื่องเอกซเรย์คอมพิวเตอร์ฟิโรมิเตอร์ ศึกษาเกี่ยวกับการสอบเทียบแห่งชาติมาตรฐานด้วยเครื่องซึ่งเป็นเครื่องต้นแบบสำหรับถ่ายทอดค่าความถูกต้องจากมาตรฐานชั้นทุติยภูมิมาซึ่งมาตรฐานชั้นใช้งานในงานด้านมาตรวิทยา โดยใช้หลักการของไมเคิลสันอินเตอร์ฟิโรมิเตอร์ ใช้เลเซอร์ฮีเลียม-นีออนความยาวคลื่นแสง 632.990844 nm เป็นมาตรฐานอ้างอิง ระบบการทำงานของเครื่องเอกซเรย์คอมพิวเตอร์ฟิโรมิเตอร์เป็นระบบอัตโนมัติ ประกอบด้วย ระบบทางแสงและส่วนควบคุมอิเล็กทรอนิกส์ ส่วนประมวลผล รวมทั้งอุปกรณ์ต่างๆ โดยมีรายละเอียดดังจะกล่าวถึงต่อไป

ระบบการสอบเทียบด้วยเครื่องเอกซเรย์คอมพิวเตอร์ฟิโรมิเตอร์ที่ใช้ในวิทยานิพนธ์นี้ แสดงดังรูปที่ 3.1 ซึ่งมีรายละเอียดดังนี้



รูปที่ 3.1 เครื่องเอกซเรย์คอมพิวเตอร์ฟิโรมิเตอร์

### 3.1 ระบบทางแสงของเครื่องเกจบล็อกอินเตอร์เฟอโรมิเตอร์



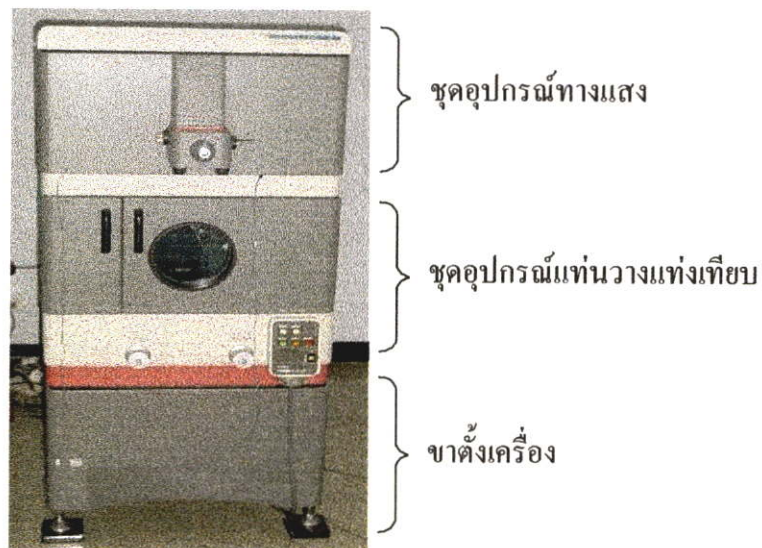
รูปที่ 3.2 หลักการทำงานของเครื่องเกจบล็อกอินเตอร์เฟอโรมิเตอร์

รายละเอียดอุปกรณ์ระบบทางแสงของเครื่องเกจบล็อกอินเตอร์เฟอโรมิเตอร์ มีดังนี้

1. He-Ne Laser Source	8. Linear Gauge	15. Observatory Telephoto Lens
2. Wave Plate	9. Optical Wedge	16. Light Path Switching Mirror
3. Condenser Lens	10. Wedge Drive Motor	17. Auto-Collimator System
4. Collimation Lens	11. Gauge Block to be measured	18. Pinhole
5. Refelected Mirror	12. Rotary Table	19. Eyepiece
6. Beam Splitter	13. Rotary Stage	20. Light Intensity Detection
7. Reference Mirror	14. Table Drive Motor	Fiber

ชุดอุปกรณ์และโครงสร้างภายในส่วนประกอบระบบทางแสงของเครื่องเกจบล็อกอินเตอร์เฟอโรมิเตอร์แสดงดังรูปที่ 3.2 เริ่มจากแหล่งกำเนิดแสงเลเซอร์ฮีเลียม-นีออน(1) เป็นแหล่งกำเนิดแสง ถูกติดตั้งอยู่ด้านหลังของชุดอินเตอร์เฟอโรมิเตอร์ดังรูปที่ 3.2 มีความยาวคลื่นแสงเท่ากับ 632.990844 nm กำลังขนาด 1.2 mw เส้นผ่านศูนย์กลางลำแสง 0.6 mm ระดับclass 3B(LIS-50) ผ่านตัว wave plate(2) ซึ่งทำหน้าที่ปรับระนาบโพลาไรซ์ของแสงเลเซอร์ผ่านมายังเลนส์รวมแสงและเลนส์กระจายแสงขนาด(3 และ 4) ทำหน้าที่เป็นชุดขยายลำแสงจากขนาดเส้นผ่านศูนย์กลาง 0.6 mm เป็นลำแสงขนานขนาดเส้นผ่านศูนย์กลาง

กลาง 45 mm เพื่อให้เกิดฟริ่งจ์เต็มพื้นที่ผิวของแท่งเทียบและสะท้อนกระจกเงา(5) ไปยังผลึกแยกลำแสงขนาด 50% เพื่อให้ลำแสงส่วนหนึ่งผ่านลิ้มกระจก(9) แทนการปรับมุมเอียงของแท่งเทียบมาตรฐาน ไปตกกระทบบนผิวของแท่งเทียบที่ประกบกับเบสเพลต(11) วางอยู่บนแท่นวาง(13) แล้วสะท้อนกลับมาเปรียบเทียบกับลำแสงอีกส่วนหนึ่งที่ถูกแบ่งออกไปตกกระทบยังกระจกเงา(7) ซึ่งเป็นหัวใจสำคัญในการทำให้เกิดการแทรกสอด และผ่านไปยังเลนส์รวมแสง(15) ซึ่งทำหน้าที่สะท้อนฟริ่งจ์ที่เกิดขึ้นไปยังตัวตรวจจับความเข้มแสง(20) และชุดมองภาพฟริ่งจ์ทางช่องมอง(16-19) ที่ใช้สำหรับมองภาพฟริ่งจ์ขณะทำการตรวจวัด โดยความเข้มแสงของฟริ่งจ์นี้และสภาวะสิ่งแวดล้อมจะตรวจวัดด้วย ระบบอิเล็กทรอนิกส์

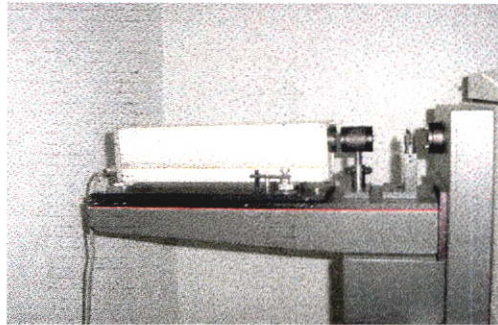


รูปที่ 3.3 โครงสร้างแชมเบอร์ภายนอกตัวเครื่องเกจบล็อกอินเตอร์เฟรอมิเตอร์

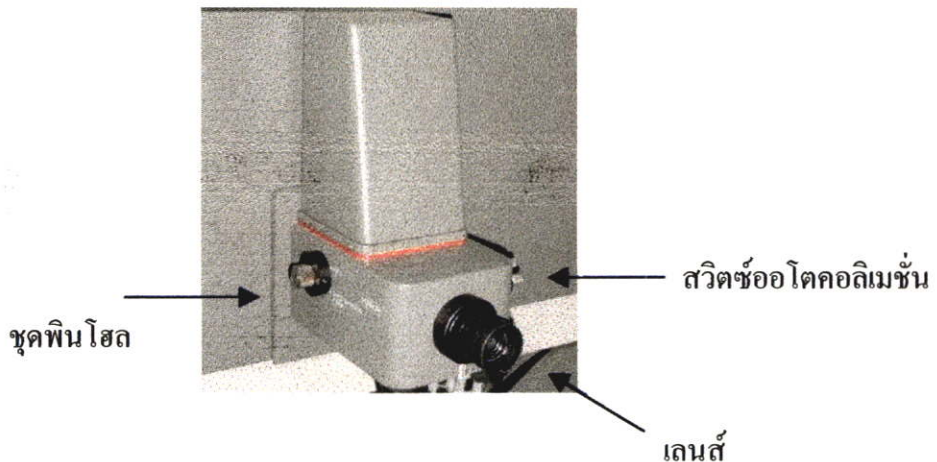
โครงสร้างแชมเบอร์ของเครื่องเกจบล็อกอินเตอร์เฟรอมิเตอร์ประกอบด้วย 3 ส่วนดังรูปที่ 3.3 ส่วนแรกเป็นชุดอุปกรณ์ทางแสงที่ทำให้เกิดการแทรกสอดจะอยู่ส่วนบน ส่วนที่สองเป็นแท่นติดตั้งแท่งเทียบมาตรฐานอยู่ส่วนกลางของเครื่อง และส่วนที่สามอยู่ข้างล่างซึ่งเป็นขาตั้งที่แยกจากกันเป็นขาตั้งลดความสั่นสะเทือนมีแผ่นยางรองกันสะเทือน 3 ชั้น ขาตั้งส่วนแท่นวางแท่งเทียบมาตรฐานมีสกรูสามารถปรับระดับของเครื่องทั้ง 4 ตัว ส่วนประกอบภายในมีอุปกรณ์ทางแสงและอุปกรณ์ต่อพ่วงกับชุดอิเล็กทรอนิกส์ดังกล่าวรายละเอียดต่อไป

### 3.1.1 ชุดกำเนิดแสงเลเซอร์

แหล่งกำเนิดแสงเลเซอร์ฮีเลียม-นีออนดังรูปที่ 3.4 เป็นแสงโพลาไรซ์แบบเชิงเส้นมีความยาวคลื่นแสงเท่ากับ 632.990844 nm กำลังขนาด 1.2 mw มีความยาวคลื่นแสงที่เสถียรเท่ากับ  $3 \times 10^{-9}$  เส้นผ่านศูนย์กลางลำแสง 0.6 mm ระดับclass 3B(LIS-50) ช่วงอุณหภูมิที่ใช้งานที่เหมาะสมระหว่าง 0 ถึง 40°C ซึ่งติดตั้งอยู่ด้านหลังเครื่องเกบลิ้อกอินเตอร์เฟรอมิเตอร์



รูปที่ 3.4 ชุดแหล่งกำเนิดแสงเลเซอร์ฮีเลียม-นีออน



รูปที่ 3.5 ชุดเลนส์ชุดพินโฮลและสวิตช์ออโตคอลลิเมชัน

### 3.1.2 ชุดมองภาพทางช่องมอง

3.1.2.1 ชุดเลนส์ ดังรูปที่ 3.5 ใช้สำหรับมองภาพพริ้งจ့်ที่เกิดการแทรกสอดหรือตรวจสอบแนวของแสงด้วยคอลลิเมเตอร์ฟังก์ชัน (Collimator Function) ต้องปรับ eyepiece ก่อนใช้งานโดยหมุนไดออปเตอร์แอดจัสต์เม้นท์ริงค์ (Diopter Adjustment Ring) ซึ่งเป็นแหวนปรับกำลังขยาย

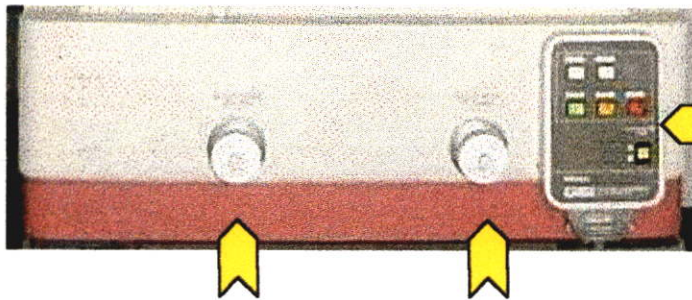
3.1.2.2 ชุดพินโฮลและสวิตช์ออคอลิเมชัน ดังรูปที่ 3.5 ใช้ปรับเพื่อเลือกตำแหน่ง

Auto/Fringe และ Autocollimation ดังนี้

- 1) ตำแหน่ง Auto/Fringe เพื่อวัดฟริ่งจ์
- 2) ตำแหน่ง Autocollimation เพื่อจัดแนวฟริ่งจ์ที่ปรากฏบนแท่งเทียบมาตรฐานกับเบสเพลตให้ตั้งฉากกับแนวแกนวัด

3.1.2.3 กานหมุนเลือกเลนส์ (Lens Switching Lever) ใช้ปรับเพื่อเลือกวัดแบบอัตโนมัติและวัดแบบคูฟริ่งจ์ วิธีเลือกปรับทำได้ดังนี้

- 1) ตำแหน่ง Auto/Fringe ให้หมุนสวิตช์มายังตำแหน่ง Auto/Fringe เป็นตัวปิดเปิดลำแสงและเป็นชุดตัวกรองแสงในการตรวจวัด ฟริ่งจ์ในช่องของระบบแสง
- 2) ตำแหน่ง Autocollimation ปรับให้สวิตช์อยู่ในตำแหน่ง Autocollimation เพื่อสวิตช์ปิดเปิดกระจกสำหรับช่องแสงที่ใช้ในการปรับระนาบแท่งเทียบมาตรฐาน



แผงควบคุมการหมุนแท่ง  
วางแท่งเทียบมาตรฐาน

ไมโครมิเตอร์ปรับระยะ  
พิทของแท่น

ไมโครมิเตอร์ปรับระยะ  
โรลของแท่น

รูปที่ 3.6 แผงควบคุมแท่นวางแท่งเทียบมาตรฐานของเครื่องเกจบล็อกอินเตอร์ฟีรอมิเตอร์

3.1.3 แผงควบคุมแท่นวางแท่งเทียบมาตรฐาน รูปที่ 3.6 ประกอบด้วย 2 ส่วน ส่วนแรกชุดปรับระยะแท่นวางแท่งเทียบมาตรฐาน และชุดควบคุมการหมุนแท่นวางแท่งเทียบมาตรฐาน (Table Rotation) มีปุ่มควบคุมการหมุนทิศทางของแท่นวางแท่งเทียบมาตรฐาน ดังรายละเอียดต่อไปนี้

3.1.3.1 ชุดปรับระยะแท่นวางแท่งเทียบมาตรฐาน

- 1) ไมโครมิเตอร์ปรับระยะพิทของแท่น (Micrometer Head for Setting The Pitch of Table) รูปที่ 3.6 ทำหน้าที่ปรับระยะฟริ่งจ์บนแท่งเทียบมาตรฐานและเบสเพลตที่ปรากฏให้มีแนวฟริ่งจ์จำนวน 5 – 6 ฟริ่งจ์

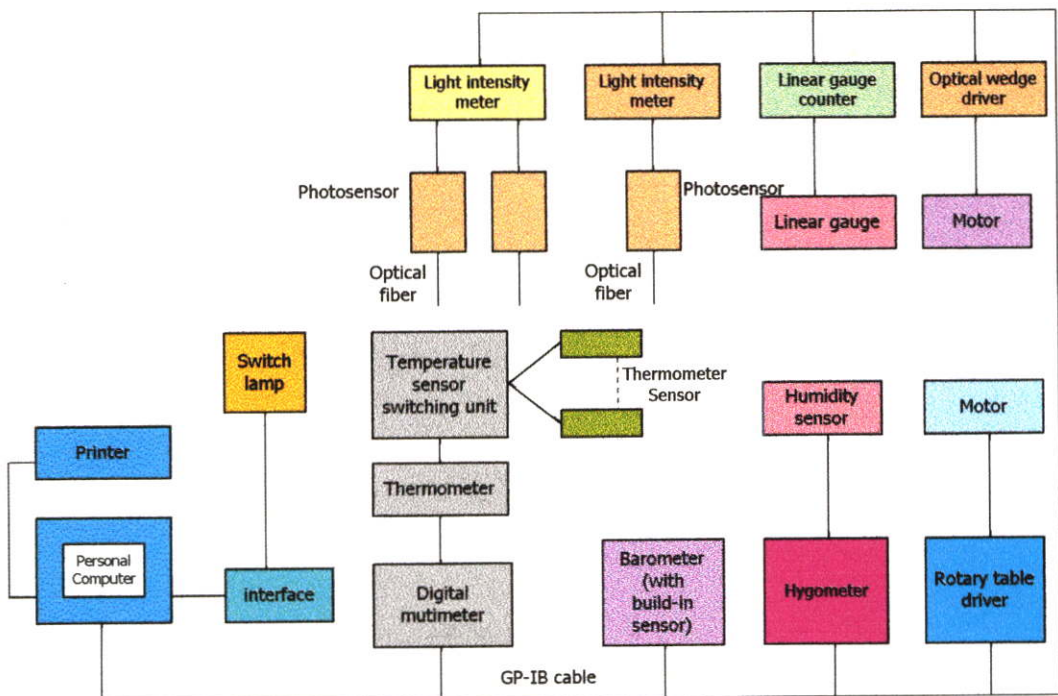
- 2) ไมโครมิเตอร์ปรับระยะ โธลของแท่น ทำหน้าที่ปรับความเอียงของฟรินจ์ที่ปรากฏ โดยให้ฟรินจ์บนเบสเพลตมีแนวขนานมากที่สุด

### 3.1.3.2 ชุดควบคุมการหมุนของแท่นวางแท่งเทียบมาตรฐาน

- 1) ปุ่ม CW ทำหน้าที่ควบคุมให้แท่นวางแท่งเทียบมาตรฐานหมุนทิศทางตามเข็มนาฬิกา
- 2) ปุ่ม CCW ทำหน้าที่ควบคุมให้แท่นวางแท่งเทียบมาตรฐานหมุนทิศทางทวนเข็มนาฬิกา
- 3) ปุ่ม Indexing ทำหน้าที่ควบคุมให้แท่นหมุนๆ ไปได้ที่ละตำแหน่งของแท่งเทียบมาตรฐานที่ละชั้นจนครบ 12 ชั้น
- 4) ปุ่ม Reset ทำหน้าที่ปรับให้ตำแหน่งของแท่นวางแท่งเทียบมาตรฐานหมุนกลับไปยังที่จุดเริ่มต้น
- 5) ปุ่ม Stop ทำหน้าที่หยุดการทำงานของแท่นหมุน

## 3.2 ระบบควบคุมอิเล็กทรอนิกส์ของเครื่องวัดอินเตอร์เฟอโรมิเตอร์

การทำงานของเกบสล็อตอินเตอร์เฟอโรมิเตอร์จะถูกควบคุมด้วยชุดควบคุมอิเล็กทรอนิกส์ (Electronic control unit) ซึ่งประกอบด้วยส่วนต่างๆ ดังนี้



รูปที่ 3.7 แผนผังระบบควบคุมและประมวลผลของเครื่องเกบสล็อตอินเตอร์เฟอโรมิเตอร์

ระบบควบคุมและประมวลผลของเครื่องเก็บลือกอินเตอร์ฟรอมิเตอร์ ดังรูปที่ 3.7 แสดงการเชื่อมต่อกันของอุปกรณ์และเครื่องมือวัดต่างๆ รวมทั้งส่งผ่านข้อมูลที่ได้จากการตรวจวัดมายังส่วนประมวลผลด้วยเครื่องคอมพิวเตอร์โดยส่งสัญญาณผ่านอินเตอร์เฟซการ์ดประกอบด้วยส่วนสำคัญ 2 ส่วน ดังนี้

ส่วนที่หนึ่งเป็นชุดอุปกรณ์ตรวจจับความเข้มแสงที่เชื่อมต่อกันกับชุดควบคุมทางอิเล็กทรอนิกส์ มีรายละเอียดดังนี้ เริ่มต้นจากอุปกรณ์ตรวจจับความเข้มแสง (Photosensor) แบบเส้นใยแก้วนำแสง (Fibre Optic) ประกอบด้วยตัวตรวจจับความเข้มแสง 3 ตัว สองตัวแรกตรวจจับความเข้มแสงจากฟริ่งจ์ที่ปรากฏบนเบสเพลต ส่วนตัวที่สามจะตรวจจับความเข้มแสงจากฟริ่งจ์ที่ปรากฏบนบริเวณกึ่งกลางของแท่งเทียบมาตรฐาน ตัวตรวจจับความเข้มแสงบนเบสเพลตมีระยะห่างจากขอบแท่งเทียบมาตรฐานประมาณ 1.5 mm ความเข้มแสงจะถูกส่งผ่านเส้นใยแก้วนำแสงมายังเครื่องวัดความเข้มแสงทั้งสองชุด การตรวจจับความเข้มแสงของแนว ฟริ่งจ์จะสัมพันธ์กันกับอุปกรณ์วัดระยะชุดลิเนียร์เกจที่ติดตั้งอยู่บนลิ้มกระจก จับเคลื่อนด้วยระบบมอเตอร์ ซึ่งถูกกำหนดให้วัดระยะจุดตรวจจับความเข้มบนแถบฟริ่งจ์จำนวน 32 จุด โดยแต่ละจุดมีระยะการเคลื่อนที่ของลิ้มกระจกห่างเท่ากับ 40  $\mu\text{m}$  ระยะตลอดแถบฟริ่งจ์ประมาณ 1280  $\mu\text{m}$  หรือประมาณ 1.28 mm สามารถช่วงการตรวจจับความเข้มแสงดังตัวอย่างในรูปที่ 2.11

ส่วนที่สองเป็นอุปกรณ์ชุดตรวจวัดสภาวะอากาศภายในตู้วางแท่งเทียบมาตรฐานและอุณหภูมิของแท่งเทียบมาตรฐานเชื่อมต่อกันกับชุดอิเล็กทรอนิกส์มีรายละเอียดดังนี้ เริ่มต้นที่ตัวตรวจจับความชื้น ภายในตู้จะส่งสัญญาณไปยังเครื่องวัดความชื้นสัมพัทธ์ มีตัวตรวจจับความดันบรรยากาศและชุดตรวจวัดอุณหภูมิมีตัวตรวจจับอุณหภูมิของแท่งเทียบมาตรฐาน 2 ชุด ชุดที่หนึ่งใช้วัดอุณหภูมิแท่งเทียบมาตรฐานขนาดเล็กกว่า 20 mm ชุดที่สองใช้วัดอุณหภูมิแท่งเทียบมาตรฐานขนาดตั้งแต่ 20 mm ขึ้นไป เป็นแบบแพลตฟอร์มชนิด K ผ่านชุดสวิทช์ควบคุมตัวตรวจจับอุณหภูมิเชื่อมต่อเข้ากับเทอร์โมมิเตอร์ความต้านทานแบบบริดจ์สมดุลย์แสดงผลดิจิทัลโวลต์มิเตอร์

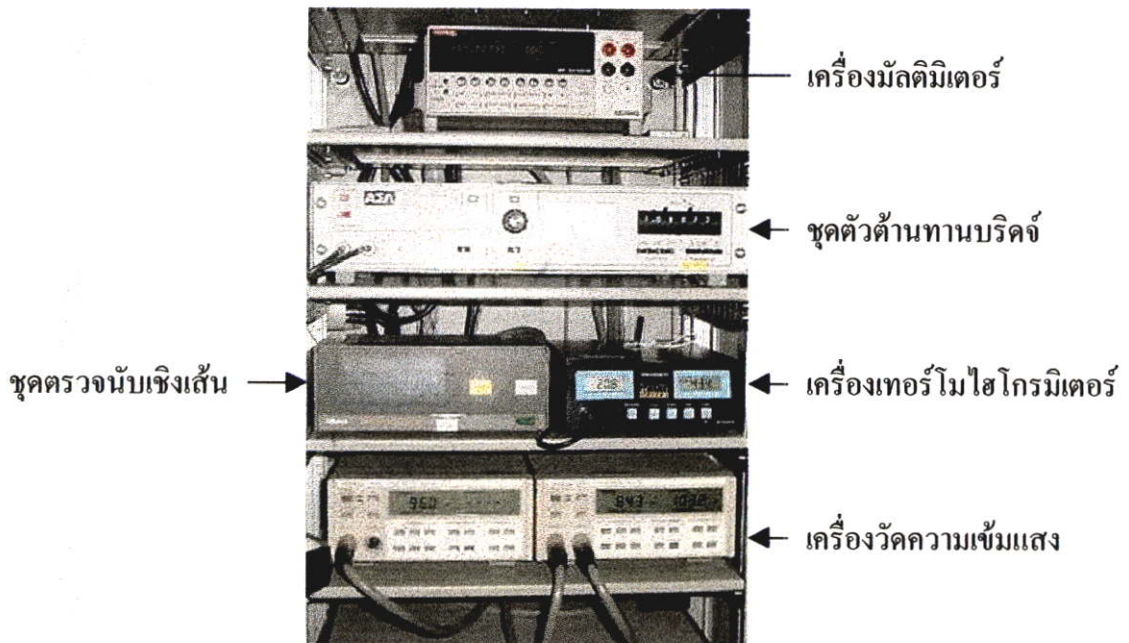
ทั้งสองส่วนจะส่งผ่านข้อมูลไปยังเครื่องคอมพิวเตอร์โดยส่งผ่านอินเตอร์เฟซการ์ด เพื่อทำการประมวลผลและแสดงที่จอมอนิเตอร์ด้วยโปรแกรมคอมแลปวิว (LabView)

**3.2.1 ชุดคอมพิวเตอร์** รูปที่ 3.8 ประกอบด้วยชุดประมวลผลข้อมูล จอภาพ คีย์บอร์ด เมาท์ และเครื่องพิมพ์ โดยมีการรับ-ส่งข้อมูลผ่านทางอินเตอร์เฟซการ์ด และดิจิทัลอินพุท/เอาต์ พูทบอร์ด



รูปที่ 3.8 ชุดควบคุมและประมวลผลของเครื่องเกจบล็อกอินเตอร์ฟรอมิเตอร์

### 3.2.2 ชุดควบคุมอิเล็กทรอนิกส์ (Electronic Controller Rack) รูปที่ 3.9 ประกอบด้วย



รูปที่ 3.9 ชุดควบคุมอิเล็กทรอนิกส์ของเครื่องเกจบล็อกอินเตอร์ฟรอมิเตอร์

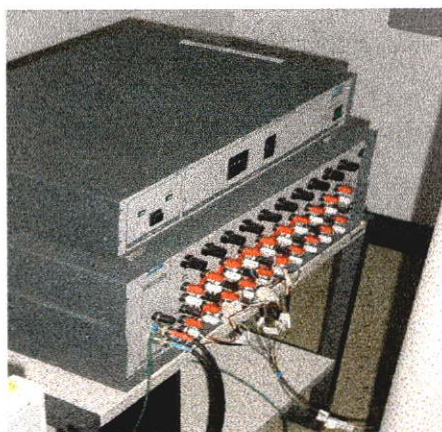
- 3.2.2.1 ชุดจ่ายไฟ (Power Unit) ประกอบด้วยภาคจ่ายไฟฟ้ากระแสตรง สำหรับอุปกรณ์ภายในตู้ได้แก่ ชุดอินเตอร์ฟรอมิเตอร์ ชุดขับเคลื่อนมอเตอร์ที่ใช้กับกระจกลิ้ม (Optical Wedge) แท่นหมุนและตัวกำเนิดพัลส์
- 3.2.2.2 ภาคจ่ายไฟเลเซอร์ (Laser Power Supply) เป็นแหล่งจ่ายไฟให้กับแหล่งกำเนิดแสงเลเซอร์ฮีเลียม-นีออน ควรเปิดเพื่อให้มีสถานะคงที่ก่อนการใช้งานหนึ่งชั่วโมง
- 3.2.2.3 เครื่องมัลติมิเตอร์ (2001 Multimeter) ทำหน้าที่แปลงค่า DC Voltage จากชุดตัวต้านทานบริดจ์ เป็นสัญญาณดิจิตอลไปยังส่วนประมวลผลผ่านทางอินเตอร์เฟซการ์ด

- 3.2.2.4 ชุดตัวต้านทานบริดจ์ (Resistance Bridge) ทำหน้าที่วัดอุณหภูมิแท่งเทียบมาตรฐาน ขณะทำการวัดประกอบด้วยชุดลวดต้านทานแพลทตินัม รีซิสแตนซ์เทอร์โมมิเตอร์
- 3.2.2.5 ชุดตรวจนับเชิงเส้น (Linear Gauge Counter) ทำหน้าที่วัดตรวจนับและแสดงผลการเคลื่อนที่ของลิ้มกระจกแล้วส่งข้อมูลไปยังส่วนประมวลผล
- 3.2.2.6 เครื่องวัดความเข้มแสง (Optical Power Meter) ทำหน้าที่วัดความเข้มแสงในการวัด ฟริ่ง 3 ตำแหน่งบนแท่งเทียบมาตรฐานและบนเบสเพลต และส่งสัญญาณในการวัด ไปยังส่วนประมวลผลและผ่านทางอินเตอร์เฟซการ์ด
- 3.2.2.7 เครื่องเทอร์โม-ไฮโกรมิเตอร์ (Thermo-Hygrometer) ทำหน้าที่วัดความชื้นสัมพัทธ์ภายในตู้ขณะทำการวัดและส่งข้อมูลไปยังส่วนประมวลผลผ่านทางอินเตอร์เฟซการ์ด มีตัวตรวจจับความชื้น (Thermo-Hygro Sensor) เป็นตัววัดความชื้นภายในตัวเครื่อง โดยติดตั้งภายในผนังใกล้แท่นหมุน
- 3.2.2.8 เครื่องดิจิตอลมานอมิเตอร์ (2655 Digital Manometer) รูปที่ 3.10 ใช้วัดและแสดงผล ความดันบรรยากาศโดยส่งไปยังชุดประมวลผลผ่านอินเตอร์เฟซการ์ด



รูปที่ 3.10 เครื่องดิจิตอลมานอมิเตอร์

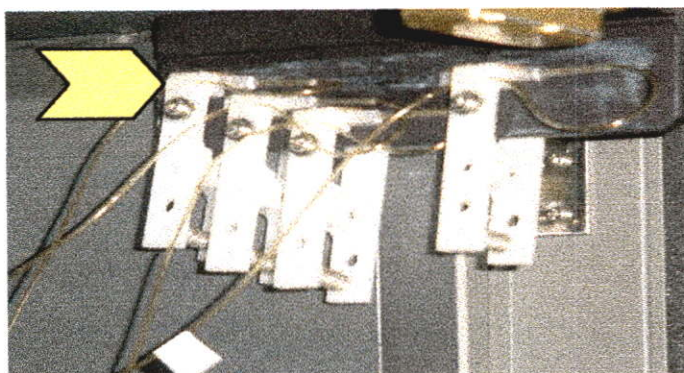
- 3.2.2.9 ชุดสวิทช์ตรวจจับอุณหภูมิ (Temperature Sensor Switch Unit) เป็นแผงควบคุม สวิตช์บล็อคมเมื่อมีการเลือกใช้ตัวตรวจจับอุณหภูมิ ประกอบด้วยอุปกรณ์ต่างๆ ดังนี้
- 1) ชุดสวิทช์ควบคุม (Switch Box Controller) ดังรูปที่ 3.11 ทำหน้าที่เป็นตัวควบคุม การรับคำสั่งการเลือกตัวตรวจจับเพลททินัมจากเครื่องประมวลผลและเชื่อมต่อ ไปยังกล่องสวิทช์ตามคำสั่งชุดประมวลผล



รูปที่ 3.11 ชุดสวิตซ์ตรวจจับอุณหภูมิ

- 2) ตัวตรวจจับอุณหภูมิ (Temperature Sensor) ดังรูปที่ 3.12 ตัวตรวจจับอุณหภูมิของแท่งเทียบมาตรฐานประกอบด้วยเปลือกอลูมิเนียมติดตั้งตัวตรวจจับอุณหภูมิชนิดแพลททินัม (Platinum Resistance Bulb) สายไฟทองแดงและขั้วต่อ
- 3) ตัวคลิปตัวตรวจจับอุณหภูมิ (Temperature Sensor Clip) ตัวคลิปจะใช้ยึดตัวตรวจจับอุณหภูมิที่ยังอยู่ภายในตัวคลิปไปจับกับด้านข้างแท่งเทียบมาตรฐานแสดงดังรูปที่ 3.12

ตัวคลิปตัวตรวจ  
จับอุณหภูมิ



รูปที่ 3.12 ตัวตรวจจับอุณหภูมิของแท่งเทียบมาตรฐาน

## บทที่ 4

### การทดลองและผลการทดลอง

เครื่องเก็บลือกอินเตอร์เฟอริเตอร์เครื่องนี้ ใช้หลักการของไมเคลสันอินเตอร์เฟอริเตอร์ และการวัดวิเคราะห์ค่าเศษส่วนฟริงจ์แบบอัตโนมัติ โดยจะต้องกำหนดค่าความชัดเจนต่างๆ ในส่วนประมวลผล และคำนวณด้วยโปรแกรมแลปวิวที่เขียนซอฟต์แวร์สำหรับคำนวณค่าความผิดพลาดคลาดเคลื่อนที่จุดกึ่งกลางของแท่งเทียบมาตรฐาน ดังจะกล่าวต่อไป

การถ่ายถอดค่าความถูกต้องแท่งเทียบมาตรฐานด้วยเครื่องเก็บลือกอินเตอร์เฟอริเตอร์ มีการทดลองและผลการทดลองดังนี้

#### 4.1 การทดลอง

##### 4.1.1 การจัดเตรียมแท่งเทียบมาตรฐาน

การวัดความถูกต้องแท่งเทียบมาตรฐาน เริ่มต้นล้างทำความสะอาดแท่งเทียบมาตรฐานขนาด 5, 15, 25, 50 และ 75 mm จากนั้นทิ้งไว้จนกระทั่งอุณหภูมิคงที่ ประกอบแท่งเทียบมาตรฐานกับเบสเพลต จากนั้นทิ้งไว้จนกระทั่งอุณหภูมิคงที่ เนื่องจากขณะที่ประกอบแท่งเทียบมาตรฐานกับเบสเพลต อุณหภูมิของแท่งเทียบมาตรฐานจะมีการเปลี่ยนแปลง นำแท่งเทียบมาตรฐานวางบนแท่นวาง จากนั้นนำเข้ามาไว้ในแชมเบอร์เพื่อทำให้อุณหภูมิของแท่งเทียบมาตรฐานบนแท่นวางเข้าสู่สภาวะคงที่ กำหนดตำแหน่งแท่นวางแท่งเทียบมาตรฐาน จากนั้นตรวจดูฟริงจ์จากช่องมองภาพ โดยจัดตำแหน่งแท่นวางแท่งเทียบมาตรฐานให้อยู่ตรงกึ่งกลางของช่องวางแท่งเทียบมาตรฐานบนแท่นวางแท่งเทียบมาตรฐาน ปรับไมโครมิเตอร์เพื่อปรับระยะการพิทและโรลของแท่นหมุน เพื่อให้ฟริงจ์ที่เบสเพลตปรากฏอยู่ในแนวราบ และมีจำนวนฟริงจ์ 5 ถึง 6 ฟริงจ์ ติดตั้งตัวตรวจจับอุณหภูมิที่เลือกไว้ โดยใส่ซิลิโคนเล็กน้อยที่ผิวสัมผัสของตัวตรวจจับอุณหภูมิ ควรทิ้งไว้ประมาณ 30 นาทีก่อนทำการวัด เพื่อให้อุณหภูมิของแท่งเทียบมาตรฐานมีค่าใกล้เคียงกับอุณหภูมิของแชมเบอร์มากที่สุด เพื่อเป็นการลดความผิดพลาดเนื่องจากผลกระทบของสถานะแวดล้อม ป้อนค่าชัดเจนต่างๆ ของแท่งเทียบมาตรฐานที่ติดตั้งอยู่บนแท่นวางแท่งเทียบมาตรฐานสำหรับการประมวลผล เช่น หมายเลข, ค่าที่ระบุ, ค่า pre-measurement, RTS No. เป็นต้น ตามตารางในภาคผนวก ง ตั้งค่าควบคุมอุณหภูมิ (Control Temperature) โดยใช้สวิตช์ (Ratio Rt/Rs) ที่อยู่บนหน้าปัดของเครื่องด้านทานบริดจ์ โดยค่อยๆ ปรับเพื่อให้เข็มมิเตอร์ของบริดจ์อยู่ตรงกลางและให้เครื่องมัลติมิเตอร์อ่านอยู่ในช่วง  $\pm 30$  mVDC ใส่ค่าที่ปรับสวิตซ์ลงใน C.Temp จากนั้นกำหนดค่าค่าสัมประสิทธิ์

การขยายตัวของแท่งเทียบมาตรฐานลงในช่อง CTE เพื่อเป็นพารามิเตอร์หนึ่งในการคำนวณผลค่าความคลาดเคลื่อนของผลการวัด เมื่อกำหนดค่าต่างลงในตารางเงื่อนไขตามภาคผนวก ง เรียบร้อย ร้อยให้ดำเนินการวัดแท่งเทียบมาตรฐาน ตามหลักการของเครื่องที่ได้กล่าวมาแล้วในบทที่ 3

ในการทดลองนี้ได้กำหนดเงื่อนไขสัมประสิทธิ์การขยายตัวของแท่งเทียบมาตรฐานไม่เท่ากัน โดยเงื่อนไขที่ 1 กำหนดให้สัมประสิทธิ์การขยายตัวของแท่งเทียบมาตรฐานมีค่าเท่ากับ  $1.08 \times 10^{-5}/^{\circ}\text{C}$  เป็นค่าสัมประสิทธิ์การขยายตัวที่ทราบจากใบรับรองจากสถาบัน PTB และเงื่อนไขที่ 2 กำหนดให้สัมประสิทธิ์การขยายตัวของแท่งเทียบมาตรฐานมีค่าเท่ากับ  $1.15 \times 10^{-5}/^{\circ}\text{C}$  เป็นค่าสัมประสิทธิ์การขยายตัวของวัสดุที่กำหนดตามมาตรฐาน ISO 3650 : 1998 และมีค่า pre-measurement ดังตาราง 4.1 จากนั้นดำเนินการทดลองและนำผลการทดลองการถ่ายถอดค่าความถูกต้องจากผลการทดลองทั้งสองมาเปรียบเทียบค่าความถูกต้องใกล้เคียงกับผลที่ส่งแท่งเทียบมาตรฐานไปวัดกับสถาบัน PTB จากนั้นคำนวณค่าความไม่แน่นอนและเปรียบเทียบค่าความไม่แน่นอนที่คำนวณได้กับสถาบันมาตรวิทยานานาชาติ

ตารางที่ 4.1 ค่า pre-measurement แท่งเทียบมาตรฐาน

ค่าที่ระบุ	ค่าความคลาดเคลื่อน
mm	$\mu\text{m}$
5	-0.02
15	-0.02
25	-0.01
50	+0.05
75	-0.09

#### 4.1.2 การทดลองวัดแท่งเทียบมาตรฐานที่สัมประสิทธิ์การขยายตัว $1.08 \times 10^{-5}/^{\circ}\text{C}$

จากผลการวัดแท่งเทียบมาตรฐานที่ทำด้วยเหล็กขนาด 5, 15, 25, 50 และ 75 mm ซึ่งกำหนดให้สัมประสิทธิ์การขยายตัวเท่ากับ  $1.08 \times 10^{-5}/^{\circ}\text{C}$  จำนวน 8 ครั้ง พบว่าค่าความผิดพลาดคลาดเคลื่อนที่จุดกึ่งกลางแท่งเทียบมาตรฐาน มีการกระจายตัวอยู่ในช่วง  $\pm 70 \text{ nm}$

**ตารางที่ 4.2** ผลการถ่ายทอดค่าความถูกต้องแห่งชาติเทียบมาตรฐานขนาด 5 mm

จำนวนครั้ง การวัด	อุณหภูมิ °C	ความชื้นสัมพัทธ์ %RH	ความดัน บรรยากาศ Pa × 10 <sup>2</sup>	ค่าผิดพลาดคลาด เคลื่อนที่จุดกึ่งกลาง μm
1	20.3041	46.4	1004.31	-0.024
2	20.1548	46.3	1004.08	-0.018
3	20.1673	46.4	1003.97	-0.017
4	20.1771	46.3	1003.87	-0.018
5	20.1932	46.3	1003.70	-0.016
6	20.2120	46.2	1003.51	-0.018
7	20.5493	46.4	1000.68	-0.021
8	20.5549	46.4	1000.60	-0.024
ค่าเฉลี่ย	20.2891	46.34	1003.09	-0.020
ค่าความเบี่ยง มาตรฐาน	0.16867	0.07440	1.53101	0.00312

จากผลการทดลองการถ่ายทอดค่าความถูกต้องแห่งชาติเทียบมาตรฐานขนาด 5 mm จำนวน 8 ครั้ง มีอุณหภูมิเฉลี่ยเท่ากับ 20.2891 °C ความชื้นสัมพัทธ์เฉลี่ยเท่ากับ 46.34 %RH ความดันบรรยากาศเฉลี่ยเท่ากับ 1003.09 hPa ค่าความผิดพลาดคลาดเคลื่อนที่จุดกึ่งกลางแห่งชาติเทียบมาตรฐานเท่ากับ -0.020 μm และมีค่าเบี่ยงเบนมาตรฐานเท่ากับ 0.00312 μm

ตารางที่ 4.3 ผลการถ่ายทอดค่าความถูกต้องแห่งชาติเทียบมาตรฐานขนาด 15 mm

จำนวนครั้ง การวัด	อุณหภูมิ °C	ความชื้นสัมพัทธ์ %RH	ความดัน บรรยากาศ Pa × 10 <sup>2</sup>	ค่าผิดพลาดคลาด เคลื่อนที่จุดกึ่งกลาง μm
1	20.8877	44.0	1004.33	-0.017
2	20.8973	44.0	1004.13	-0.014
3	20.9076	44.0	1004.00	-0.013
4	20.9192	44.0	1003.92	-0.013
5	20.9309	43.9	1003.80	-0.013
6	20.9545	43.9	1003.73	-0.017
7	20.5493	43.9	1003.69	-0.021
8	20.9658	43.9	1003.53	-0.019
ค่าเฉลี่ย	20.8765	43.95	1003.89	-0.016
ค่าความเบี่ยง มาตรฐาน	0.13492	0.05345	0.25843	0.00309

จากผลการทดลองการถ่ายทอดค่าความถูกต้องแห่งชาติเทียบมาตรฐานขนาด 15 mm จำนวน 8 ครั้ง มีอุณหภูมิเฉลี่ยเท่ากับ 20.8765 °C ความชื้นสัมพัทธ์เฉลี่ยเท่ากับ 43.95 %RH ความดันบรรยากาศเฉลี่ยเท่ากับ 1003.89 hPa ค่าความผิดพลาดคลาดเคลื่อนที่จุดกึ่งกลางแห่งชาติเทียบมาตรฐานเท่ากับ -0.016 μm และมีค่าเบี่ยงเบนมาตรฐานเท่ากับ 0.00309 μm

**ตารางที่ 4.4** ผลการถ่ายทอดค่าความถูกต้องแห่งเทียบมาตรฐานขนาด 25 mm

จำนวนครั้ง การวัด	อุณหภูมิ °C	ความชื้นสัมพัทธ์ %RH	ความดัน บรรยากาศ Pa × 10 <sup>2</sup>	ค่าผิดพลาดคลาด เคลื่อนที่จุดกึ่งกลาง μm
1	20.9041	42.5	1004.53	-0.017
2	20.9125	42.5	1004.58	-0.014
3	20.8962	42.6	1004.55	-0.012
4	20.8883	42.6	1004.59	-0.014
5	20.8606	42.6	1004.68	-0.008
6	20.8742	42.6	1004.71	-0.012
7	20.8683	42.6	1004.74	-0.014
8	20.8626	42.6	1004.83	-0.010
ค่าเฉลี่ย	20.8834	42.58	1004.651	-0.013
ค่าความเบี่ยง เบนมาตรฐาน	0.01974	0.04629	0.10548	0.00277

จากผลการทดลองการถ่ายทอดค่าความถูกต้องแห่งเทียบมาตรฐานขนาด 25 mm จำนวน 8 ครั้ง มีอุณหภูมิเฉลี่ยเท่ากับ 20.8834 °C ความชื้นสัมพัทธ์เฉลี่ยเท่ากับ 42.58 %RH ความดันบรรยากาศเฉลี่ยเท่ากับ 1004.651 hPa ค่าความผิดพลาดคลาดเคลื่อนที่จุดกึ่งกลางแห่งเทียบมาตรฐานเท่ากับ -0.013 μm และมีค่าเบี่ยงเบนมาตรฐานเท่ากับ 0.00277 μm

**ตารางที่ 4.5** ผลการถ่ายทอดค่าความถูกต้องแห่งเทียบมาตรฐานขนาด 50 mm

จำนวนครั้ง การวัด	อุณหภูมิ °C	ความชื้นสัมพัทธ์ %RH	ความดัน บรรยากาศ Pa × 10 <sup>2</sup>	ค่าผิดพลาดคลาด เคลื่อนที่จุดกึ่งกลาง μm
1	20.4746	47.7	1005.40	0.082
2	20.4876	47.7	1005.37	0.074
3	20.4989	47.7	1005.28	0.075
4	20.5097	47.7	1005.12	0.071
5	20.5208	47.6	1005.02	0.065
6	20.5328	47.6	1004.91	0.064
7	20.5438	47.6	1004.82	0.061
8	20.5619	47.5	1004.74	0.059
ค่าเฉลี่ย	20.51626	47.64	1005.083	0.069
ค่าความเบี่ยง เบนมาตรฐาน	0.02937	0.07440	0.25178	0.00792

จากผลการทดลองการถ่ายทอดค่าความถูกต้องแห่งเทียบมาตรฐานขนาด 50 mm จำนวน 8 ครั้ง มีอุณหภูมิเฉลี่ยเท่ากับ 20.51626 °C ความชื้นสัมพัทธ์เฉลี่ยเท่ากับ 47.64 %RH ความดันบรรยากาศเฉลี่ยเท่ากับ 1005.083 hPa ค่าความผิดพลาดคลาดเคลื่อนที่จุดกึ่งกลางแห่งเทียบมาตรฐานเท่ากับ 0.069 μm และมีค่าเบี่ยงเบนมาตรฐานเท่ากับ 0.00792 μm

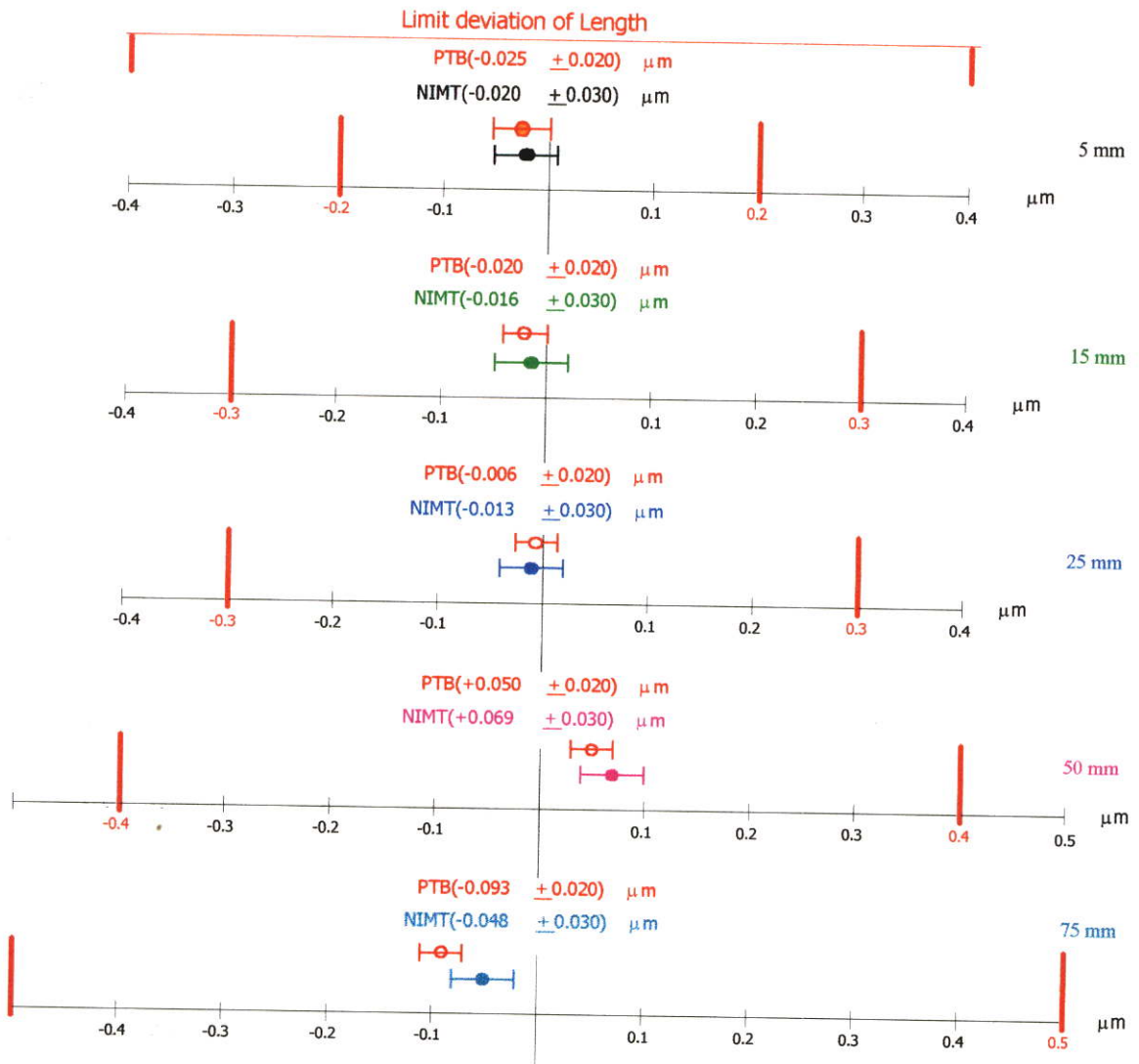
**ตารางที่ 4.6** ผลการถ่ายทอดค่าความถูกต้องแห่งเทียบมาตรฐานขนาด 75 mm

จำนวนครั้ง การวัด	อุณหภูมิ °C	ความชื้นสัมพัทธ์ %RH	ความดัน บรรยากาศ Pa × 10 <sup>2</sup>	ค่าผิดพลาดคลาด เคลื่อนที่จุดกึ่งกลาง μm
1	20.4392	48.0	1005.91	-0.034
2	20.9006	48.1	1005.93	-0.053
3	20.8951	48.1	1006.00	-0.071
4	20.8904	48.1	1006.04	-0.074
5	20.8807	48.4	1006.09	-0.070
6	20.8791	48.5	1006.13	-0.071
7	20.4011	48.0	1005.88	-0.004
8	20.4177	47.9	1005.79	-0.005
ค่าเฉลี่ย	20.71299	48.14	1005.971	-0.048
ค่าความเบี่ยง มาตรฐาน	0.24348	0.20659	0.11432	0.02982

จากผลการทดลองการถ่ายทอดค่าความถูกต้องแห่งเทียบมาตรฐานขนาด 75 mm จำนวน 8 ครั้ง มีอุณหภูมิเฉลี่ยเท่ากับ 20.71299 °C ความชื้นสัมพัทธ์เฉลี่ยเท่ากับ 48.14 %RH ความดันบรรยากาศเฉลี่ยเท่ากับ 1005.971 hPa ค่าความผิดพลาดคลาดเคลื่อนที่จุดกึ่งกลางแห่งเทียบมาตรฐานเท่ากับ -0.048 μm และมีค่าเบี่ยงเบนมาตรฐานเท่ากับ 0.02982 μm

**ตารางที่ 4.7** ผลการคำนวณค่าเฉลี่ยค่าผิดพลาดที่จุดกึ่งกลางและค่าความเบี่ยงเบนมาตรฐานของ  
แห่งเทียบมาตรฐาน

ค่าที่ระบุ mm	ค่าผิดพลาดที่จุดกึ่งกลางเฉลี่ย μm	ค่าความเบี่ยงเบนมาตรฐาน μm
5	-0.020	0.00312
15	-0.016	0.00309
25	-0.013	0.00277
50	+0.069	0.00792
75	-0.048	0.02982



**รูปที่ 4.1** ผลการวัดค่าความคลาดเคลื่อนที่จุดกึ่งกลางของแท่งเทียบมาตรฐาน ขนาด 5, 15, 25, 50 และ 75 mm ที่สัมประสิทธิ์การขยายตัว  $1.08 \times 10^{-5}/^{\circ}\text{C}$

จากรูปที่ 4.1 จะพบว่าค่าเฉลี่ยค่าผิดพลาดคลาดเคลื่อนที่จุดกึ่งกลางของแท่งเทียบมาตรฐาน มีค่าอยู่ในช่วงของเกณฑ์การยอมรับได้ตามมาตรฐาน ISO 3650: 1998 ตามตารางในภาคผนวก ก

ช่วง 0.5 mm ถึง 10 mm มีค่าการยอมรับได้อยู่ในช่วง  $\pm 0.2 \mu\text{m}$  ค่าที่วัดได้ของแท่งเทียบมาตรฐานขนาด 5 mm มีค่าความผิดพลาดคลาดเคลื่อนที่จุดกึ่งกลางแท่งเทียบมาตรฐานเท่ากับ  $-0.020 \mu\text{m}$  มีค่าความไม่แน่นอน  $\pm 0.03 \mu\text{m}$

ช่วง 10 mm ถึง 25 mm มีค่าการยอมรับได้อยู่ในช่วง  $\pm 0.3 \mu\text{m}$  ค่าที่วัดได้ของแท่งเทียบมาตรฐานขนาด 15 mm มีค่าความผิดพลาดคลาดเคลื่อนที่จุดกึ่งกลางแท่งเทียบมาตรฐานเท่ากับ  $-0.016 \mu\text{m}$  มีค่าความไม่แน่นอน  $\pm 0.03 \mu\text{m}$  และค่าที่วัดได้ของแท่งเทียบมาตรฐานขนาด 25

mm มีค่าความผิดพลาดคลาดเคลื่อนที่จุดกึ่งกลางแห่งเทียบมาตรฐานเท่ากับ  $-0.013 \mu\text{m}$  มีค่าความไม่แน่นอน  $\pm 0.03 \mu\text{m}$

ช่วง 25 mm ถึง 50 mm มีค่าการยอมรับได้อยู่ในช่วง  $\pm 0.4 \mu\text{m}$  ค่าที่วัดได้ของแห่งเทียบมาตรฐานขนาด 50 mm มีค่าความผิดพลาดคลาดเคลื่อนที่จุดกึ่งกลางแห่งเทียบมาตรฐานเท่ากับ  $+0.069 \mu\text{m}$  มีค่าความไม่แน่นอน  $\pm 0.03 \mu\text{m}$

ช่วง 50 mm ถึง 75 mm มีค่าการยอมรับได้อยู่ในช่วง  $\pm 0.3 \mu\text{m}$  ค่าที่วัดได้ของแห่งเทียบมาตรฐานขนาด 75 mm มีค่าความผิดพลาดคลาดเคลื่อนที่จุดกึ่งกลางแห่งเทียบมาตรฐานเท่ากับ  $-0.048 \mu\text{m}$  มีค่าความไม่แน่นอน  $\pm 0.03 \mu\text{m}$

#### 4.1.3 การทดลองวัดแห่งเทียบมาตรฐานที่สัมประสิทธิ์การขยายตัว $1.15 \times 10^{-5}/^{\circ}\text{C}$

จากผลการวัดแห่งเทียบมาตรฐานที่ทำด้วยเหล็กขนาด 5, 15, 25, 50 และ 75 mm ซึ่งกำหนดให้สัมประสิทธิ์การขยายตัวเท่ากับ  $1.08 \times 10^{-5}/^{\circ}\text{C}$  จำนวน 8 ครั้ง พบว่าค่าความผิดพลาดคลาดเคลื่อนที่จุดกึ่งกลางแห่งเทียบมาตรฐาน มีการกระจายตัวอยู่ในช่วง  $\pm 75 \text{ nm}$

ตารางที่ 4.8 ผลการถ่ายทอดค่าความถูกต้องแห่งเทียบมาตรฐานขนาด 5 mm

จำนวนครั้ง การวัด	อุณหภูมิ $^{\circ}\text{C}$	ความชื้นสัมพัทธ์ %RH	ความดัน บรรยากาศ $\text{Pa} \times 10^2$	ค่าผิดพลาดคลาด เคลื่อนที่จุดกึ่งกลาง $\mu\text{m}$
1	20.6418	46.6	1001.20	-0.028
2	20.6298	46.6	1001.20	-0.022
3	20.6359	46.6	1001.15	-0.022
4	20.6234	46.6	1001.16	-0.026
5	20.6166	46.6	1001.20	-0.020
6	20.6096	46.5	1001.07	-0.026
7	20.6019	46.5	1000.82	-0.025
8	20.5881	46.5	1000.70	-0.025
ค่าเฉลี่ย	20.61839	46.56	1001.063	-0.024
ค่าความเบี่ยง มาตรฐาน	0.01805	0.05175	0.19426	0.00266

จากผลการทดลองการถ่ายทอดค่าความถูกต้องแห่งชาติเทียบมาตรฐานขนาด 5 mm จำนวน 8 ครั้ง มีอุณหภูมิเฉลี่ยเท่ากับ 20.61839 °C ความชื้นสัมพัทธ์เฉลี่ยเท่ากับ 46.56 %RH ความดันบรรยากาศเฉลี่ยเท่ากับ 1001.063 hPa ค่าความผิดพลาดคลาดเคลื่อนที่จุดกึ่งกลางแห่งชาติเทียบมาตรฐานเท่ากับ -0.024  $\mu\text{m}$  และมีค่าเบี่ยงเบนมาตรฐานเท่ากับ 0.00266  $\mu\text{m}$

**ตารางที่ 4.9** ผลการถ่ายทอดค่าความถูกต้องแห่งชาติเทียบมาตรฐานขนาด 15 mm

จำนวนครั้ง การวัด	อุณหภูมิ °C	ความชื้นสัมพัทธ์ %RH	ความดัน บรรยากาศ Pa $\times 10^2$	ค่าผิดพลาดคลาด เคลื่อนที่จุดกึ่งกลาง $\mu\text{m}$
1	20.7625	46.3	1000.75	-0.030
2	20.7243	46.3	1000.73	-0.028
3	20.7227	46.3	1000.76	-0.027
4	20.7137	46.3	1000.77	-0.025
5	20.7051	46.3	1000.77	-0.029
6	20.6971	46.3	1000.72	-0.026
7	20.6890	46.3	1000.72	-0.026
8	20.6784	46.4	1000.73	-0.028
ค่าเฉลี่ย	20.7116	46.3125	1000.74	-0.027
ค่าความเบี่ยง มาตรฐาน	0.02604	0.03536	0.02134	0.00169

จากผลการทดลองการถ่ายทอดค่าความถูกต้องแห่งชาติเทียบมาตรฐานขนาด 15 mm จำนวน 8 ครั้ง มีอุณหภูมิเฉลี่ยเท่ากับ 20.7116 °C ความชื้นสัมพัทธ์เฉลี่ยเท่ากับ 46.31 %RH ความดันบรรยากาศเฉลี่ยเท่ากับ 1000.74 hPa ค่าความผิดพลาดคลาดเคลื่อนที่จุดกึ่งกลางแห่งชาติเทียบมาตรฐานเท่ากับ -0.027  $\mu\text{m}$  และมีค่าเบี่ยงเบนมาตรฐานเท่ากับ 0.00169  $\mu\text{m}$

**ตารางที่ 4.10** ผลการถ่ายทอดค่าความถูกต้องแห่งชาติเทียบมาตรฐานขนาด 25 mm

จำนวนครั้ง การวัด	อุณหภูมิ °C	ความชื้นสัมพัทธ์ %RH	ความดัน บรรยากาศ Pa × 10 <sup>2</sup>	ค่าผิดพลาดคลาด เคลื่อนที่จุดกึ่งกลาง µm
1	20.5811	42.6	1008.96	-0.006
2	20.5448	42.6	1008.99	0.006
3	20.5601	42.6	1009.07	-0.003
4	20.5505	42.7	1009.08	0.001
5	20.5412	42.7	1009.11	0.003
6	20.5324	42.7	1009.16	0.003
7	20.5093	42.8	1009.26	0.009
8	20.5164	42.8	1009.26	0.006
ค่าเฉลี่ย	20.5420	42.69	1009.111	0.002
ค่าความเบี่ยง มาตรฐาน	0.02316	0.08345	0.11141	0.00496

จากผลการทดลองการถ่ายทอดค่าความถูกต้องแห่งชาติเทียบมาตรฐานขนาด 25 mm จำนวน 8 ครั้ง มีอุณหภูมิเฉลี่ยเท่ากับ 20.5420 °C ความชื้นสัมพัทธ์เฉลี่ยเท่ากับ 48.69 %RH ความดันบรรยากาศเฉลี่ยเท่ากับ 1005.111 hPa ค่าความผิดพลาดคลาดเคลื่อนที่จุดกึ่งกลางแห่งชาติเทียบมาตรฐานเท่ากับ +0.002 µm และมีค่าเบี่ยงเบนมาตรฐานเท่ากับ 0.00496 µm

**ตารางที่ 4.11** ผลการถ่ายทอดค่าความถูกต้องแห่งชาติเทียบมาตรฐานขนาด 50 mm

จำนวนครั้ง การวัด	อุณหภูมิ °C	ความชื้นสัมพัทธ์ %RH	ความดัน บรรยากาศ Pa × 10 <sup>2</sup>	ค่าผิดพลาดคลาด เคลื่อนที่จุดกึ่งกลาง μm
1	20.4902	47.0	1006.28	0.058
2	20.4789	47.0	1006.29	0.064
3	20.4684	47.0	1006.34	0.066
4	20.4575	47.1	1006.33	0.071
5	20.4488	47.1	1006.38	0.074
6	20.4387	47.2	1006.42	0.077
7	20.4289	47.2	1006.39	0.080
8	20.4198	47.3	1006.35	0.082
ค่าเฉลี่ย	20.4539	47.11	1006.348	0.072
ค่าความเบี่ยง มาตรฐาน	0.02453	0.11260	0.04833	0.00835

จากผลการทดลองการถ่ายทอดค่าความถูกต้องแห่งชาติเทียบมาตรฐานขนาด 50 mm จำนวน 8 ครั้ง มีอุณหภูมิเฉลี่ยเท่ากับ 20.4539 °C ความชื้นสัมพัทธ์เฉลี่ยเท่ากับ 47.11 %RH ความดันบรรยากาศเฉลี่ยเท่ากับ 1006.348 hPa ค่าความผิดพลาดคลาดเคลื่อนที่จุดกึ่งกลางแห่งชาติเทียบมาตรฐานเท่ากับ +0.072 μm และมีค่าเบี่ยงเบนมาตรฐานเท่ากับ 0.00835 μm

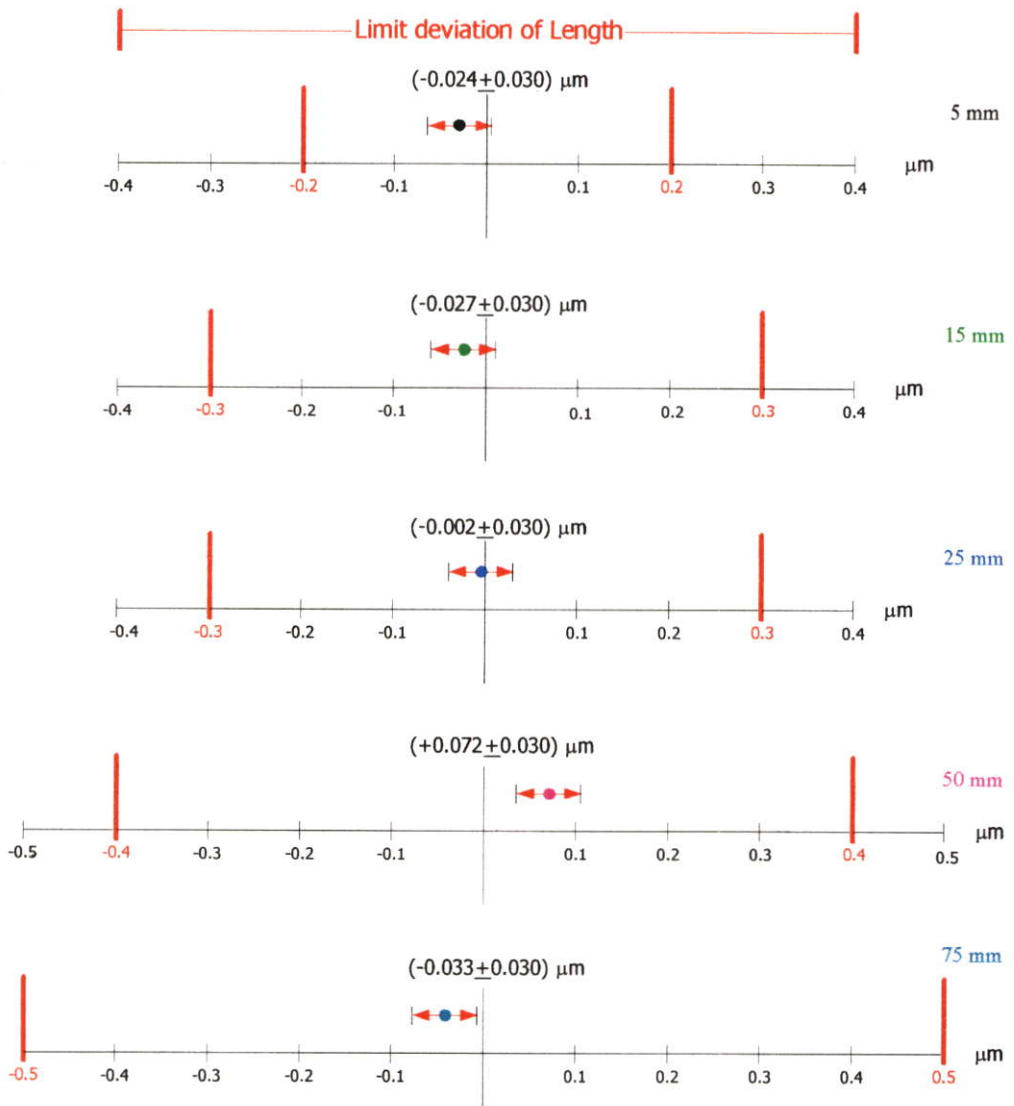
**ตารางที่ 4.12** ผลการถ่ายทอดค่าความถูกต้องแห่งเทียบมาตรฐานขนาด 75 mm

จำนวนครั้ง การวัด	อุณหภูมิ °C	ความชื้นสัมพัทธ์ %RH	ความดัน บรรยากาศ Pa × 10 <sup>2</sup>	ค่าผิดพลาดคลาด เคลื่อนที่จุดกึ่งกลาง μm
1	20.8876	47.3	1001.80	-0.015
2	20.8975	47.3	1001.94	-0.039
3	20.9029	47.3	1002.00	-0.011
4	20.8078	47.2	1001.60	-0.049
5	20.7979	47.2	1001.64	-0.031
6	20.7792	47.2	1001.79	-0.033
7	20.7692	47.2	1001.80	-0.036
8	20.7603	47.2	1001.79	-0.048
ค่าเฉลี่ย	20.8253	47.24	1001.795	-0.033
ค่าความเบี่ยง มาตรฐาน	0.06056	0.05175	0.13374	0.01382

จากผลการทดลองการถ่ายทอดค่าความถูกต้องแห่งเทียบมาตรฐานขนาด 75 mm จำนวน 8 ครั้ง มีอุณหภูมิเฉลี่ยเท่ากับ 20.8253 °C ความชื้นสัมพัทธ์เฉลี่ยเท่ากับ 47.24 %RH ความดันบรรยากาศเฉลี่ยเท่ากับ 1001.795 hPa ค่าความผิดพลาดคลาดเคลื่อนที่จุดกึ่งกลางแห่งเทียบมาตรฐานเท่ากับ -0.033 μm และมีค่าเบี่ยงเบนมาตรฐานเท่ากับ 0.01382 μm

**ตารางที่ 4.13** ผลการคำนวณค่าเฉลี่ยค่าผิดพลาดที่จุดกึ่งกลางและค่าความเบี่ยงเบนมาตรฐานของ  
แห่งเทียบมาตรฐาน

ค่าที่ระบุ mm	ค่าผิดพลาดที่จุดกึ่งกลางเฉลี่ย μm	ค่าความเบี่ยงเบนมาตรฐาน μm
5	-0.024	0.00266
15	-0.027	0.00169
25	+0.002	0.00496
50	+0.072	0.00835
75	-0.033	0.01382



รูปที่ 4.2 กราฟแสดงผลการวัดค่าความคลาดเคลื่อนที่จุดกึ่งกลางของแท่งเทียบมาตรฐานขนาด 5, 15, 25, 50 และ 75 mm

จากรูปที่ 4.2 จะพบว่าค่าเฉลี่ยค่าผิดพลาดคลาดเคลื่อนที่จุดกึ่งกลางของแท่งเทียบมาตรฐาน มีค่าอยู่ในช่วงของเกณฑ์การยอมรับได้ตามมาตรฐาน ISO 3650 : 1998 ตามตารางในภาคผนวก ก

ช่วง 0.5 mm ถึง 10 mm มีค่าการยอมรับได้อยู่ในช่วง  $\pm 0.2 \mu\text{m}$  ค่าที่วัดได้ของแท่งเทียบมาตรฐานขนาด 5 mm มีค่าความผิดพลาดคลาดเคลื่อนที่จุดกึ่งกลางแท่งเทียบมาตรฐานเท่ากับ  $-0.024 \mu\text{m}$  มีค่าความไม่แน่นอน  $\pm 0.03 \mu\text{m}$

ช่วง 10 mm ถึง 25 mm มีค่าการยอมรับได้อยู่ในช่วง  $\pm 0.3 \mu\text{m}$  ค่าที่วัดได้ของแท่งเทียบมาตรฐานขนาด 15 mm มีค่าความผิดพลาดคลาดเคลื่อนที่จุดกึ่งกลางแท่งเทียบมาตรฐานเท่ากับ  $-0.027 \mu\text{m}$  มีค่าความไม่แน่นอน  $\pm 0.03 \mu\text{m}$  และค่าที่วัดได้ของแท่งเทียบมาตรฐานขนาด 25

mm มีค่าความผิดพลาดคลาดเคลื่อนที่จุดกึ่งกลางแห่งเทียบมาตรฐานเท่ากับ  $+0.002 \mu\text{m}$  มีค่าความไม่แน่นอน  $\pm 0.03 \mu\text{m}$

ช่วง 25 mm ถึง 50 mm มีค่าการยอมรับได้อยู่ในช่วง  $\pm 0.4 \mu\text{m}$  ค่าที่วัดได้ของแห่งเทียบมาตรฐานขนาด 50 mm มีค่าความผิดพลาดคลาดเคลื่อนที่จุดกึ่งกลางแห่งเทียบมาตรฐานเท่ากับ  $+0.072 \mu\text{m}$  มีค่าความไม่แน่นอน  $\pm 0.03 \mu\text{m}$

ช่วง 50 mm ถึง 75 mm มีค่าการยอมรับได้อยู่ในช่วง  $\pm 0.3 \mu\text{m}$  ค่าที่วัดได้ของแห่งเทียบมาตรฐานขนาด 75 mm มีค่าความผิดพลาดคลาดเคลื่อนที่จุดกึ่งกลางแห่งเทียบมาตรฐานเท่ากับ  $-0.033 \mu\text{m}$  มีค่าความไม่แน่นอน  $\pm 0.03 \mu\text{m}$

#### 4.1.4 ผลการเปรียบเทียบค่าสัมประสิทธิ์การขยายตัวแห่งเทียบมาตรฐานระหว่าง

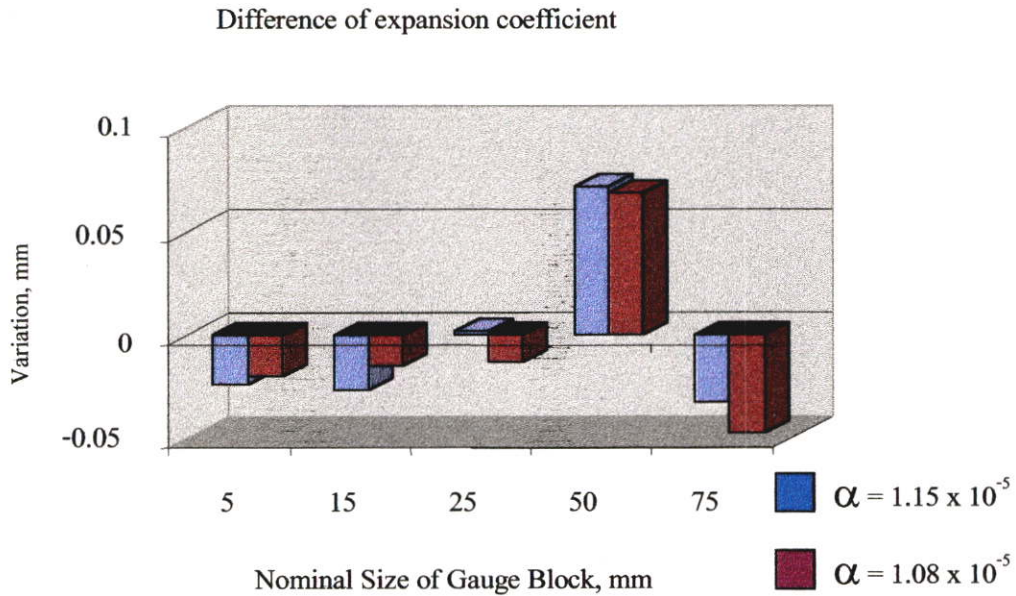
$$1.08 \times 10^{-5}/^{\circ}\text{C} \text{ กับ } 1.15 \times 10^{-5}/^{\circ}\text{C}$$

ผลการเปรียบเทียบค่าสัมประสิทธิ์การขยายตัวแห่งเทียบมาตรฐานระหว่าง  $1.08 \times 10^{-5}/^{\circ}\text{C}$  กับ  $1.15 \times 10^{-5}/^{\circ}\text{C}$  ซึ่งมีค่าเปลี่ยนแปลงตามอุณหภูมิของแห่งเทียบมาตรฐาน เป็นผลให้มีการเปลี่ยนความยาวของขนาดแห่งเทียบมาตรฐาน ค่าสัมประสิทธิ์การขยายตัวแห่งเทียบมาตรฐาน  $1.08 \times 10^{-5}/^{\circ}\text{C}$  เป็นค่าที่ทราบจากการวัดจริงจาก PTB ส่วนค่าสัมประสิทธิ์การขยายตัวแห่งเทียบมาตรฐาน  $1.15 \times 10^{-5}/^{\circ}\text{C}$  เป็นค่าที่ทราบจากเอกสารอ้างอิง ISO 3650 ซึ่งเป็นเอกสารมาตรฐานของแห่งเทียบมาตรฐาน

#### ตารางที่ 4.14 ผลต่างระหว่างค่าผิดพลาดที่จุดกึ่งกลางเฉลี่ยที่สัมประสิทธิ์การขยายตัว

$$1.08 \times 10^{-5}/^{\circ}\text{C} \text{ กับ สัมประสิทธิ์การขยายตัว } 1.15 \times 10^{-5}/^{\circ}\text{C}$$

ค่าที่ระบุ mm	ค่าผิดพลาดที่จุดกึ่ง กลางเฉลี่ย ส.ป.ส. $1.08 \times 10^{-5}/^{\circ}\text{C}$ $\mu\text{m}$	ค่าผิดพลาดที่จุดกึ่ง กลางเฉลี่ย ส.ป.ส. $1.15 \times 10^{-5}/^{\circ}\text{C}$ $\mu\text{m}$	ผลต่างระหว่าง ส.ป.ส. $1.08 \times 10^{-5}/^{\circ}\text{C}$ กับ ส.ป.ส. $1.15 \times 10^{-5}/^{\circ}\text{C}$ $\mu\text{m}$
5	-0.020	-0.024	0.004
15	-0.015	-0.027	0.012
25	-0.013	0.002	0.015
50	0.069	0.072	0.003
75	-0.048	-0.033	0.015



**รูปที่ 4.3** แผนภาพแสดงการเปรียบเทียบผลต่างระหว่างสัมประสิทธิ์การขยายตัวแห่งเทียบมาตรฐาน  $1.08 \times 10^{-5}/^{\circ}\text{C}$  กับสัมประสิทธิ์การขยายตัวแห่งเทียบมาตรฐาน  $1.15 \times 10^{-5}/^{\circ}\text{C}$

จากกราฟรูปที่ 4.3 พบว่าค่าผลต่างระหว่างสัมประสิทธิ์การขยายตัวของแท่งเทียบมาตรฐาน  $1.08 \times 10^{-5}/^{\circ}\text{C}$  กับ สัมประสิทธิ์การขยายตัวของแท่งเทียบมาตรฐาน  $1.15 \times 10^{-5}/^{\circ}\text{C}$  มีค่าผลต่างสูงสุดเท่ากับ  $0.015 \mu\text{m}$  ซึ่งมีค่าความผิดพลาดคลาดเคลื่อนอยู่ในช่วงที่ยอมรับได้ตามมาตรฐาน ISO 3650 : 1998 แต่ในทางมาตรวิทยาการวัดของแท่งเทียบมาตรฐานโดยใช้แสงเป็นมาตรฐานนั้น ควรทราบค่าสัมประสิทธิ์การขยายตัวแห่งเทียบมาตรฐานที่ถูกต้องมากที่สุด เนื่องจากผลการเปลี่ยนแปลงของอุณหภูมิมีผลต่อการเปลี่ยนแปลงของการขยายตัวของเหล็กกล้า ดังนั้น การวัดค่าอุณหภูมิ ความชื้นสัมพัทธ์ และความดันบรรยากาศขณะทำการวัด เพื่อลดค่าความผิดพลาดที่อาจจะเกิดขึ้นได้ในระหว่างทำการวัดจึงมีความจำเป็นสำหรับการวัดแบบสัมบูรณ์

## 4.2 ประเมินค่าความไม่แน่นอนของการวัด

### (Estimation of Uncertainty of Measurement)

ค่าความไม่แน่นอนในการวัดแท่งเทียบมาตรฐานโดยใช้ชุดอินเตอร์เฟอโรมิเตอร์นี้ เป็นไปตามตารางที่ 4.14 การคำนวณค่าความไม่แน่นอนในการวัดเป็นไปตาม ISO/TAG 4 (ISO Guide to the Expression of Uncertainty in Measurement) ดังจะอธิบายเป็นรูปแบบทางคณิตศาสตร์ได้ดังนี้

$$\begin{aligned}
L_{20} &= L - L\alpha(T - 20) - (-dP) \\
&= L(1 - \alpha(T - 20)) + dP \\
&= \left( \frac{\lambda_v}{2n} (N + \varepsilon) \right) (1 - \alpha(T - 20)) + dP
\end{aligned} \tag{4.1}$$

เมื่อจัดค่าพารามิเตอร์ต่างๆ ให้อยู่ในรูปของฟังก์ชัน  $f$  จะได้

$$f(\lambda_v, n_{ipR}, \varepsilon, \alpha, T, dP) \tag{4.2}$$

ค่าความแปรปรวนของความไม่แน่นอนสามารถหาได้ดังสมการ

$$u_c^2(y) = \sum_{i=1}^n \left[ \frac{\partial f}{\partial x_i} \right]^2 u^2(x_i) \tag{4.3}$$

การประยุกต์สมการ (4.3) เพื่อหาค่าความแปรปรวนของความไม่แน่นอนต่างๆ ตามพารามิเตอร์ โดยมีค่า  $c_i$  เป็นค่าสัมประสิทธิ์ความไวหรือตัวแปลงหน่วยสามารถหาได้ดังสมการต่อไปนี้

$$\begin{aligned}
u_c^2(L_{20}) &= c_{\lambda_v}^2 u^2(\lambda_v) + c_{\varepsilon}^2 u^2(\varepsilon) + c_t^2 u^2(t) + c_p^2 u^2(p) + c_R^2 u^2(R) + c_{\alpha}^2 u^2(\alpha) \\
&\quad + c_T^2 u^2(T) + c_r^2 u^2(r) + c_s^2 u^2(s) + c_{dP}^2 u^2(dP) + c_w^2 u^2(w)
\end{aligned} \tag{4.4}$$

เมื่อค่าสัมประสิทธิ์ความไวแต่ละตัวสามารถหาได้ดังนี้

$$c_{\lambda_v} = \partial f / \partial \lambda_v = L / \lambda \tag{4.5}$$

$$c_{\varepsilon} = \partial f / \partial \varepsilon = \lambda / 2 \tag{4.6}$$

$$c_t = \partial f / \partial t = 9.5 \times 10^{-7} L \tag{4.7}$$

$$c_p = \partial f / \partial p = 2.7 \times 10^{-9} L \tag{4.8}$$

$$c_R = \partial f / \partial R = 8.5 \times 10^{-9} L \tag{4.9}$$

$$c_{\alpha} = \partial f / \partial \alpha = (T - 20)L \tag{4.10}$$

$$c_T = \partial f / \partial T = \alpha L \tag{4.11}$$

$$c_r = \partial f / \partial r = (r / 2F^2) L \tag{4.12}$$

$$c_s = \partial f / \partial s = (s / F^2) L \tag{4.13}$$

$$c_{dP} = \partial f / \partial dP = 1 \tag{4.14}$$

$$c_w = \partial f / \partial w = 1 \tag{4.15}$$

#### 4.2.1 ค่าความไม่แน่นอนมาตรฐานของความยาวคลื่นแสงเลเซอร์ฮีเลียม-นีออน (Wavelength of Laser Source Uncertainty)

ค่าความไม่แน่นอนการสอบเทียบเลเซอร์และการเปลี่ยนแปลงของความยาวคลื่น

$$\begin{aligned} U(\lambda) &= 1.2 \times 10^{-9} \left( \frac{L}{\lambda} \right) \\ &= 0.0012 (L/\text{mm}) \text{ nm} \end{aligned} \quad (4.16)$$

#### 4.2.2 ค่าความไม่แน่นอนมาตรฐานของการวิเคราะห์เศษส่วนฟริ่งจ์ (Measurement of Interference Fringe Fraction Uncertainty)

ค่าความไม่แน่นอนมาตรฐานของการวิเคราะห์เศษส่วนอัตราส่วนฟริ่งจ์ ประเมินได้จากจำนวนการวัดโดยพิจารณาจากผลการวัดแท่งเทียบมาตรฐานขนาด 75 mm ค่าเบี่ยงเบนมาตรฐานเท่ากับ 0.01382 สำหรับชุดอินเตอร์ฟีรอมิเตอร์ ค่าเฉลี่ยของการวัดฟริ่งจ์ 8 ครั้ง เพราะฉะนั้นค่าความไม่แน่นอนมาตรฐานของการวัดฟริ่งจ์ที่ประเมินไว้เท่ากับ

$$\begin{aligned} U(\epsilon) &= \frac{\sigma_{n-1}}{\sqrt{n}} \left( \frac{\lambda}{2} \right) \\ &= \frac{0.01382}{\sqrt{8}} \left( \frac{0.632990844 \mu\text{m}}{2} \right) \\ &= 1.55 \text{ nm} \end{aligned} \quad (4.17)$$

#### 4.2.3 ค่าดัชนีหักเหอากาศ (Refractive Index of air)

วัดแท่งเทียบมาตรฐานในห้องปฏิบัติการภายใต้เงื่อนไขสภาวะห้องมีความยาวหนึ่งเมตร กำหนดให้เทอมของระยะทางที่แสงเดินทางในสุญญากาศ ค่าดัชนีหักเหของอากาศ  $n$  เปลี่ยนแปลงค่าความยาวคลื่น ตามที่  $\lambda_v = n \lambda_{\text{air}}$  ในห้องปฏิบัติการต่างๆ ค่าดัชนีหักเหถูกหาได้จากการวัด คุณสมบัติที่มีผลกระทบจากความหนาแน่นอากาศ และต่อมาคำนวณค่าดัชนีโดยใช้การคิดแปลงสมการ Edlen

การคิดแปลงสมการ Edlen ที่ใช้ในการวัดแท่งเทียบมาตรฐานด้วยชุดอินเตอร์ฟีรอมิเตอร์ ที่  $p$  แทนความดันอากาศ,  $t$  แทนอุณหภูมิอากาศ,  $R\%$  แทนความชื้นสัมพัทธ์ และ  $\gamma = 1/\lambda$

จำนวนคลื่นในสุญญากาศ การหาค่าความไม่แน่นอนจากประสบการณ์ของจำนวนสัมประสิทธิ์ ในการดัดแปลงสมการ Edlen เท่ากับ  $1 \times 10^{-8}$  ที่ระดับความเชื่อมั่น 68%

#### 4.2.3.1 ค่าความไม่แน่นอนมาตรฐานรวมและสัมประสิทธิ์ความไว

(Combined Standard Uncertainty and Sensitivity Coefficients)

ค่าความไม่แน่นอนมาตรฐานรวม  $U_c(l_n)$  ในค่าแก้ความยาว  $l_n = (n-1)L$  พิจารณา  $(n-1)$  ตามสมการที่ 4.8 ดังนั้น

$$(n-1) \times 10^8 = \left[ \begin{aligned} &8342.54 + \frac{2406147}{130 - (\gamma/\mu\text{m}^{-1})^2} + \frac{15998}{38.9 - (\gamma/\mu\text{m}^{-1})^2} \\ &\times \left[ \frac{p/\text{Pa}}{96095.43} \right] \left[ \frac{1 + 10^{-8} (0.601 - 0.00972t/^\circ\text{C})(p/\text{Pa})}{1 + 0.0036610(t/^\circ\text{C})} \right] \\ &- R [8.753 + 0.036588(t/^\circ\text{C})] [0.037345 - 0.000401(\gamma/\mu\text{m}^{-1})^2] \end{aligned} \right] \quad (4.18)$$

สัมประสิทธิ์ความไวถูกประเมินจากครั้งแรกทำอนุพันธ์ย่อยของสมการที่ 4.19, 4.20, 4.21 และ 4.22 โดยใช้สมการที่ 4.18 แทนค่าสถานะต่างๆ ในห้องปฏิบัติการ  $t = 20^\circ\text{C}$ ,  $\lambda = 0.633 \mu\text{m}$ ,  $p = 101325 \text{ Pa}$  และความชื้นสัมพัทธ์ 44% ดังสมการต่อไปนี้

$$\left. \frac{\partial l_n}{\partial t} \right|_{t,\lambda,p,R} = -9.5 \times 10^{-7} \text{ L/C} \quad (4.19)$$

$$\left. \frac{\partial l_n}{\partial p} \right|_{t,\lambda,p,R} = 2.7 \times 10^{-9} \text{ L/Pa} \quad (4.20)$$

$$\left. \frac{\partial l_n}{\partial R} \right|_{t,\lambda,p,R} = -8.5 \times 10^{-9} \text{ L} \quad (4.21)$$

$$\left. \frac{\partial l_n}{\partial \lambda} \right|_{t,\lambda,p,R} = -1.2 \times 10^{-9} \text{ L}/\mu\text{m} \quad (4.22)$$

#### 4.2.3.2 ดัชนีหักเหของอากาศที่มีอิทธิพลต่อการวัดแท่งเทียบมาตรฐาน

##### (Measured Parameters Influencing the Reference Index of Air)

ค่าความไม่แน่นอนรวมมีผลมาจากอุณหภูมิ ความดันบรรยากาศและความชื้นสัมพัทธ์ ค่าความไม่แน่นอนของตัวตรวจจับได้มาจากการสอบเทียบและความสามารถในการอ่านของตัวตรวจจับในการสอบเทียบ ดังต่อไปนี้

อุณหภูมิอากาศ (Air Temperature) ค่าความไม่แน่นอนมาตรฐานที่ได้จากการสอบเทียบตัวตรวจจับอุณหภูมิมีค่า  $0.01^{\circ}\text{C}$  คูณด้วยสัมประสิทธิ์ความไวของสมการที่ 4.19 เป็นการแจกแจงแบบสี่เหลี่ยมผืนผ้า

$$\begin{aligned} U(t) &= \frac{0.01^{\circ}\text{C}}{\sqrt{3}} (9.5 \times 10^{-7}) \text{L} \\ &= -0.005 \text{ (L/mm) nm} \end{aligned} \quad (4.23)$$

ความดันบรรยากาศ (Air Pressure) ค่าความไม่แน่นอนมาตรฐานจากการสอบเทียบความดันบรรยากาศจากมานอมิเตอร์มีค่า 20 Pa การคูณด้วยค่าสัมประสิทธิ์ความไว  $2.7 \times 10^{-9} \text{ L/Pa}$  จากสมการที่ 4.20 เป็นการแจกแจงแบบสี่เหลี่ยมผืนผ้า ค่าความไม่แน่นอนขึ้นกับความยาวของแท่งเทียบมาตรฐานมีค่าเท่ากับ

$$\begin{aligned} u(p) &= \frac{20\text{Pa}}{\sqrt{3}} (2.7 \times 10^{-9} \text{ Pa}) \text{L} \\ &= 0.031 \text{ (L/mm) nm} \end{aligned} \quad (4.24)$$

ความชื้นสัมพัทธ์ มีความแม่นยำได้จากผู้ผลิตเซ็นเซอร์วัดความชื้น 3% ของช่วงการวัดที่ใช้ในการวัด เป็นการแจกแจงแบบสี่เหลี่ยมผืนผ้าโดยใช้สัมประสิทธิ์ความไว  $-8.5 \times 10^{-9} \text{ L}$  จากสมการที่ 4.21 การรวบรวมความไม่แน่นอนรวมของการวัดความยาว เป็นดังต่อไปนี้

$$\begin{aligned} u(R) &= \frac{0.03}{\sqrt{3}} (8.5 \times 10^{-9} \text{ L}) \\ &= -0.015 \text{ (L/mm) nm} \end{aligned} \quad (4.25)$$

#### 4.2.4 ความไม่แน่นอนของอุณหภูมิแท่งเทียบมาตรฐานขณะทำการวัด (Temperature Measurement of Gauge Block uncertainty)

ค่าความไม่แน่นอนของการวัดอุณหภูมิของแท่งเทียบมาตรฐาน การแจกแจงอุณหภูมิของตัวตรวจวัดอุณหภูมิ ชุดบริดจ์ตัวต้านทานและค่าความแปรผันแปรขณะการวัด ค่าผิดพลาดจากการสัมผัส และพิจารณาจากความร้อนภายในเครื่องเก็บล็อกอินเทอร์พีโรมิเตอร์

$$\begin{aligned}
 U(T) &= \frac{0.01^{\circ}\text{C}}{\sqrt{3}}(\alpha L) \\
 &= \left(\frac{0.01^{\circ}\text{C}}{\sqrt{3}}\right)(11.5 \times 10^{-6} \text{L}) \\
 &= 0.06 \text{ (L/mm) nm}
 \end{aligned}
 \tag{4.26}$$

#### 4.2.5 ความไม่แน่นอนของสัมประสิทธิ์การขยายตัวของแท่งเทียบมาตรฐาน (Thermal Expansion Coefficient of Gauge Block)

ค่าความไม่แน่นอนของสัมประสิทธิ์การขยายตัวของแท่งเทียบมาตรฐานให้น้ำ 10% จากค่าที่ผู้ผลิตกำหนด แจกแจงแบบสี่เหลี่ยมผืนผ้า จากค่าอุณหภูมิแท่งเทียบมาตรฐานที่คำนวณได้ เช่นอุณหภูมิที่วัดได้  $20.1^{\circ}\text{C}$  แล้วแทนลงในสมการที่ 4.27 ค่า ส.ป.ส. การขยายตัวเนื่องจากอุณหภูมิของแท่งเทียบมาตรฐานชนิดเหล็ก  $11.5 \times 10^{-6}/^{\circ}\text{C}$

$$\begin{aligned}
 U(T) &= \frac{0.1\alpha}{\sqrt{3}}(T - 20)L \\
 &= \frac{(0.1 \times 11.5 \times 10^{-6}/^{\circ}\text{C})}{\sqrt{3}}(0.1^{\circ}\text{C})L \\
 &= 0.07 \text{ (L/mm) nm}
 \end{aligned}
 \tag{4.27}$$

#### 4.2.6 ความไม่แน่นอนของการแก้พินโฮล (Correction of Pinhole)

คำนวณจากค่าที่ข้อมรับได้อย่างถึงเรเดียส(Radius)ของพินโฮล เป็นค่าที่ได้จากบริษัทผู้ผลิต เมื่อ  $r$  เป็นระยะเส้นผ่านศูนย์กลางพินโฮล  $50 \mu\text{m}$ ,  $F$  เป็นระยะโฟกัสของเลนส์ ประมาณ  $500 \mu\text{m}$

$$\begin{aligned}
 u(r) &= 0.00073 \frac{r}{2F^2} L & (4.28) \\
 &= 0.07 \text{ (L/mm) nm}
 \end{aligned}$$

#### 4.2.7 ค่าความไม่แน่นอนเนื่องจากแนวลำแสง (Optical Alignment of Beam Uncertainty)

ค่าความไม่แน่นอนเนื่องจากแนวลำแสงเป็นค่าที่ได้จากบริษัทผู้ผลิต เมื่อ  $s$  เป็นระยะผิดพลาดของแนวลำแสงมีค่าไม่มากกว่า 1 mm,  $F$  เป็นระยะโฟกัสของเลนส์ประมาณ 500  $\mu\text{m}$

$$\begin{aligned}
 u(s) &= (0.015\text{mm}) \left( \frac{s}{F^2} L \right) & (4.29) \\
 &= 0.06 \text{ (L/mm) nm}
 \end{aligned}$$

#### 4.2.8 ค่าแก้การเปลี่ยนเฟส (Correction of Phase Change)

ค่าความไม่แน่นอนเนื่องจากค่าแก้การเปลี่ยนเฟสมีค่าเท่ากับ 4.5 nm มีค่าสัมประสิทธิ์ความไวเท่ากับ 1

$$U(\text{dP}) = 4.5 \text{ nm} \quad (4.30)$$

#### 4.4.9 ค่าแก้การประกบแท่งเทียบมาตรฐาน (Wringing)

ผลการวัดที่เปลี่ยนไปเนื่องจากฟิล์มจากการประกบจะถูกประเมินโดยการวัดซ้ำด้วย  $L = 5 \text{ mm}$  แท่งเทียบมาตรฐานทั้งการวัดจากการประกบครั้งเดียว (Single Wrिंग) และการวัดจากการประกบหลายครั้ง (Re-wringing) ค่าเบี่ยงเบนมาตรฐานที่ได้  $1\sigma$  จากการประกบได้  $U(w) = 9 \text{ nm}$  ซึ่งค่าความไม่แน่นอนจากผิวหน้าการวัดของแท่งเทียบมาตรฐานมีค่าสัมประสิทธิ์ความไวเท่ากับ 1

ตารางที่ 4.15 ค่าความไม่แน่นอน

Standard uncertainty components	Source of uncertainty	Value of standard uncertainty $u(x_i)$	$C_i = \left  \frac{\partial f}{\partial x_i} \right $	$u_i(L) = C_i \times u(x_i)$ nm
$u(\lambda)$	Wavelength of Laser Source	$1.2 \times 10^{-9} \lambda$	$\frac{L}{\lambda}$	0.0012L
$u(\epsilon)$	Measurement of interference fringe fraction	0.005mm	$\frac{\lambda}{2}$	1.55 nm
$u(t)$	Temperature Measurement of air	$0.006^{\circ}\text{C}$	$9.5 \times 10^{-7} L$	0.005L
$u(p)$	Atmospheric Pressure Measurement	11.5 Pa	$2.7 \times 10^{-9} L$	0.03L
$u(R)$	Water Vapor Pressure Measurement of air	0.017 Pa	$8.5 \times 10^{-9} L$	0.001L
$u(\alpha)$	Thermal Expansion Coefficient of Gauge Block	$0.66 \times 10^{-6} \text{C}^{-1}$	$(T-20)L$	0.06L
$u(T)$	Temperature Measurement of Gauge Block	$0.006^{\circ}\text{C}$	$\alpha L$	0.07L
$u(r)$	Correction of Pinhole	0.00073 mm	$\frac{r}{2F} L$	0.07L
$u(s)$	Optical Alignment of Beam	0.015 mm	$\frac{s}{F} L$	0.06L
$u(dP)$	Correction of Phase Change	4.5 nm	1	4.3
$u(w)$	Wringing	9 nm	1	9
Combined standard uncertainty		$u_c = \sqrt{14.85 \text{ nm}^2 + 6.12 \times 10^{-14} L^2}$		
Expanded uncertainty		$U = 2u_c = 2\sqrt{14.85 \text{ nm}^2 + 6.12 \times 10^{-14} L^2}$		

## บทที่ 5

# สรุปผลการทดลองและข้อเสนอแนะ

### 5.1 สรุปผลการทดลอง

จากการศึกษาการถ่ายทอดค่าความถูกต้องให้กับแท่งเทียบมาตรฐานระดับ K โดยใช้เทคนิคการแทรกสอดทางแสงของไมเคิลสันด้วยเครื่องเกจบล็อกอินเตอร์เฟอริมิเตอร์ที่ความยาวคลื่นแสงเลเซอร์ฮีเลียม-นีออนเท่ากับ 632.990844 nm ผลการถ่ายทอดค่าความถูกต้องให้กับแท่งเทียบมาตรฐานขนาด 5, 15, 25, 50 และ 75 mm ที่ค่าสัมประสิทธิ์การขยายตัวของแท่งเทียบมาตรฐานชนิดเหล็ก  $1.08 \times 10^{-5}/^{\circ}\text{C}$  สถาบันมาตรวิทยาแห่งชาติของประเทศเยอรมัน (PTB) จะได้ค่าผิดพลาดคลาดเคลื่อนที่จุดกึ่งกลาง เท่ากับ -0.020, -0.016, -0.013, +0.069 และ -0.048  $\mu\text{m}$  ตามลำดับ และผลการถ่ายทอดค่าความถูกต้องให้กับแท่งเทียบมาตรฐานขนาด 5, 15, 25, 50 และ 75 mm ที่ค่าสัมประสิทธิ์การขยายตัวของแท่งเทียบมาตรฐานชนิดเหล็ก  $1.15 \times 10^{-5}/^{\circ}\text{C}$  ตามมาตรฐาน ISO 3650 : 1998 จะได้ค่าผิดพลาดคลาดเคลื่อนที่จุดกึ่งกลาง เท่ากับ -0.024, -0.027, +0.002, +0.072 และ -0.033  $\mu\text{m}$  ตามลำดับ มีค่าความไม่แน่นอน  $\pm 0.014 \mu\text{m}$  ที่ระดับความเชื่อมั่น 68% หรือที่  $k = 1$  และมีค่าความไม่แน่นอน  $\pm 0.028 \mu\text{m}$  ที่ระดับความเชื่อมั่น 95% หรือ ที่  $k = 2$  จะเห็นได้ว่าค่าความไม่แน่นอนเป็นไปตามคุณลักษณะของเครื่องเกจบล็อกอินเตอร์เฟอริมิเตอร์ ที่ระบุไว้ว่าขนาดแท่งเทียบมาตรฐาน ( $L$ ) ใดๆ จะมีค่าเท่ากับ  $U = 2u_c = 2\sqrt{14.85nm^2 + 6.12 \times 10^{-14}L^2}$  nm ที่ระดับความเชื่อมั่น 95%

เมื่อนำค่าความไม่แน่นอนของการถ่ายทอดค่าความถูกต้องที่ได้จากการปฏิบัติทดลองข้างต้นมาเปรียบเทียบกับค่าความไม่แน่นอนของการถ่ายทอดค่าความถูกต้องที่ได้จากห้องปฏิบัติการทางด้านความยาวมาตรฐานสถาบัน PTB จะเห็นได้ว่าสอดคล้องกับค่าความไม่แน่นอนที่ระบุไว้ว่าขนาดแท่งเทียบมาตรฐาน ( $L$ ) ใดๆ จะมีค่าเท่ากับ  $U = \sqrt{(20 \text{ nm})^2 + (0.18 \times 10^{-6} \times L)^2}$  nm ที่ระดับความเชื่อมั่น 95 %

ตารางที่ 5.1 Error Normalization Ratio(EN)

ค่าความยาวแท่ง เทียบมาตรฐานที่ระบุ mm	PTB $\mu\text{m}$	NIMT $\mu\text{m}$	EN
5	-0.025	-0.020	0.14
15	-0.020	-0.016	0.11
25	-0.006	-0.013	0.20
50	+0.050	0.069	0.53
75	-0.093	-0.048	1.65

ตารางที่ 5.2 เปรียบเทียบค่าความไม่แน่นอนขยาย ( $k=2$ ) ของแท่งเทียบมาตรฐานขนาด 15 mm ระหว่างนานาประเทศ

National Institute of Metrology	Country	Uncertainty of measurement, nm
KRISS	Korea	22
NIM	China	22
NIST	USA	24
NMi	Netherlands	24
NPL	England	29
NRC	Canada	24
NRLM	Japan	24
OFMET	Switzerland	18
PTB	Germany	14
NIMT	Thailand	28

ชื่อย่อสถาบันมาตรวิทยาแห่งชาติแต่ละประเทศ

KRISS	Korea Research Institute of Standards and Science
NIM	National Institute of Metrology
NIST	National Institute of Standards and Technology

NMi	National Metrology Institute
NPL	National Physical Laboratory
NRC	National research Council
NRLM	National research Laboratory of Metrology
OFMET	Swiss Federal Office of Metrology
PTB	Physikalisch-Technische Bundesanstalt
NIMT	National Institute of Metrology(Thailand)

## 5.2 ข้อเสนอแนะ

จากผลการถ่ายทอดค่าความถูกต้องแห่งเทียบมาตรฐานพอสรุปได้ว่าปัจจัยที่ทำให้เกิดผลกระทบบนโดยตรงต่อค่าความคลาดเคลื่อนและค่าความไม่แน่นอนที่ค่อนข้างมากมีดังนี้

1. ในลำดับขั้นตอนการจัดเตรียมแห่งเทียบมาตรฐานและประกบแห่งเทียบมาตรฐานกับเบสเพลต ผู้ปฏิบัติควรมีการศึกษาทักษะให้มีความชำนาญสูง เพื่อลดความผิดพลาดในส่วนของการจัดเตรียมเบื้องต้น ซึ่งเป็นสาเหตุที่ทำให้ค่าความคลาดเคลื่อนผิดได้

2. ในการถ่ายทอดค่าความถูกต้องแห่งเทียบมาตรฐานโดยใช้เครื่องเกจบล็อกอินเตอร์พีโรมิเตอร์ ควรมีการควบคุมอุณหภูมิ ความชื้นสัมพัทธ์ และความดันบรรยากาศรวมทั้งปริมาณคาร์บอนไดออกไซด์ในขณะที่ทำการวัดให้อยู่ในสภาวะที่เหมาะสม โดยแยกส่วนชุดควบคุมกับตัวเครื่องเกจบล็อกอินเตอร์พีโรมิเตอร์ และในส่วนของแหล่งกำเนิดแสงเลเซอร์ฮีเลียม-นีออน ออกจกกันโดยมีแผ่นกระจกกันหรือห้องควบคุม เพื่อลดค่าผิดพลาดเนื่องจากอุณหภูมิลงได้ เนื่องจากอุณหภูมิเป็นส่วนให้มีผลกระทบต่อสัมประสิทธิ์การขยายตัวของวัสดุอย่างเห็นชัดเจน

3. การจัดแนวฟริงจ์ที่ปรากฏบนเบสเพลตและแห่งเทียบมาตรฐานก็มีส่วนทำให้เกิดค่าความผิดพลาดได้สูง ถ้าแนวฟริงจ์ของทั้งสองระนาบไม่อยู่ในแนวขนานกันจะทำให้เกิดความผิดพลาดในส่วนของความแตกต่างเฟส

4. ควรตรวจสอบค่าชดเชยต่างๆ ก่อนมีการวัดค่า เนื่องจากค่าชดเชยต่างๆ ที่ใส่เป็นค่าที่นำไปคำนวณโดยอัตโนมัติ โดยเฉพาะค่าชดเชยของเบสเพลตต่างชนิดกัน เช่นเบสเพลตที่เป็นแก้วเมื่อประกบกับแห่งเทียบมาตรฐานที่เป็นเหล็กจำเป็นต้องมีค่าชดเชยความต่างเฟสเบสเพลต

5. ในการกำหนดค่าสัมประสิทธิ์การขยายตัวของวัสดุหรือแห่งเทียบมาตรฐานที่จะนำมาสอบเทียบควรทราบค่าสัมประสิทธิ์การขยายตัว เนื่องจากค่าสัมประสิทธิ์การขยายตัวของวัสดุหรือแห่งเทียบแต่ละแหล่งผลิตมีค่าสัมประสิทธิ์การขยายตัวต่างๆ กัน ดังนั้นควรทราบค่าสัมประสิทธิ์การขยายตัวของแห่งเทียบมาตรฐานก่อน

## เอกสารอ้างอิง

- [1] Hariharan P. **Basics of Interferometry Academic.** Press, Inc., New York. 1991.
- [2] Ted Busch. **Fundamentals of Dimensional Metrology.** 3rd edition 1966.
- [3] W.H.Steel **Interferometry.** 2nd Ed., Cambridge University Press. New York. 1983.
- [4] ISO 3650-1998(E) **Gauge Blocks.** ISO Standard Handbook. 1998.
- [5] J.F.W. Galyer and C.R.Shotbolt **Metrology for Engineers.** 4th ed., 3rd impression August 1983.
- [6] Edlen B. **The refractive index of air.** Metrologia 1966, pp.71-80.
- [7] Jennifer E. Decker and James R. Pekelsky **Uncertainty Evaluation for the Measurement of Gauge Blocks by Optical Interferometry.** Metrologia, Vol. 34, 1997. pp.479-493.
- [8] Mitutoyo **Automatic Gauge Block Interferometer Measuring Systems.** Manual No.4763
- [9] JICA **Length Standards and their calibration.** Group Training Course in Metrology and Measurement Standards., NRLM, Japan.
- [10] Tatsuya N., Shunji S., Taizo N. Junichi I. And Masaji S. **Development of New Automatic Gauge Block Interferometer up to 250 mm.** SPIE, Vol. 3477, July 1998. pp.76-81.
- [11] Yu-ping Lan, Wei-ceng Chang **Uncertainty in the measurement of gauge block by Inteferometer.** SPIE, Vol. 3477, July 1998. pp.252-259.
- [12] ISO/TAG 4 **Guide to the Expression of Uncertainty in Measurement.** 1<sup>st</sup> Edition, International Organization for Standardization, Switzerland, 1993.

## ภาคผนวก ก.

### การแบ่งเกรดและช่วงการยอมรับของแท่งเทียบมาตรฐานตามมาตรฐาน ISO 3650 : 1998

Limit deviation,  $t_e$ , of the length at any point of the measuring face from nominal length and tolerance,  $t_v$  for the variation in length

Nominal length mm	Calibration grade K		Grade 0		Grade 1		Grade 2	
	Limit deviation of length at any point from nominal length	Tolerance for the variation in length	Limit deviation of length at any point from nominal length	Tolerance for the variation in length	Limit deviation of length at any point from nominal length	Tolerance for the variation in length	Limit deviation of length at any point from nominal length	Tolerance for the variation in length
	$\pm t_e$ $\mu\text{m}$	$t_v$ $\mu\text{m}$	$\pm t_e$ $\mu\text{m}$	$t_v$ $\mu\text{m}$	$\pm t_e$ $\mu\text{m}$	$t_v$ $\mu\text{m}$	$\pm t_e$ $\mu\text{m}$	$t_v$ $\mu\text{m}$
$0,5 \geq l_n \leq 10$	0,2	0,05	0,12	0,1	0,2	0,16	0,45	0,3
$10 < l_n \leq 25$	0,3	0,05	0,14	0,1	0,3	0,16	0,6	0,3
$25 < l_n \leq 50$	0,4	0,06	0,2	0,1	0,4	0,18	0,8	0,3
$50 < l_n \leq 75$	0,5	0,06	0,25	0,12	0,5	0,18	1	0,35
$75 < l_n \leq 100$	0,6	0,07	0,3	0,12	0,6	0,2	1,2	0,35
$100 < l_n \leq 150$	0,8	0,08	0,4	0,14	0,8	0,2	1,6	0,4
$150 < l_n \leq 200$	1	0,09	0,5	0,16	1	0,25	2	0,4
$200 < l_n \leq 250$	1,2	0,1	0,6	0,16	1,2	0,25	2,4	0,45
$250 < l_n \leq 300$	1,4	0,1	0,7	0,18	1,4	0,25	2,8	0,5
$300 < l_n \leq 400$	1,8	0,12	0,9	0,2	1,8	0,3	3,6	0,5
$400 < l_n \leq 500$	2,2	0,14	1,1	0,25	2,2	0,35	4,4	0,6
$500 < l_n \leq 600$	2,6	0,16	1,3	0,25	2,6	0,4	5,0	0,7
$600 < l_n \leq 700$	3	0,18	1,5	0,3	3	0,45	6,0	0,7
$700 < l_n \leq 800$	3,4	0,2	1,7	0,3	3,4	0,5	6,5	0,8
$800 < l_n \leq 900$	3,8	0,2	1,9	0,35	3,8	0,5	7,5	0,9
$900 < l_n \leq 1000$	4,2	0,25	2,0	0,4	4,2	0,6	8	1

## ภาคผนวก ข.

**ตาราง ข.1** ผลการถ่ายทอดค่าความถูกต้องแห่งเทียบมาตรฐานจำนวน 112 ชิ้นของสถาบันมาตร  
วิทยาแห่งชาติ(ประเทศไทย)เทียบกับสถาบันมาตรวิทยาแห่งชาติ(ประเทศเยอรมัน)

Unit =  $\mu\text{m}$

Nominal Size Mm	Identity Number	Deviation from nominal of PTB	Deviation from nominal of NIMT
0.5000	930937	-0.032	-0.076
1.0000	930033	-0.017	-0.031
1.0005	930169	0.000	-0.094
1.0010	930278	-0.020	-0.017
1.0020	930283	-0.037	-0.014
1.0030	930814	-0.002	-0.009
1.0040	930709	-0.023	-0.025
1.0050	930135	-0.015	-0.048
1.0060	920817	+0.002	+0.011
1.0070	930783	-0.057	-0.044
1.0080	930852	-0.031	-0.073
1.0090	930171	-0.028	-0.027
1.0100	930357	+0.010	+0.017
1.0200	930541	-0.039	-0.023
1.0300	930829	-0.008	-0.012
1.0400	930814	-0.006	+0.003
1.0500	930420	-0.013	+0.005
1.0600	930346	-0.043	-0.027
1.0700	930068	0.000	-0.027
1.0800	930726	-0.007	+0.011
1.0900	930784	-0.029	-0.016
1.1000	940140	-0.010	-0.003
1.1100	930137	-0.006	+0.006
1.1200	930392	-0.004	-0.005

Table of Calibration (continued)

Unit =  $\mu\text{m}$ 

Nominal Size Mm	Identity Number	Deviation from nominal of PTB	Deviation from nominal of NIMT
1.1300	930564	+0.017	+0.014
1.1400	930502	-0.025	-0.009
1.1500	930286	-0.019	-0.012
1.1600	930711	-0.045	-0.040
1.1700	930264	-0.055	-0.035
1.1800	930092	-0.016	+0.004
1.1900	930636	-0.028	-0.018
1.2000	930192	-0.010	-0.001
1.2100	930269	-0.010	-0.004
1.2200	930278	-0.012	0.000
1.2300	930191	-0.013	+0.010
1.2400	930530	-0.021	-0.010
1.2500	930083	-0.048	-0.041
1.2600	930786	-0.005	+0.004
1.2700	930411	-0.036	-0.032
1.2800	930157	-0.013	-0.004
1.2900	930039	-0.011	-0.001
1.3000	940532	-0.029	-0.022
1.3100	930540	-0.005	-0.003
1.3200	930200	-0.004	+0.010
1.3300	930279	-0.036	-0.015
1.3400	930190	+0.002	+0.020
1.3500	930227	-0.011	-0.063
1.3600	930348	-0.028	-0.016
1.3700	930530	+0.023	+0.028
1.3800	930154	-0.032	-0.011
1.3900	930192	-0.001	+0.015

Table of Calibration (continued)

Unit =  $\mu\text{m}$ 

Nominal Size Mm	Identity Number	Deviation from nominal of PTB	Deviation from nominal of NIMT
1.4000	930227	-0.012	+0.002
1.4100	940592	-0.025	-0.009
1.4200	930700	-0.011	+0.006
1.4300	930870	-0.017	-0.035
1.4400	930407	-0.042	-0.023
1.4500	930951	-0.023	-0.016
1.4600	930880	-0.002	-0.002
1.4700	930651	-0.007	+0.001
1.4800	930741	-0.016	-0.013
1.4900	930566	-0.055	-0.051
1.5000	920111	-0.023	-0.052
2.0000	940178	-0.033	-0.051
2.5000	930379	+0.020	+0.018
3.0000	930688	-0.022	-0.014
3.5000	930201	-0.005	-0.009
4.0000	940120	+0.027	+0.037
4.5000	930060	-0.022	+0.008
5.0000	930012	-0.025	-0.020
5.5000	920792	-0.111	-0.109
6.0000	933167	+0.023	+0.025
6.5000	930364	+0.021	+0.011
7.0000	931932	+0.004	+0.022
7.5000	930132	+0.012	+0.029
8.0000	931535	+0.002	+0.011
8.5000	930469	+0.010	+0.025
9.0000	922647	+0.003	+0.029
9.5000	930395	+0.018	+0.021

Table of Calibration (continued)

Unit =  $\mu\text{m}$ 

Nominal Size Mm	Identity Number	Deviation from nominal of PTB	Deviation from nominal of NIMT
10.0000	995918	+0.050	+0.064
10.5000	930593	0.000	+0.001
11.0000	931438	+0.032	+0.042
11.5000	930662	-0.004	+0.009
12.0000	931476	-0.010	-0.001
12.5000	930416	+0.012	+0.014
13.0000	931100	+0.008	+0.019
13.5000	930338	-0.008	+0.013
14.0000	931525	0.000	+0.014
14.5000	930527	+0.016	+0.030
15.0000	932752	-0.020	-0.023
15.5000	930302	+0.018	+0.024
16.0000	931092	-0.012	+0.003
16.5000	930414	-0.023	-0.021
17.0000	931194	-0.034	-0.040
17.5000	930137	+0.005	+0.022
18.0000	931653	-0.008	+0.010
18.5000	940162	+0.005	+0.030
19.0000	930800	-0.047	-0.025
19.5000	931119	-0.050	-0.028
20.0000	993027	+0.056	+0.088
20.5000	920078	-0.001	+0.009
21.0000	940144	-0.090	-0.049
21.5000	930686	-0.032	-0.013
22.0000	820612	-0.027	+0.002
22.5000	810472	-0.015	+0.023
23.0000	820896	-0.057	-0.012

Table of Calibration (continued)

Unit =  $\mu\text{m}$ 

Nominal Size Mm	Identity Number	Deviation from nominal of PTB	Deviation from nominal of NIMT
23.5000	810857	+0.017	+0.046
24.0000	931123	-0.075	-0.060
24.5000	912353	+0.033	+0.051
25.0000	934613	-0.006	0.000
50.0000	991586	-0.024	+0.066
75.0000	931579	-0.093	-0.017
100.0000	993342	+0.068	+0.114

# Physikalisch-Technische Bundesanstalt

Braunschweig und Berlin



## Kalibrierschein

Calibration certificate

Gegenstand: 108 Parallelendmaße aus Stahl  
Object: vom Nennmaß 0,5 mm bis einschließlich 75 mm

Hersteller: Firmenzeichen „Mitutoyo“  
Manufacturer:

Typ: Parallelendmaße nach DIN 861  
Type:

Kennummer: siehe Identifizierungsnummern  
Serial number:

Auftraggeber: Ministry of Science, Technology and Environment  
Applicant: National Institute of Metrology  
75/7 Rama VI Road, Rajthevi  
Bangkok 10400, Thailand

Anzahl der Seiten: 7  
Number of pages:

Geschäftszeichen: 5.13-17455/98  
Reference No.:

Kalibrierzeichen: 0320 PTB 98  
Calibration mark:

Datum der Kalibrierung: 02.11.98 - 16.11.98  
Date of calibration:

Im Auftrag Braunschweig, 03.12.1998  
By order

P. Franke



Bearbeiter:  
Examiner:

# Physikalisch-Technische Bundesanstalt

**PTB**

Seite 2 zum Kalibrierschein vom 03.12.1998, Kalibrierzeichen: 0320 PTB 98

Page 2 of calibration certificate of 03.12.1998, calibration mark: 0320 PTB 98

## Meßprinzip

Die Maße wurden mit dem Meßprinzip der Lichtinterferenz unter Verwendung einer  $^{114}\text{Cd}$ -Wellenlängennormal-Lampe bzw. frequenzstabilisierter Laser (633 nm, 544 nm, 780 nm) an die Längeneinheit angeschlossen.

Die Längenangaben beruhen auf der von der 17. Generalkonferenz für Maß und Gewicht im Jahre 1983 beschlossenen Definition der Längeneinheit Meter.

## Meßbedingungen

Die Messungen erfolgten in Übereinstimmung mit DIN 861, Januar 1980, Pos. 6.2.

Die Meßflächen genügten hinsichtlich der Anschließbarkeit den Anforderungen von DIN 861, Pos. 6.2.3.

Die Parallelendmaße waren nacheinander mit beiden Meßflächen angeschoben.

## Meßunsicherheit

Die Meßunsicherheit der Abweichung des Mittenmaßes vom Nennmaß beträgt  $U = 0,015 \mu\text{m} + 0,13 \cdot 10^{-6} \cdot l$ ,  $l$  ist die Länge des Maßes.

Angegeben ist die erweiterte Meßunsicherheit, die sich aus der Standardmeßunsicherheit durch Multiplikation mit dem Erweiterungsfaktor  $k = 2$  ergibt. Sie wurde gemäß dem „Guide to the Expression of Uncertainty in Measurement“ (ISO, 1995) ermittelt.

## Meßergebnis

Die Längenangaben gelten für die Bezugstemperatur 20 °C (ITS-90) und für die meßtechnische Beschaffenheit der Endmaße, die während der Kalibrierung vorlag.

Zur Reduktion der Meßwerte auf 20 °C wurde als linearer thermischer Längenausdehnungskoeffizient der  $\alpha$ -Wert in der Tabelle verwendet.

## Bemerkungen

Jedes Maß trägt eine eindeutige Identifizierungsnummer.

# Physikalisch-Technische Bundesanstalt



Seite 3 zum Kalibrierschein vom 03.12.1998, Kalibrierzeichen: 0320 PTB 98

Page 3 of calibration certificate of 03.12.1998, calibration mark: 0320 PTB 98

## Tabelle der Kalibrierwerte

Nennmaß mm	Ident-Nr.	Abweichung des Mittenmaßes vom Nennmaß µm	Verwendeter α-Wert 10 <sup>-6</sup> K <sup>-1</sup>	Endmaßtemperatur °C
0,5000	930937	-0,032	10,8	19,951 - 19,952
1,0000	930033	-0,017	10,8	19,952 - 19,971
1,0005	930169	+0,000	10,8	19,976 - 19,984
1,0010	930278	-0,020	10,8	19,952 - 19,972
1,0020	930283	-0,037	10,8	19,948 - 19,989
1,0030	930814	-0,002	10,8	19,949 - 19,974
1,0040	930709	-0,023	10,8	19,951 - 19,985
1,0050	930135	-0,015	10,8	19,950 - 19,973
1,0060	920817	+0,002	10,8	19,951 - 19,953
1,0070	930783	-0,057	10,8	19,953 - 19,983
1,0080	930852	-0,031	10,8	19,952 - 19,954
1,0090	930171	-0,028	10,8	19,951 - 19,984
1,0100	930357	+0,010	10,8	19,956 - 19,998
1,0200	930541	-0,039	10,8	19,960 - 19,993
1,0300	930829	-0,008	10,8	19,960 - 19,993
1,0400	930814	-0,006	10,8	19,953 - 19,984
1,0500	930420	-0,013	10,8	19,957 - 19,984
1,0600	930346	-0,043	10,8	19,958 - 19,984
1,0700	930068	+0,000	10,8	19,954 - 19,987
1,0800	930726	-0,007	10,8	19,961 - 19,985
1,0900	930784	-0,029	10,8	19,955 - 19,985
1,1000	940140	-0,010	10,8	19,953 - 19,980
1,1100	930137	-0,006	10,8	19,955 - 19,981
1,1200	930392	-0,004	10,8	19,956 - 19,981
1,1300	930564	+0,017	10,8	19,956 - 19,979
1,1400	930502	-0,025	10,8	19,948 - 19,959
1,1500	930286	-0,019	10,8	19,956 - 19,979
1,1600	930711	-0,045	10,8	19,953 - 19,977
1,1700	930264	-0,055	10,8	19,955 - 19,978

# Physikalisch-Technische Bundesanstalt



Seite 4 zum Kalibrierschein vom 03.12.1998, Kalibrierzeichen: 0320 PTB 98

Page 4 of calibration certificate of 03.12.1998, calibration mark: 0320 PTB 98

Nennmaß mm	Ident-Nr.	Abweichung des Mittenmaßes vom Nennmaß µm	Verwendeter α-Wert 10 <sup>-6</sup> K <sup>-1</sup>	Endmaßtemperatur °C
1,1800	930092	-0,016	10,8	19,956 - 19,978
1,1900	930636	-0,028	10,8	19,948 - 19,984
1,2000	930192	-0,010	10,8	19,947 - 19,989
1,2100	930269	-0,010	10,8	19,947 - 19,988
1,2200	930278	-0,012	10,8	19,947 - 19,988
1,2300	930191	-0,013	10,8	19,945 - 19,983
1,2400	930530	-0,021	10,8	19,947 - 19,984
1,2500	930083	-0,048	10,8	19,954 - 19,961
1,2600	930786	-0,005	10,8	19,953 - 19,966
1,2700	930411	-0,036	10,8	19,954 - 19,964
1,2800	930157	-0,013	10,8	19,953 - 19,965
1,2900	930039	-0,011	10,8	19,957 - 19,958
1,3000	940532	-0,029	10,8	19,954 - 19,959
1,3100	930540	-0,005	10,8	19,954 - 19,958
1,3200	930200	-0,004	10,8	19,954 - 19,957
1,3300	930279	-0,036	10,8	19,962 - 19,964
1,3400	930190	+0,002	10,8	19,964 - 19,965
1,3500	930227	-0,011	10,8	19,959 - 19,962
1,3600	930348	-0,028	10,8	19,960 - 19,962
1,3700	930530	+0,023	10,8	19,959 - 19,963
1,3800	930154	-0,032	10,8	19,958 - 19,963
1,3900	930192	-0,001	10,8	19,964 - 19,968
1,4000	930227	-0,012	10,8	19,965 - 19,969
1,4100	940592	-0,025	10,8	19,967 - 19,967
1,4200	930700	-0,011	10,8	19,960 - 19,965
1,4300	930870	-0,017	10,8	19,957 - 19,965
1,4400	930407	-0,042	10,8	19,955 - 19,966
1,4500	930951	-0,023	10,8	19,965 - 19,966
1,4600	930880	-0,002	10,8	19,960 - 19,960
1,4700	930651	-0,007	10,8	19,961 - 19,962

# Physikalisch-Technische Bundesanstalt



Seite 5 zum Kalibrierschein vom 03.12.1998, Kalibrierzeichen: 0320 PTB 98

Page 5 of calibration certificate of 03.12.1998, calibration mark: 0320 PTB 98

Nennmaß mm	Ident-Nr.	Abweichung des Mittenmaßes vom Nennmaß $\mu\text{m}$	Verwendeter $\alpha$ -Wert $10^{-6}\text{K}^{-1}$	Endmaßtemperatur $^{\circ}\text{C}$
1,4800	930741	-0,016	10,8	19,962 - 19,963
1,4900	930566	-0,055	10,8	19,957 - 19,961
1,5000	920111	-0,023	10,8	19,959 - 19,961
2,0000	940178	-0,033	10,8	19,958 - 19,962
2,5000	930379	+0,020	10,8	19,959 - 19,966
3,0000	930688	-0,022	10,8	19,965 - 19,968
3,5000	930201	-0,005	10,8	19,958 - 19,960
4,0000	940120	+0,027	10,8	19,961 - 19,962
4,5000	930060	-0,022	10,8	19,952 - 19,955
5,0000	930012	-0,025	10,8	19,957 - 19,965
5,5000	920792	-0,111	10,8	19,954 - 19,963
6,0000	933167	+0,023	10,8	19,960 - 19,965
6,5000	930364	+0,021	10,8	19,953 - 19,966
7,0000	931932	+0,004	10,8	19,954 - 19,986
7,5000	930132	+0,012	10,8	19,954 - 19,980
8,0000	931535	+0,002	10,8	19,956 - 19,979
8,5000	930469	+0,010	10,8	19,954 - 19,977
9,0000	922647	+0,003	10,8	19,947 - 19,989
9,5000	930395	+0,018	10,8	19,946 - 19,984
10,5000	930593	+0,000	10,8	19,956 - 19,958
11,0000	931438	+0,032	10,8	19,951 - 19,961
11,5000	930662	-0,004	10,8	19,961 - 19,962
12,0000	931476	-0,010	10,8	19,950 - 19,988
12,5000	930416	+0,012	10,8	19,976 - 19,984
13,0000	931100	+0,008	10,8	19,952 - 19,953
13,5000	930338	-0,008	10,8	19,955 - 19,984
14,0000	931525	+0,000	10,8	19,957 - 19,994
14,5000	930527	+0,016	10,8	19,951 - 19,952
15,0000	932752	-0,020	10,8	19,951 - 19,953
15,5000	930302	+0,018	10,8	19,952 - 19,965

# Physikalisch-Technische Bundesanstalt



Seite 6 zum Kalibrierschein vom 03.12.1998, Kalibrierzeichen: 0320 PTB 98

Page 6 of calibration certificate of 03.12.1998, calibration mark: 0320 PTB 98

Nennmaß mm	Ident-Nr.	Abweichung des Mittenmaßes vom Nennmaß $\mu\text{m}$	Verwendeter $\alpha$ -Wert $10^{-6}\text{K}^{-1}$	Endmaßtemperatur $^{\circ}\text{C}$
16,0000	931092	-0,012	10,8	19,950 - 19,963
16,5000	930414	-0,023	10,8	19,954 - 19,965
17,0000	931194	-0,034	10,8	19,955 - 19,985
17,5000	930137	+0,005	10,8	19,955 - 19,981
18,0000	931653	-0,008	10,8	19,956 - 19,979
18,5000	940162	+0,005	10,8	19,954 - 19,973
19,0000	930800	-0,047	10,8	19,948 - 19,989
19,5000	931119	-0,050	10,8	19,946 - 19,984
20,5000	920078	-0,001	10,8	19,959 - 19,961
21,0000	940144	-0,090	10,8	19,960 - 19,960
21,5000	930686	-0,032	10,8	19,959 - 19,960
22,0000	820612	-0,027	10,8	19,955 - 19,959
22,5000	810472	-0,015	10,8	19,955 - 19,958
23,0000	820896	-0,057	10,8	19,956 - 19,985
23,5000	810857	+0,017	10,8	19,949 - 19,975
24,0000	931123	-0,075	10,8	19,950 - 19,987
24,5000	912353	+0,033	10,8	19,952 - 19,952
25,0000	934613	-0,006	10,8	19,952 - 19,972
75,0000	931579	-0,093	10,8	19,953 - 19,994

# Physikalisch-Technische Bundesanstalt



Seite 7 zum Kalibrierschein vom 03.12.1998, Kalibrierzeichen: 0320 PTB 98

Page 7 of calibration certificate of 03.12.1998, calibration mark: 0320 PTB 98

**Die Physikalisch-Technische Bundesanstalt (PTB)** in Braunschweig und Berlin ist das natur- und ingenieurwissenschaftliche Staatsinstitut und die technische Oberbehörde der Bundesrepublik Deutschland für das Meßwesen und Teile der Sicherheitstechnik. Die PTB gehört zum Dienstbereich des Bundesministeriums für Wirtschaft. Sie erfüllt die Anforderungen an Kalibrier- und Prüflaboratorien sowie an Zertifizierungs- und Akkreditierungsstellen auf der Grundlage der Normen der Reihe DIN EN 45000 bzw. der relevanten ISO/IEC-Leitfäden.

Zentrale Aufgabe der PTB ist es, die gesetzlichen Einheiten in Übereinstimmung mit dem Internationalen Einheitensystem (SI) darzustellen, zu bewahren und - insbesondere im Rahmen des gesetzlichen und industriellen Meßwesens - weiterzugeben. Die PTB steht damit an oberster Stelle der metrologischen Hierarchie in Deutschland. Kalibrierscheine der PTB dokumentieren die Rückführung des Kalibriergegenstandes auf nationale Normale.

Zur Sicherstellung der weltweiten Einheitlichkeit der Maße arbeitet die PTB mit anderen nationalen metrologischen Instituten auf regionaler europäischer Ebene in EUROMET und auf internationaler Ebene im Rahmen der Meterkonvention zusammen. Das Ziel wird durch einen intensiven Austausch von Forschungsergebnissen und durch umfangreiche internationale Vergleichsmessungen erreicht.

**The Physikalisch-Technische Bundesanstalt (PTB)** in Braunschweig and Berlin is the national institute for science and technology and the highest technical authority of the Federal Republic of Germany for the field of metrology and certain sectors of safety engineering. The PTB comes under the auspices of the Federal Ministry of Economics. It meets the requirements for calibration and testing laboratories, certification and accreditation bodies as defined in the EN 45000 series of standards and the relevant ISO/IEC guides.

It is the fundamental task of the PTB to realize and maintain the legal units in compliance with the International System of Units (SI) and to disseminate them, above all within the framework of legal and industrial metrology. The PTB thus is on top of the metrological hierarchy in Germany. Calibration certificates issued by it document that the object calibrated is traceable to national standards.

To ensure worldwide coherence of measures, the PTB cooperates with other national metrology institutes within EUROMET on the regional European level and on the international level within the framework of the Metre Convention. The aim is achieved by an intensive exchange of results of research work carried out and by comprehensive international comparison measurements.

## ภาคผนวก ก.

### Students' T-distribution

**ตาราง ก** Value of  $t_p(v)$  from the t-distribution for degree of freedom  $v$  that defines an interval  $-t_p(v)$  to  $+t_p(v)$  that encompasses the fraction  $p$  of the distribution

Degree of Freedom( $V$ )	Fraction $p$ in percent					
	68.27 <sup>(a)</sup>	90	95	95.45 <sup>(a)</sup>	99	99.73 <sup>(a)</sup>
1	1.84	6.31	12.71	13.97	63.66	235.8
2	1.32	2.92	4.30	4.53	9.92	19.21
3	1.20	2.35	3.18	3.31	5.84	9.22
4	1.14	2.13	2.78	2.87	4.60	6.62
5	1.11	2.02	2.57	2.65	4.03	5.51
6	1.09	1.94	2.45	2.52	3.71	4.90
7	1.08	1.89	2.36	2.43	3.50	4.53
8	1.07	1.86	2.31	2.37	3.36	4.28
9	1.06	1.83	2.26	2.32	3.25	4.09
10	1.05	1.81	2.23	2.28	3.17	3.96
11	1.05	1.80	2.20	2.25	3.11	3.85
12	1.04	1.78	2.18	2.23	3.05	3.76
13	1.04	1.77	2.16	2.21	3.01	3.69
14	1.04	1.76	2.14	2.20	2.98	3.64
15	1.03	1.75	2.13	2.18	2.95	3.59
20	1.03	1.72	2.09	2.13	2.85	3.42
30	1.02	1.70	2.04	2.09	2.75	3.27
40	1.01	1.68	2.02	2.06	2.70	3.20
50	1.01	1.68	2.01	2.05	2.68	3.16
100	1.005	1.660	1.984	2.025	2.626	3.077
$\infty$	1.000	1.645	1.960	2.000	2.576	3.000

(a) For a quantity  $z$  described by a normal distribution with expectation  $\mu_t$  and standard deviation  $\sigma$ , the interval  $\mu_t \pm k\sigma$  encompasses  $p = 68.27, 95.45$  and  $99.73$  percent of the distribution for  $k = 1, 2$  and  $3$  respectively.

## ภาคผนวก ง.

ภาคผนวก ง.1 หน้าต่างกำหนดเงื่อนไขค่าชดเชยพารามิเตอร์ต่างๆ ก่อนการวัด

ตาราง ง หน้าต่างกำหนดเงื่อนไขค่าชดเชยพารามิเตอร์ต่างๆ ก่อนการวัด

Condition Setup Screen						
<b>Optical Wedge Operation</b>				<b>Compensation Value Setting</b>		
Manual speed (mm/s)	Measuring speed (mm/s)			Item	Setting value	
→0.300	→0.100			Measured points	32	
Resetting (mm/s)	Dwell period (s)			Meas. INTVL (μs)	40	
→0.200	→4.0			Instr. error comp. (nm)	3.0	
<b>Rotary Table Operation</b>						
Manual speed (deg./s)	Measuring speed (deg./s)			Pinhole comp. (nm)	0.0	
→5.0	→10.0			Opt. phase comp. (nm)	0.0	
Resetting (deg./s)	Dwell period (s)			Bar. error comp. (hPa)	-0.23	
→5.0	→2.0			Wavelength (nm)	632.990844	
				Bridge gradient (Rt/Rs/Y)	-0.00018552	
				Bridge offset (V)	0.000	
				Bridge ref. (Ω)	99.99400036	
<b>Setting of Resistance Thermometer Specific Values</b>						ATM RTS No. →1
Sensor No.	1	2	3	4	5	6
R <sub>0</sub>	100.012622	100.004624	99.999625	99.995201	100.001551	100.001625
A	3.914400E-3	3.914711E-3	3.914905E-3	3.912908E-3	3.916999E-3	3.914827E-3
B	-6.0670E-7	-6.0670E-7	-6.0670E-7	-6.0670E-7	-6.0670E-7	-6.0670E-7
C (°C)	0	0	0	0	0	0

**Quit**

↩

## ภาคผนวก ง.2 ข้อกำหนดเฉพาะของเครื่องวัด

### 1) Personal Computer

CPU	1205 Centris 650 No. SG334E7CCA2
Color display	M1212 No. SG329KJPE09
Keyboard	M0487 No.SI324A7B03N
GP-IB	NB-DIO-24 & NI-DAQ SW,FD3 P/N 180525-01
LabView2 Run-Time Software	(Version 2.2.1) P/N 422475-24

### 2) Electronic Controller Rack and Interferometer unit

Multimeter	2001 S/N : 0559483 Keithlay
Resistance bridge	F16
Linear gage counter	LG-S1 Mitutoyo Corp.
Digital temperature/humity tracer	TRH-5S Shinyei Corp.
Optical Power Meter	ML910B Anritsu Corp.
Rotary table driver	AK-BX52M Asahi Engineering Corp.
Optical wedge driver	HS-430G-05-100 Haromonic Drive System Corp.
Photosensor	MA9801A Anritsu Corp.
Humidity sensor	THP-54 Shinyei Corp.
Linear gage	LGB-110 Mitutoyo Corp.
Laser source	LIS-50 Mitutoyo Corp.
Digital barometer	2655-34 Yakogawa Corp.
Temperature sensor switch box	148.01
Switch box controller	158 Automatic System Laboratories Ltd.

### 3) Measurement uncertainty in calibration at 2 sigma

Sensor	Measurement Uncertainty
Temperature sensor	+/- 10 mK
Humidity sensor(Hygrometer probe)	+/- 3% RH
Barometer	0.2 hPa
Laser source	+/- $1 \times 10^{-9}$
Standard resitor	+/- 5 ppm
Reference Resitance bridge	+/- 5 ppm

## ประวัติผู้เขียน

นางสาวเยาวลักษณ์ ล้อมริน เกิดวันที่ 25 มีนาคม พ.ศ. 2513 ที่จังหวัดกรุงเทพมหานคร สำเร็จการศึกษาวิทยาศาสตร์บัณฑิต (สาขาฟิสิกส์) จากมหาวิทยาลัยนเรศวร จังหวัดพิษณุโลก ปีการศึกษา 2535

ปี พ.ศ. 2536 เข้ารับราชการในตำแหน่งนักวิทยาศาสตร์ 3 โครงการพัฒนาระบบมาตรวิทยา ทางวิทยาศาสตร์ กองฟิสิกส์และวิศวกรรม กรมวิทยาศาสตร์บริการ กระทรวงวิทยาศาสตร์ เทคโนโลยีและสิ่งแวดล้อม

ปี พ.ศ. 2541 ช่วยราชการ ตำแหน่งนักมาตรวิทยา 5 สถาบันมาตรวิทยาแห่งชาติ ภายใต้การกำกับดูแลกระทรวงวิทยาศาสตร์ เทคโนโลยีและสิ่งแวดล้อม

ปัจจุบัน ดำรงตำแหน่งนักวิทยาศาสตร์ 5 กลุ่มสอบเทียบเครื่องมือวัด วิเคราะห์ ทดสอบ กองฟิสิกส์และวิศวกรรม กรมวิทยาศาสตร์บริการ กระทรวงวิทยาศาสตร์ เทคโนโลยีและสิ่งแวดล้อม